

จุฬาอายุรศาสตร์

CHULA JOURNAL OF
INTERNAL
MEDICINE
VOL. 28 NO.2 APR.-JUNE 2015

ISSN 0857-5630

ปีที่ 28 ฉบับที่ 2 เมษายน-มิถุนายน 2558

- ลักษณะทางคลินิกของการหลอดเลือดดำอุดตันในผู้ป่วยมะเร็ง
(clinical characteristics of malignancy-related venous thromboembolism)
สุกแล็กษณ์ พงศ์อุทัย/พลภัทร ใจนั้นศรีวิชัย
- การศึกษาข้อมูลเบื้องต้นของการติดเชื้อสเตรปโตโคคัลัส บีวิส ไบโอทัยพ์สอง: ความสัมพันธ์กับโรคตับหรือทางเดินน้ำดี
(a retrospective, case control study of *Streptococcus bovis* biotype II infection: an association with hepatobiliary diseases)
โภสภิตา งามวงศ์วนานุรัตน์/รองพงศ์ โพลังกะ/สุมาณี นิลเกต/
ชนิยรา พัตรสุวรรณ/ชุมนา สาระต่าย
- Journal club
จิตร สิงห์อมร/ประพิมพรรณ อําพันทรัพย์, สมบัติ ศรีประเสริฐสุข
- Clinicopathological conference
พัชญา บุญชยาอนันต์/ธิติ สนับบุญ/จตุพร ชัยฤทธิ์/ธรรมธร อาศันตะเสน
- EKG quiz
สราวุฒิ ศิวโมกษธรรม
- Spot diagnosis
มงคลธิดา อัมแพลสตีเยอร์/ธิติ สนับบุญ

จุฬาอักษรศาสตร์

เจ้าของ

ภาควิชาภาษาไทย
คณะแพทยศาสตร์
จุฬาลงกรณ์มหาวิทยาลัย

หัวหน้าภาควิชาภาษาไทย

ศ.นพ.สมชาย เอี่ยมอ่อง

กองบรรณาธิการที่ปรึกษา

ศ.นพ.กัมมันต์ พันธุ์วนิดา
ศ.นพ.จิตร สิทธิอมร
ศ.นพ.วิทยา ศรีดามา

บรรณาธิการ

ศ.ดร.นพ.ชูชาณ สวนกระต่าย

ผู้ช่วยบรรณาธิการ

ศ.นพ.วันดา กุลวิชิต
ผศ.นพ.กมล แก้วกิตติธรรม
อ.พญ.กมลวรรณ จิตวรวุฒิ
อ.นพ.กำพล สุวรรณวนิลกุล
อ.นพ.รองพงษ์ โพลังลักษณ์

กองบรรณาธิการ

ศ.นพ.ประวิตร อัศวนันท์
รศ.นพ.เกื้อเกียรติ ประดิษฐ์พรศิลป์
รศ.นพ.สมบัติ ตรีประเสริฐสุข
ผศ.ดร.นพ.วีโรจน์ ศรีอุพารพวงศ์
ผศ.ดร.นพ.อุดมศักดิ์ บุญวารเศรษฐ์
อ.นพ.ชัยกัตร ชุมหรัคเมธ์
อ.นพ.นกชาญ เอื้อประเสริฐ
อ.นพ.ปฏิณฐ์ บูรณทรัพย์ชาร
อ.นพ.พิสูทธิ์ กตเวทิน
อ.นพ.ไฟโรจน์ นัตรานุกูลชัย
อ.นพ.ยงกेम วรเชษฐ์การกิจ¹
อ.นพ.วรุณิ รุ่งประดับวงศ์

ฝ่ายคิลป์

สุนิสา ตรีลพ

สำนักงาน

ตึกอบรมวิชาการ ชั้น 2 ภาควิชาภาษาไทย
คณะแพทยศาสตร์ โรงพยาบาลจุฬาลงกรณ์
ถนนพระราม 4 เขตปทุมวัน กรุงเทพฯ 10330
โทรศัพท์ 02-256-4246
แฟกซ์ 02-252-7858
E-mail: chusana.s@chula.ac.th
กำหนดออก ปีละ 4 ฉบับ

“จุฬาอักษรศาสตร์” เป็นวารสารทางวิชาการของภาควิชาภาษาไทย คณะแพทยศาสตร์ จุฬาลงกรณ์มหาวิทยาลัย

สามารถ Download วารสารจุฬาอักษรศาสตร์ได้ที่

<http://www.cumedicine.org/home/category/journal>

จัดทำที่ ครีเทพนู๊คโปรดักส์ โทรศัพท์ 0-2427-3928, 08-7588-6069

นโยบาย และการส่งเรื่องตีพิมพ์ในวารสารจุฬาอัษฎาศาสตร์

จุดประสงค์

- เพื่อเผยแพร่ความรู้ทางอัษฎาศาสตร์แก่แพทย์ผู้สนใจ โดยใช้บทความล้วนให้ญี่ปุ่นภาษาไทย โดยเสนอความรู้จากกิจกรรมทางวิชาการของภาควิชา ที่นำมาเสนอโดยแพทย์ประจำบ้าน และอาจารย์ในภาควิชาอัษฎาศาสตร์ คณะแพทยศาสตร์ จุฬาลงกรณ์มหาวิทยาลัย
- เพื่อให้แพทย์ประจำบ้านที่ศึกษาอบรมอยู่ได้ทบทวนความรู้ จากการอ่านบทความในวารสารนี้ อีกทั้งได้มีโอกาสฝึกเขียนบทความทางวิชาการ
- เพื่อให้ศิษย์เก่าแพทย์ประจำบ้านอัษฎาศาสตร์ได้ทบทวนความรู้เบรียบเสมือนว่าได้ร่วมประชุมวิชาการฟื้นฟูความรู้ต่อไป เป็นการส่งเสริมการศึกษาต่อเนื่อง
- เพื่อเป็นสื่อกลางระหว่างภาควิชาอัษฎาศาสตร์ จุฬาลงกรณ์มหาวิทยาลัยกับศิษย์เก่าแพทย์ประจำบ้านอัษฎาศาสตร์ อัษฎาแพทย์และแพทย์ทั่วไป

สมาชิก

- อาจารย์ 医師ประจำบ้าน และศิษย์เก่าแพทย์ประจำบ้าน ภาควิชาอัษฎาศาสตร์ คณะแพทยศาสตร์ จุฬาลงกรณ์มหาวิทยาลัย
- แพทย์ทุกท่านที่สนใจเขียนในสมัครฯ
- บุคลากรทางการแพทย์อื่นๆ รวมทั้งนิสิตแพทย์ที่คิดว่าบทความในวารสารนี้จะมีประโยชน์

ตัวอย่างการเขียนเอกสารอ้างอิง

บทความ

Suankratay C, Suan D, Auzt E, Somt D, Xan F, Ton A, et al. Study of diabetes mellitus treatment in patients with glipizide. Clin Infect Dis 2005;10:106–8.

บทในหนังสือ

Hughes IA. Congenital adrenal hyperplasia. In: Hall R, Bassar M, eds. Fundamentals of Clinical Endocrinology. Edinburgh: Churchill Livingstone, 1989:197–204.

จดหมายจากบรรณาธิการ

สวัสดีสมาชิกวารสารจุฬาฯรศค่าสตร์

วารสารฉบับนี้เป็นฉบับที่ 2 ของปี พ.ศ. 2558 สำหรับเนื้อหาประกอบด้วย topic review 2 เรื่อง journal club, CPC, EKG quiz และ spot diagnosis หวังว่าท่านสมาชิกและผู้อ่านวารสารฯ ทุกท่านคงได้รับประโยชน์บ้างพอสมควร

สุดท้ายนี้ผู้ได้เสนอใจจะเสนอรายงานผู้ป่วยหรือเนื้อหาในคอลัมน์ใดๆ สามารถส่งมาที่กองบรรณาธิการ หรือ email: chusana.s@chula.ac.th ตลอดจนปัญหาหรือข้อวิจารณ์ใดๆ ทางกองบรรณาธิการยินดีเสมอในการรับไว้พิจารณาครับ

ศ.ดร.นพ.ชุมนา สวนกระต่าย
บรรณาธิการ

สารบัญ

จุฬาอักษรศาสตร์ ปีที่ 28 ฉบับที่ 2 เมษายน-มิถุนายน 2558

หน้า

ลักษณะทางคลินิกของภาวะหลอดเลือดดำอุดตันในผู้ป่วยมะเร็ง (clinical characteristics of malignancy-related venous thrombo-embolism)	69
สุกแลกษณ์ พงศ์อุทัย/พลกัทร ใจนันดรินทร์	
การศึกษาข้อมูล เปรียบเทียบการติดเชื้อสเตรปโตโคคัส โนวิส ในโถทัยพ์สอง: ความสัมพันธ์กับโรคตับหรือทางเดินน้ำดี (a retrospective, case control study of <i>Streptococcus bovis</i> biotype II infections: an association with hepatobiliary diseases)	80
ไสวิตา งามวงศ์วาน/รองพงศ์ โพลังละ/สุมาลี นิลเกต/ ชนิษฐา ฉัตรสุวรรณ/ชุมณา สวนกระต่าย	
Journal club	97
จิตรา สิงห์อมร/ประพิมพรรณ อร骏พันทรพย์, สมบัติ ตรีประเสริฐสุข	
Clinicopathological conference	103
พัชญา บุญชยาอนันต์/ธิติ สนับบุญ/จดพร ชยะกุลครี/ธรรมธาร อาศันตะเสน	
EKG quiz	110
สราชฎิ ศิวโมกษธรรม	
Spot diagnosis	112
มงคลชิตา อัมพลเสถียร/ธิติ สนับบุญ	
CME credit	118

Topic review

ลักษณะทางคลินิกของภาวะหลอดเลือดดำอุดตันในผู้ป่วยมะเร็ง (clinical characteristics of malignancy-related venous thromboembolism)

สุกี้ลักษณ์ พงศ์อุทัย*
พลกัทร ใจเน้นครินทร์**

บทคัดย่อ

โรคมะเร็งเป็นสาเหตุหลักในผู้ป่วยโรคหลอดเลือดดำอุดตันในประเทศไทย การศึกษาในต่างประเทศก่อนหน้านี้ พบว่ามีหลายปัจจัย เช่น โรคมะเร็งเอง ยาเคมีบำบัด ยาฮอร์โมน ที่เป็นปัจจัยเสี่ยงต่อการเกิดภาวะหลอดเลือดดำอุดตัน และพบว่า มะเร็งตับอ่อน มะเร็งรังไข่ และมะเร็งสมอง เพิ่มความเสี่ยงต่อการเกิดภาวะหลอดเลือดดำอุดตันมากที่สุด แต่ข้อมูลในชาติวันตกลจากมีความแตกต่างด้านระบาดวิทยากับผู้ป่วยไทย

วัตถุประสงค์

เพื่อศึกษาลักษณะทางคลินิกของมะเร็งปฐมภูมิ และชนิดของเซลล์มะเร็ง ในผู้ป่วยหลอดเลือดดำอุดตันที่มีมะเร็งร่วมในประเทศไทย

วิธีการ

ผู้วิจัยได้ศึกษาเวชระเบียนผู้ป่วยในที่ได้รับการวินิจฉัยว่าเป็นโรคหลอดเลือดดำที่ขาอุดตัน (deep vein thrombosis, DVT) หรือหลอดเลือดดำที่ปอดอุดตัน (pulmonary embolism, PE) ในโรงพยาบาลจุฬาลงกรณ์ ตั้งแต่ พ.ศ. 2552-พ.ศ. 2554 ตัวแปรที่ศึกษาคือ เพศ อายุ ปัจจัยเสี่ยงต่อการเกิดภาวะหลอดเลือดดำอุดตัน ชนิดของมะเร็งปฐมภูมิที่พบร่วม ระยะของโรคมะเร็ง การรักษามะเร็งที่ได้รับก่อนหน้านี้ อัตราการตายในโรงพยาบาล และภาวะเลือดออกหลังการรักษา

ผลการศึกษา

รวมรวมผู้ป่วยได้ 155 ราย (DVT 101 ราย PE 42 ราย DVT ร่วมกับ PE 12 ราย) พบรึ่นเพศหญิงร้อยละ 65.2 อายุเฉลี่ย 61.3 ปี

*แพทย์ประจำบ้าน ภาควิชาอายุรศาสตร์ คณะแพทยศาสตร์

จุฬาลงกรณ์มหาวิทยาลัย

**สาขาวิชาโลหิตวิทยา

ภาควิชาอายุรศาสตร์ คณะแพทยศาสตร์ จุฬาลงกรณ์มหาวิทยาลัย

(พิสัย 20-97 ปี) โดยพบว่ามีมะเร็งร่วม 74 ราย (ร้อยละ 47.1) ในกลุ่มที่มีมะเร็งร่วมพบมะเร็งปัซูนภูมิเป็นมะเร็งรังไข่ร้อยละ 14.9 มะเร็งลำไส้ใหญ่และทวารหนักร้อยละ 14.9 มะเร็งคอลุกร้อยละ 8.1 มะเร็งโลหิตวิทยาร้อยละ 8.1 และมะเร็งห้องน้ำดีร้อยละ 8.1 นอกจากนี้พบว่าชนิดของเซลล์มะเร็งที่พบมาก คือ มะเร็งชนิด adenocarcinoma ร้อยละ 47.1 squamous cell carcinoma ร้อยละ 8.8 และ diffuse large B cell lymphoma ร้อยละ 2.9 โดยพบมะเร็งระยะที่ 4 ร้อยละ 78.8 การรักษาไม่สำเร็จก่อนที่จะได้รับการvinijally ภาวะหลอดเลือดดำอุดตันพบว่า ได้รับยาเคมีบำบัดร้อยละ 22.6 การผ่าตัดร้อยละ 11.3 รังสีรักษาร้อยละ 8.1 และได้รับการรักษาหลายวิธีร้อยละ 37.1 และเกิดภาวะหลอดเลือดดำอุดตันหลังการรักษาด้วยการผ่าตัดในผู้ป่วยมะเร็งร้อยละ 4.1 มีการเสียชีวิตในโรงพยาบาลร้อยละ 12.9 และพบภาวะเลือดออกในโรงพยาบาลร้อยละ 11

สรุป

ในประเทศไทยพบมะเร็งในผู้ป่วยที่มีภาวะหลอดเลือดดำอุดตันมากกว่าในต่างประเทศ (ร้อยละ 47.1 เทียบกับร้อยละ 20) โดยมะเร็งปัซูนภูมิที่พบมากที่สุดในการศึกษานี้ คือ มะเร็งลำไส้ใหญ่และทวารหนัก มะเร็งโลหิตวิทยา และมะเร็งห้องน้ำดี ซึ่งสอดคล้องกับที่เคยมีการรายงานในต่างประเทศ

ความสำคัญและที่มาของปัญหาการวิจัย

ภาวะหลอดเลือดดำอุดตันเป็นภาวะที่พบบ่อยในประเทศไทยต่อวันตกล โดยพบอุบัติการณ์ 43.7-192.0 ต่อประชากร 100,000 รายต่อปี และเชื่อว่า อุบัติการณ์การเกิดภาวะหลอดเลือดดำอุดตันในประเทศไทยในปัจจุบันสูงขึ้นกว่าอดีตมาก โดยพบมากในกลุ่มที่มีโรคมะเร็งร่วมด้วยและหลังการผ่าตัด ซึ่งเป็นภาวะแทรกซ้อนที่สำคัญและก่อให้เกิดการเสียชีวิตอย่างฉับพลันได้ นอกจากนี้ยังก่อให้เกิดภาวะแทรกซ้อนตามมา ส่งผลให้เกิดความทุพพลภาพตามมา เช่น post-thrombotic syndrome การศึกษานี้ต้องการศึกษาถึงลักษณะทางคลินิกของผู้ป่วยโรคหลอดเลือดดำอุดตันที่พบในผู้ป่วยมะเร็งในผู้ป่วยที่รับการรักษาเป็นผู้ป่วยในของโรงพยาบาลชุฬาลงกรณ์ เพื่อต้องการทราบจำนวนผู้ป่วยโรคหลอดเลือดดำอุดตันที่มีมะเร็งร่วม และต้องการทราบลักษณะทางคลินิกที่สำคัญของผู้ป่วยภาวะหลอดเลือดดำอุดตันในผู้ป่วยมะเร็งที่พบในประเทศไทยซึ่งอาจมีความแตกต่างจากที่พบในต่างประเทศ

บททวนวรรณกรรมที่เกี่ยวข้อง (review of related literature)

จากการศึกษาในประเทศไทยสวีเดน¹ ปี ค.ศ. 1987 ศึกษาอุบัติการณ์ของภาวะหลอดเลือดดำอุดตันในเมือง Malmo ประเทศไทยสวีเดน พบร่วมๆ อุบัติการณ์ เกิดภาวะหลอดเลือดดำอุดตัน 1.6 ราย/1,000 ราย/ปี โดยอายุเฉลี่ยในเพศชาย 66 ปี เพศหญิง 72 ปี และขณะที่ได้รับการvinijally เป็นภาวะหลอดเลือดดำอุดตัน พบร่วมๆ ร้อยละ 19 เป็นมะเร็งอยู่เดิม และร้อยละ 5 ตรวจพบว่าเป็นโรคมะเร็งภายในเวลา 1 ปี

จากการศึกษาลักษณะทางคลินิกของผู้ป่วยหลอดเลือดดำอุดตันเบรเยนเทียบระหว่าง ผู้ที่เป็นมะเร็งและไม่ได้เป็นมะเร็ง ในโรงพยาบาลชุฬาลงกรณ์ โดย Wutthimanop และ Rojnuckarin² ศึกษาใน พ.ศ. 2546-2550 โดยรวมผู้ป่วยทั้งสิ้น 167 ราย พบร่วมๆ ร้อยละ 32 มีมะเร็งร่วม และผู้ป่วยหลอดเลือดดำอุดตันที่มีและไม่มีมะเร็งร่วม พบร่วมๆ ลักษณะบางอย่างที่ต่างกัน ได้แก่ อายุที่มาก และภาวะซีดอาจบ่งว่ามีมะเร็งร่วม ในขณะที่ผู้ป่วยที่มีภาวะอ้วน

และมีประวัติการใช้ estrogen จะพบบ่อยกว่าในผู้ป่วยที่ไม่มีมะเร็งร่วม

จากการศึกษาของ Piccioli และคณะ³ ถึงการตรวจคัดกรองเพื่อหาโรคมะเร็งในผู้ป่วยที่เป็นภาวะหลอดเลือดดำอุดตันโดยไม่ทราบสาเหตุ ค.ศ. 2004 พบว่า ผู้ป่วยที่มีภาวะหลอดเลือดดำอุดตันโดยที่ยังไม่มีมะเร็งร่วม มีอุบัติการณ์การเกิดโรคมะเร็งที่ตรวจพบในอนาคตต่ออย่าง 10 โดยทำการสุ่มแบ่งผู้ป่วยเป็นสองกลุ่ม ติดตามผู้ป่วย 2 ปี พบว่า กลุ่มผู้ป่วยที่มีการตรวจคัดกรองมะเร็งพบโรคมะเร็งร้อยละ 13.1 ส่วนในกลุ่มที่ไม่มีการตรวจคัดกรองมะเร็ง พบโรคมะเร็งร้อยละ 9.81 และผู้ป่วยที่ตรวจพบโรคมะเร็งในกลุ่มที่ตรวจคัดกรองพบมะเร็งในระยะแรกมากกว่า และค่าเฉลี่ยของระยะเวลาการวินิจฉัยโรคมะเร็งลดลงจาก 11.6 เดือน เป็น 1 เดือน แต่การที่ตรวจพบโรคมะเร็งเร็วขึ้นยังสรุปไม่ได้ว่าจะมีพยากรณ์ของโรคที่ดีขึ้น

มีการศึกษาโดย Levine และคณะ⁵ ถึงอุบัติการณ์การเกิดภาวะหลอดเลือดดำอุดตันในผู้ป่วยมะเร็งเต้านมระยะที่สองจำนวน 205 ราย ที่ได้รับการรักษาด้วยยาเคมีบำบัดและยาฮอร์โมนที่ 12 สัปดาห์ และ 36 สัปดาห์ พบอุบัติการณ์การเกิดภาวะหลอดเลือดดำอุดตันร้อยละ 68 และพบว่าการเกิดภาวะหลอดเลือดดำอุดตันพบในช่วงที่ได้รับยาเคมีบำบัดทั้งหมด การศึกษานี้สรุปได้ว่ายาเคมีบำบัดเพิ่มความเสี่ยงในการเกิดภาวะหลอดเลือดดำอุดตันในผู้ป่วยมะเร็ง

มีการศึกษาของ Saphner และคณะ⁶ ในผู้ป่วยมะเร็งเต้านม 2,673 ราย พนอัตราการเกิดภาวะหลอดเลือดดำและหลอดเลือดแดงอุดตันในกลุ่มที่ได้รับยาเคมีบำบัดและยาฮอร์โมนมากกว่ากลุ่มที่ไม่ได้รับอย่างมีนัยสำคัญ คือร้อยละ 5.4 เทียบกับร้อยละ 1.6 ($p=0.0002$) และการได้รับ tamoxifen เพิ่มจากยาเคมีบำบัด พนว่าเพิ่มอุบัติการณ์การเกิดภาวะ

หลอดเลือดดำอุดตันจากร้อยละ 0.8 เป็นร้อยละ 2.8 ($p=0.003$) ในผู้หญิงก่อนวัยหมดประจำเดือน และเพิ่มอุบัติการณ์การเกิดภาวะหลอดเลือดดำอุดตันในกลุ่มผู้หญิงวัยหมดประจำเดือนจากร้อยละ 2.3 เป็นร้อยละ 8 ($p=0.03$)

คำถามการวิจัย (research question)

คำถามหลัก (primary research question) ผู้ป่วยที่ได้รับการวินิจฉัยเป็นโรคหลอดเลือดดำอุดตันเป็นโรคมะเร็งร่วมด้วยร้อยละเท่าใด

คำถามรองของการวิจัย (secondary research question) ลักษณะทางคลินิกของผู้ป่วยโรคหลอดเลือดดำอุดตันที่เป็นมะเร็ง ชนิดของมะเร็ง และการรักษามะเร็งที่ได้รับ

การให้คำนิยามเชิงปฏิบัติที่จะใช้ในการวิจัย (operational definition)

ผู้ป่วยมะเร็ง หมายถึง ผู้ป่วยที่ได้รับการวินิจฉัยว่าเป็นโรคมะเร็งทุกชนิด ทั้งที่เคยเป็น และกำลังเป็นโรคมะเร็ง

ผู้ป่วยภาวะหลอดเลือดดำอุดตัน หมายถึง ผู้ป่วยที่ได้รับการวินิจฉัยว่าเป็นโรคหลอดเลือดดำอุดตันตำแหน่งใดตำแหน่งหนึ่ง โดยได้รับการยืนยันการวินิจฉัยที่แน่นอนทางรังสีวิทยา

วัตถุประสงค์ของการวิจัย (objectives)

วัตถุประสงค์หลัก เพื่อศึกษาความชุกผู้ป่วยโรคหลอดเลือดดำอุดตันในผู้ป่วยมะเร็ง ของผู้ป่วยในโรงพยาบาลจุฬาลงกรณ์ ตั้งแต่ พ.ศ. 2552-2554

วัตถุประสงค์รอง

1. ศึกษาลักษณะทางคลินิก ของผู้ป่วยโรคหลอดเลือดดำอุดตันที่เป็นมะเร็ง
2. ศึกษาชนิดของมะเร็ง ในผู้ป่วยโรคหลอดเลือดดำอุดตัน

3. ศึกษาการได้รับการรักษาโรคมะเร็งที่ผ่านมา ในผู้ป่วยโรคหลอดเลือดดำอุดตัน

คำสำคัญ (keywords)

Venous thromboembolism, deep vein thrombosis, pulmonary embolism, malignancy

รูปแบบการวิจัย (research design)

การวิจัยเชิงพรรณนาแบบข้อมูลลัง (descriptive retrospective study)

ระเบียบวิธีการวิจัย (research methodology)

ประชากร (population) หมายถึง กลุ่มผู้ป่วยอายุมากกว่า 15 ปีที่ได้รับการวินิจฉัยเป็นโรคหลอดเลือดดำอุดตันที่มีการยืนยันการวินิจฉัยที่แน่นอนจากการรักษาโดย doppler ultrasonogram, computed tomogram, magnetic resonance imaging หรือ venogram ที่รับการรักษาเป็นผู้ป่วยใน ในโรงพยาบาลจุฬาลงกรณ์ ตั้งแต่ พ.ศ. 2552-2554

ประชากรเป้าหมาย (target population) หมายถึง กลุ่มผู้ป่วยอายุมากกว่า 15 ปี ที่ได้รับการวินิจฉัยเป็นโรคหลอดเลือดดำอุดตันที่มีการยืนยันการวินิจฉัยที่แน่นอนโดย doppler ultrasonogram, computed tomogram, magnetic resonance imaging หรือ venogram และเป็นมะเร็งที่ได้รับการรักษาเป็นผู้ป่วยใน ในโรงพยาบาลจุฬาลงกรณ์ ตั้งแต่ พ.ศ. 2552-2554

ประชากรตัวอย่าง (sample population) หมายถึง กลุ่มผู้ป่วยอายุมากกว่า 15 ปี ที่ได้รับการวินิจฉัยเป็นโรคหลอดเลือดดำอุดตันที่มีการยืนยันการวินิจฉัยที่แน่นอนจากการรักษาโดย doppler

ultrasonogram, computed tomogram, magnetic resonance imaging หรือ venogram และเป็นมะเร็งที่ได้รับการรักษาเป็นผู้ป่วยในในโรงพยาบาลจุฬาลงกรณ์ ตั้งแต่ พ.ศ. 2552-2554

เกณฑ์ในการคัดเลือกผู้ป่วย (inclusion criteria) กลุ่มผู้ป่วยอายุมากกว่า 15 ปีที่ได้รับการวินิจฉัยเป็นโรคหลอดเลือดดำอุดตัน โดยยืนยันการวินิจฉัยด้วยที่แน่นอนจากการรักษา (ทั้งที่เป็นมะเร็ง และไม่เป็นมะเร็ง) โดย doppler ultrasonogram, computed tomogram, magnetic resonance imaging หรือ venogram ที่ได้รับการรักษาเป็นผู้ป่วยใน ในโรงพยาบาลจุฬาลงกรณ์ ตั้งแต่ พ.ศ. 2552-2554

เกณฑ์ในการคัดเลือกผู้ป่วยออก (exclusion criteria) ผู้ป่วยที่ไม่มีผลทางรังสีวิทยายืนยันการวินิจฉัย ผู้ป่วยที่ได้รับการวินิจฉัยเป็นโรคหลอดเลือดดำอุดตันมาก่อนที่จะได้รับการรักษาเป็นผู้ป่วยในขนาดตัวอย่างและการคำนวณ

$N =$ จำนวนประชากรตามเกณฑ์ในการคัดเลือกผู้ป่วยในช่วงที่ต้องการศึกษาทั้งหมด โดย $N = 155$ ราย

การรวบรวมข้อมูล (data collection)

คัดเลือกประชากรเป้าหมายโดยสืบค้นข้อมูลจากเวชระเบียนผู้ป่วยใน ในช่วงเวลาที่กำหนด

คัดเลือกประชากรเป้าหมายตามเกณฑ์ในการคัดเลือกผู้ป่วย

การวิเคราะห์ข้อมูลและสถิติที่ใช้วิเคราะห์ (data analysis and statistics)

Descriptive data (demographic data)

1. Categorical data: percent

2. Continuous data: mean and standard deviation

ข้อพิจารณาด้านจริยธรรม (ethical consideration)

การใช้เวชระเบียนของผู้ป่วยในโรงพยาบาล จุฬาลงกรณ์ ใน การวิจัยครั้งนี้ ตามพระราชบัญญัติ สุขภาพแห่งชาติ พ.ศ. 2550 เนื่องจากเป็นการศึกษาแบบย้อนหลังผู้วิจัยไม่สามารถขอความยินยอมจากผู้ป่วยได้ จึงขออนุญาตจากผู้อำนวยการโรงพยาบาล จุฬาลงกรณ์ เพื่อขอเวชระเบียนผู้ป่วย และจะบันทึก เป็นนิรนาม ใช้รหัส โดยไม่มีการระบุหรือเปิดเผยชื่อ ผู้ป่วย

การดำเนินงาน	ระยะเวลา
1. ศึกษาเตรียมงาน	เดือนเมษายน พ.ศ. 2555 - เดือนพฤษภาคม พ.ศ. 2555
2. รวบรวมข้อมูล	เดือนธันวาคม พ.ศ. 2555 - กุมภาพันธ์ พ.ศ. 2556
3. วิเคราะห์ข้อมูล	เดือนกุมภาพันธ์ พ.ศ. 2556
4. สรุปและเขียน รายงาน	เดือนกุมภาพันธ์ พ.ศ. 2556
5. รายงานผล	เดือนมีนาคม พ.ศ. 2556

ข้อจำกัดในการวิจัย (limitations)

การประเมินข้อมูลที่บันทึกไว้ในอดีต ในบางรายข้อมูลอาจบันทึกไว้ไม่สมบูรณ์

ประโยชน์ที่คาดว่าจะได้รับจากการวิจัย (expected or anticipated benefit gain)

- ทราบจำนวนของผู้ป่วยมะเร็งในผู้ป่วยที่ได้รับการวินิจฉัยเป็นโรคหลอดเลือดดำอุดตัน
- ทราบลักษณะทางคลินิกของผู้ป่วยโรคหลอดเลือดดำอุดตัน
- ทราบถึงการรักษาโรคมะเร็งที่ได้รับก่อนได้รับการวินิจฉัยเป็นโรคหลอดเลือดดำอุดตัน
- สามารถต่อยอดการศึกษาในอนาคตถึงความสัมพันธ์และปัจจัยเสี่ยงระหว่างหลอดเลือดดำอุดตันกับโรคมะเร็งในประเทศไทยได้

อุปสรรคที่อาจจะเกิดขึ้น (challenges)

เวชระเบียนในอดีตอาจมีข้อมูลที่บันทึกไว้ไม่สมบูรณ์

การบริหารงานวิจัยและตารางการปฏิบัติงาน (administration and time schedule)

การวิเคราะห์ทางสถิติ

- สถิติเชิงพรรณนา สำหรับ continuous data รายงานเป็นค่าเฉลี่ย (mean) และส่วนเบี่ยงเบนมาตรฐาน (standard deviation)
- Categorical data รายงานเป็นร้อยละ (percent)
- ความแตกต่างระหว่างกลุ่มใช้สถิติ student's t test และ Pearson Chi-square

ผลการศึกษา

จากการรวบรวมเวชระเบียน ผู้ป่วยที่ได้รับการวินิจฉัยเป็น deep vein thrombosis (DVT) หรือ pulmonary embolism (PE) ตั้งแต่วันที่ 1 มกราคม พ.ศ. 2552 ถึง 31 ธันวาคม พ.ศ. 2554 มีผู้ป่วยทั้งหมด 155 ราย อายุเฉลี่ย 61.29 ± 16.27 ปี เป็นเพศหญิง 101 ราย (ร้อยละ 65.2) เพศชาย 54 ราย (ร้อยละ 34.8) โดยได้รับการวินิจฉัยเป็น DVT 101 ราย (ร้อยละ 65.6) PE 42 ราย (ร้อยละ 27.1) และเป็นทั้งสองอย่าง 12 ราย (ร้อยละ 7.7) กลุ่มที่มีมะเร็งร่วมด้วย 73 ราย (ร้อยละ 47.1) และไม่มีมะเร็งร่วมด้วย 82 ราย (ร้อยละ 52.9) ดังตารางที่ 1 และตารางที่ 2

ตารางที่ 1. Type of venous thromboembolism (VTE)

Type of VTE	Frequency	Percent
Proximal vein	41	26.5
Distal vein	6	3.9
Visceral vein	3	1.9
Both proximal & distal	48	31
Pulmonary embolism	42	27.1
DVT & PE	12	7.7
Visceral vein & DVT	3	1.9

DVT: deep vein thrombosis, PE: pulmonary embolism

ตารางที่ 2. VTE with malignancy

VTE	Frequency	Percent
Malignancy	73	47.1
No malignancy	82	52.9
Total	155	100

VTE: venous thromboembolism

จากการศึกษานี้พบว่า มีผู้ป่วยภาวะหลอดเลือดดำอุดตันที่มีปัจจัยเสี่ยงของภาวะหลอดเลือดดำอุดตัน คือ immobilization ร้อยละ 20 มีภาวะการติดเชื้อฉับพลันร่วมด้วยร้อยละ 9 มี lower limb paralysis ร้อยละ 6.5 มีประวัติการใช้ยาคุมกำเนิดชนิดเม็ดมาก่อนร้อยละ 5.8 มีการผ่าตัดภายใน 6 สัปดาห์ก่อนเกิดภาวะ VTE ร้อยละ 5.8 มีประวัติเคยมีภาวะ VTE มาก่อนร้อยละ 5.8 มีการได้รับการรักษาเป็นผู้ป่วยในโรงพยาบาลมาก่อนภายใน 6 สัปดาห์ก่อนเกิดภาวะ VTE ร้อยละ 4.5 และไม่มีปัจจัยเสี่ยงของภาวะหลอดเลือดดำอุดตันร้อยละ 39.4 ดังตารางที่ 3

ตารางที่ 3. Risk factor of venous thromboembolism (VTE)

Risk factor	Frequency	Percent
None	61	39.4
Immobilization	31	20
Acute infection	14	9
Lower limb paralysis	10	6.5
History use oral contraceptive	9	5.8
Postoperative within 6 weeks	9	5.8
Previous VTE	9	5.8
Postadmission within 6 weeks	7	4.5
Fracture of spine	5	3.2
Fracture of femur	3	1.9
Congestive heart failure FC III, IV	2	1.3
Thrombophilia	2	1.3
SLE	2	1.3
Assisted ventilator	1	0.6
COPD	1	0.6
Nephrotic syndrome	0	0
Central venous catheter	0	0

FC: functional class, COPD: chronic obstructive pulmonary disease

จากการศึกษานี้พบว่า มะเร็งปฐนภูมิที่พบมากที่สุดในผู้ป่วย VTE ได้แก่ มะเร็งรังไข่ และมะเร็งลำไส้ใหญ่และทวารหนัก โดยพบร้อยละ 14.9 รองลงมาคือมะเร็งเม็ดเลือด มะเร็งเยื่องนูโพรนมดลูก และมะเร็งท่อน้ำดี โดยพบร้อยละ 8.1 ดังตารางที่ 4

ตารางที่ 4. Primary cancer

Type of cancer	frequency	Percent
Ovary	11	14.9
Colorectal cancer	11	14.9
Hematologic cancer	6	8.1
Endometrial cancer	6	8.1
Cholangiocarcinoma	6	8.1
Liver	5	6.8
Breast	4	5.4
Unknown primary	4	5.4
Cervix	3	4.1
Prostate	3	4.1
Musculoskeletal cancer	2	2.7
Other	10	13.5

จากการศึกษาพบว่า ชนิดของมะเร็งในผู้ป่วยภาวะหลอดเลือดดำอุดตัน พbmะเร็งชนิด adenocarcinoma ร้อยละ 47.1 squamous cell carcinoma ร้อยละ 8.8 และ diffuse large B cell ร้อยละ 2.9 ดังตารางที่ 5

ตารางที่ 5. Cell types

Cell type	Frequency	Percent
Adenocarcinoma	32	47.1
Squamous cell carcinoma	6	8.8
Diffuse large B cell	2	2.9
Other	28	41.2

จากการศึกษานี้พบว่ามีผู้ป่วยโรคหลอดเลือดดำอุดตันที่พบมะเร็งร่วม อัฐในมะเร็งระยะที่ 4 ร้อยละ 78.8 ระยะที่ 3 ร้อยละ 7.6 ระยะที่ 2 ร้อยละ 7.6 และระยะที่ 1 ร้อยละ 6.1 ตามลำดับ (ตารางที่ 6)

ตารางที่ 6. Stages of malignancy

Stage	Frequency	Percent
Stage IV	52	78.8
Stage III	5	7.6
Stage II	5	7.6
Stage I	4	6.1

ผู้ป่วยภาวะหลอดเลือดดำอุดตันที่มีมะเร็งร่วมได้รับการรักษาด้วยยาเคมีบำบัด ร้อยละ 22.6 การผ่าตัด ร้อยละ 11.3 รังสีรักษา ร้อยละ 8.1 รักษาด้วยยาชื้อร์โนน ร้อยละ 1.6 และได้รับการรักษาทางวิธี ร้อยละ 35.2 (ตารางที่ 7)

ตารางที่ 7. Antitumor treatments

Treatment	Frequency	Percent
Chemotherapy (CMT)	14	22.6
Radiotherapy (RT)	5	8.1
Hormonal therapy	1	1.6
Surgery	7	11.3
CMT+Surgery	8	12.9
CMT+Hormone	5	8.1
CMT+targeted therapy	1	1.6
CMT+RT	4	6.5
Surgery +RT	3	4.8
CMT+Hormone+surgery	1	1.6
CMT+Hormone+RT	1	1.6

จากการศึกษานี้พบว่ามีอัตราการเสียชีวิตในโรงพยาบาลร้อยละ 12.9 โดยเป็นผู้ป่วยที่มีมะเร็งร่วม 11 ราย จากผู้ป่วยที่มีมะเร็งร่วม 73 ราย คิดเป็นร้อยละ 15 ในกลุ่มผู้ป่วยที่ไม่มีมะเร็งร่วม (ตารางที่ 8) โดยไม่มีความแตกต่างกันอย่างมีนัยสำคัญทางสถิติระหว่างอัตราการเสียชีวิตในโรงพยาบาลของผู้ป่วยสองกลุ่มนี้

ตารางที่ 8. In-hospital mortality

In-hospital death	Malignancy	No malignancy	Total
Frequency	11/73	9/82	20/155
Percent	15%	10.97%	12.9%

($p=0.45$) โดยสาเหตุการเสียชีวิตที่พบในผู้ป่วยมะเร็ง ส่วนใหญ่เสียชีวิตจากการติดเชื้อในกระแสเลือดคิด เป็นร้อยละ 36 เสียชีวิตจากโรคมะเร็งและจากกลิ่ม เลือดอุดตันที่ปอดเท่ากันคิดเป็นร้อยละ 27.27 เสียชีวิตจากมีภาวะเลือดออกในทางเดินอาหารหลังได้รับ การรักษาด้วย enoxaparin กิตเป็นร้อยละ 9.09 โดยส่วนใหญ่ได้รับการรักษาด้วย enoxaparin ร้อยละ 81.82 ส่วนในกลุ่มที่ไม่มีมะเร็งร่วม สาเหตุ การตายส่วนใหญ่มาจากการติดเชื้อในกระแสเลือด ร้อยละ 55.56 คิ่มเลือดอุดตันที่ปอดร้อยละ 22.22 เลือดออกในช่องท้องร้อยละ 11.11 โดยไม่ได้รับการ

ตารางที่ 9. Bleeding

Bleeding	Malignancy	No malignancy	Total
Frequency	10/73	7/82	17/155
Percent	13.6%	8.5%	11.0%

ตารางที่ 10. Laboratory results

	Hb (ก./ดล.)	Hct (%)	WBC (/ลบ.มม.)	Neutrophil (%)	Lymphocyte (%)	Monocyte (%)	Eosinophil (%)
Mean	10.99	33.74	9965.82	72.43	18.83	6.58	2.06
SD	1.99	5.90	5631.70	15.14	12.90	5.86	3.17

	Basophil (%)	Platelet (%)	PT (วินาที)	PTT (วินาที)	MCV (เพมโตรล.)	RDW (%)	Cr (มก./ดล.)
Mean	0.35	268840.99	13.62	29.18	83.19	16.26	1.15
SD	0.49	139354.04	2.90	9.26	10.67	3.15	1.20

SD: standard deviation, Hb: hemoglobin, Hct: hematocrit, WBC: white blood cell, RDW: red cell distribution width, MCV: mean corpuscular volume

รักษากร่อนเสียชีวิตร้อยละ 33.33 ได้รับการรักษาด้วย enoxaparin ร้อยละ 22.22 ได้รับการรักษาด้วย warfarin ร้อยละ 22.22 ได้รับ rTPA ร้อยละ 11.11 จากการศึกษานี้พบภาวะเลือดออกในโรงพยาบาลร้อยละ 11 โดยเป็นผู้ป่วยที่มีมะเร็งร่วม 10 ราย จากผู้ป่วยที่มีมะเร็งร่วม 73 ราย คิดเป็นร้อยละ 13.6 ในกลุ่มผู้ป่วยมะเร็ง และคิดเป็นร้อยละ 8.5 ในกลุ่มผู้ป่วยที่ไม่มีมะเร็งร่วม (ตารางที่ 9) โดยไม่มีความแตกต่างกันอย่างมีนัยสำคัญระหว่างภาวะเลือดออกในโรงพยาบาลของผู้ป่วยสองกลุ่มนี้ ($p=0.31$)

จากการศึกษานี้พบว่า มีค่าเฉลี่ยของ hemoglobin 10.99 ก./ดล. hematocrit 33.74% white blood cell 9965.82/ลบ.มม. platelet 268,840/ลบ.มม. PT 13.62 วินาที PTT 29.18 วินาที creatinine 1.15 มก./ดล. ดังตารางที่ 10

เมื่อเปรียบเทียบผลการตรวจปฏิบัติการระหว่างกลุ่มที่มีมะเร็งร่วมและกลุ่มที่ไม่มีมะเร็งร่วม (ตารางที่ 11) พบว่า กลุ่มที่มีมะเร็งร่วม มีค่าเฉลี่ย hemoglobin 10.26 ซึ่งเมื่อเปรียบเทียบกับกลุ่มที่ไม่มีมะเร็งร่วมคือ 11.65 พบว่า ต่ำกว่ากลุ่มที่ไม่มีมะเร็งร่วมอย่างมีนัยสำคัญทางสถิติ ($p<0.001$) และมีค่า platelet สูงกว่ากลุ่มที่ไม่มีมะเร็งร่วมอย่างมีนัยสำคัญทางสถิติ ($p=0.04$)

ตารางที่ 11. Laboratory result เปรียบเทียบระหว่างกลุ่มที่มีมะเร็งร่วมและไม่มีมะเร็งร่วม

		N	Mean	SD	P value
Hb (ก./ดล.)	Malignancy	72	10.26	1.79	<0.001
	Non malignancy	81	11.65	1.95	
WBC (/ลบ.มม.)	Malignancy	72	10004.10	6203.48	0.94
	Non malignancy	80	9931.38	5102.27	
Platelet (/ลบ.มม.)	Malignancy	71	294112.68	147920.69	0.04
	Non malignancy	80	246412.38	128067.77	
PT (วินาที)	Malignancy	64	13.72	2.95	0.70
	Non malignancy	77	13.54	2.89	
PTT (วินาที)	Malignancy	62	28.07	7.16	0.19
	Non malignancy	73	30.13	10.70	
Cr (มก./ดล.)	Malignancy	66	1.02	0.93	0.19
	Non malignancy	71	1.29	1.41	

Cr: creatinine, Hb: hemoglobin, WBC: white blood cell, SD: standard deviation

อภิปรายผลการศึกษา

จากการศึกษานี้ พบรอยมะเร็งร่วมในผู้ป่วยภาวะหลอดเลือดดำอุดตันร้อยละ 47.1 ซึ่งพบมากกว่ารายงานในต่างประเทศ¹⁵ โดยการศึกษาในต่างประเทศพบมะเร็งร่วมร้อยละ 20 ซึ่งคาดว่าเกิดจาก การเก็บข้อมูลในการศึกษานี้ เก็บข้อมูลผู้ป่วยที่ได้รับ การวินิจฉัยเป็นโรคมะเร็งทั้งหมด ซึ่งแตกต่างจาก การศึกษาในต่างประเทศที่การเก็บข้อมูลได้ตัดภาวะหลอดเลือดดำที่ปอดอุดตันที่รุนแรงและตัดผู้ป่วยมะเร็งระยะลุกคานที่คาดว่าจะไม่สามารถตรวจติดตามหลังการรักษาได้ออกไป และคาดว่าในต่างประเทศ ปัจจัยทางเชื้อชาติมีผลต่อปัจจัยเสี่ยงอื่นร่วม เช่น ภาวะเลือดแข็งตัวผิดปกติ และอีสานเหตุหนึ่งที่ทำให้พบมะเร็งร่วมมากขึ้นเนื่องจากปัจจุบัน ผู้ป่วยมะเร็งมีชีวิตยืนยาวขึ้น ร่วมกับได้รับการรักษาอย่างต่อเนื่องด้วยยาเคมีบำบัด ยาหอร์โมน หรือการผ่าตัดเกือบทุกราย ซึ่งทำให้ตรวจพบภาวะหลอด

เลือดดำอุดตันในผู้ป่วยที่นอนโรงพยาบาลมากขึ้น โดยตำแหน่งที่พบภาวะหลอดเลือดดำอุดตันที่บ่อยได้แก่ ภาวะหลอดเลือดดำอุดตัน proximal VTE คือ ร้อยละ 57.5 (proximal VTE ร้อยละ 26.5 และ proximal and distal VTE ร้อยละ 31) ซึ่งใน การศึกษา MASTER¹⁵ พบรอย proximal vein VTE มากที่สุดคือ ร้อยละ 75.6

ในส่วนของปัจจัยเสี่ยงของการหลอดเลือดดำอุดตันที่พบในการศึกษานี้ ปัจจัยเสี่ยงที่พบมากที่สุดคือ immobilization ร้อยละ 20 ซึ่งสอดคล้องกับการศึกษาในต่างประเทศ¹⁵ พบรอยปัจจัยเสี่ยงนี้มากที่สุดคือร้อยละ 15

มะเร็งปอดกุมที่พบมากที่สุดในการศึกษานี้คือ มะเร็งรีเวช ร้อยละ 27.1 (มะเร็งรังไบร้อยละ 14.9 มะเร็งเยื่อบุโพรงน้ำสูตรร้อยละ 8.1 มะเร็งปอดกลุก ร้อยละ 4.1) มะเร็งลำไส้ใหญ่และทวารหนัก ร้อยละ 14.9 มะเร็งโอลิทิคิวทิยาร้อยละ 8.1 และมะเร็งท่อ

น้ำดีร้อยละ 8.1 ซึ่งสอดคล้องกับการศึกษา MASTER¹⁵ ในมะเร็งที่พบบ่อยคือมะเร็งนิรเวชร้อยละ 26 มะเร็งทางเดินอาหารร้อยละ 20.6 และมะเร็งโลหิตวิทยาร้อยละ 17 โดยชนิดของเซลล์มะเร็งที่พบบ่อยได้แก่ มะเร็งชนิด adenocarcinoma พบร้อยละ 47.1 ซึ่งสอดคล้องกับการศึกษาในต่างประเทศที่พบ และส่วนใหญ่พบมะเร็งระยะลุกคามร้อยละ 78.8 โดยใกล้เคียงกับการศึกษาในต่างประเทศที่พบมะเร็งระยะลุกคามร้อยละ 79.17

ผลการรักษา พบร่วมกับการเสียชีวิตในโรงพยาบาลทั้งหมดร้อยละ 12.9 โดยพบว่าอัตราการเสียชีวิตในโรงพยาบาลในกลุ่มมะเร็งร่วมและกลุ่มที่ไม่มีมะเร็งร่วมไม่มีความแตกต่างอย่างมีนัยสำคัญทางสถิติ (ร้อยละ 15 และร้อยละ 10.97, p=0.45) ซึ่งต่างจากการศึกษาในต่างประเทศ^{12,13} ที่พบว่า ผู้ป่วยมะเร็งที่มีภาวะหลอดเลือดดำอุดตันเพิ่มปัจจัยเสี่ยงการเสียชีวิตมากกว่าผู้ป่วยที่ไม่มีมะเร็งร่วม คิดว่าเกิดจากกลุ่มผู้ป่วยที่ศึกษานี้อย่างพบว่าไม่มีความแตกต่างอย่างมีนัยสำคัญทางสถิติ และจากการศึกษานี้พบภาวะเลือดออกหลังการรักษาร้อยละ 11 ซึ่งมากกว่าที่พบในการศึกษาต่างประเทศ (ร้อยละ 5.4)¹⁵ และพบว่าไม่มีความแตกต่างกันอย่างมีนัยสำคัญทางสถิติระหว่างกลุ่มที่มีมะเร็งร่วมและกลุ่มที่ไม่มีมะเร็งร่วม (ร้อยละ 13.6 และร้อยละ 8.5 p=0.31) ซึ่งต่างจากการศึกษาในต่างประเทศ¹⁵ ที่พบภาวะเลือดออกในกลุ่มที่เป็นมะเร็งมากกว่าอย่างมีนัยสำคัญทางสถิติ ทั้งนี้เนื่องจากกลุ่มผู้ป่วยของเรามีจำนวนน้อย ทำให้มีข้อจำกัดในการสรุปผล

สำหรับผลตรวจทางห้องปฏิบัติการพบว่าค่าเอโนโกรูบินในกลุ่มผู้ป่วยที่มีมะเร็งร่วมมีค่าต่ำกว่ากลุ่มที่ไม่มีมะเร็งร่วมอย่างมีนัยสำคัญทางสถิติ ($p<0.001$) คิดว่าเกิดจากในกลุ่มมะเร็งร่วมมีเรื่องของภาวะซีดจากโรคเรื้อรังและจากโรคมะเร็งเองร่วมด้วย

การศึกษานี้ สามารถนำไปประยุกต์ใช้โดยการดูระบาดวิทยาในประเทศไทย โดยจากการศึกษานี้พบภาวะมะเร็งในหลอดเลือดดำอุดตันถึงร้อยละ 47 ซึ่งมากกว่าที่พบในต่างประเทศ ดังนั้นจึงควรพยายามค้นหามะเร็งร่วมในผู้ป่วยโรคหลอดเลือดดำอุดตันเสมอ รวมถึงพนภภาวะแทรกซ้อนเลือดออกหลังการรักษาค่อนข้างมาก จึงควรเฝ้าระวังและติดตามอย่างใกล้ชิดขณะให้การรักษาด้วย anticoagulant

การศึกษานี้มีข้อจำกัดเนื่องจากเป็นการศึกษาแบบข้อมูลหลัง ทำให้ข้อมูลที่บันทึกไว้ในเวชระเบียนอาจไม่สมบูรณ์ โดยเฉพาะในส่วนของผลการสืบค้นชนิดของเซลล์มะเร็ง ระยะของมะเร็ง และการรักษา มะเร็งที่ได้รับมาก่อนหน้านี้ และกลุ่มผู้ป่วยมีจำนวนน้อย ทำให้มีข้อจำกัดในการสรุปผลที่แน่นอน จึงควร มีการศึกษาแบบไปข้างหน้า หรือทำการศึกษาเพิ่มเติมโดยมีการติดตามผู้ป่วยหลังได้รับการvinijally ภาวะหลอดเลือดดำอุดตันและหลังการรักษาในครั้งนี้ต่อไป

เอกสารอ้างอิง

- Nordstrom M,Lindblad B, Bergqvist D,Kjellstrom T. A perspective study of the incidence of deep vein thrombosis within a defined urban population. J intern Med 1992;232:155-60.
- Atthakorn Wutthimanop and Ponlapat Rojnuckarin Clinical characteristics of malignancy-related versus non-malignancy-related venous thromboembolism. J Hematol Transfus Med 2009;19(4).
- Piccioli A, Lensing AWA, Prins MH, et al. Extensive screening for occult malignant disease in idiopathic venous thromboembolism: a prospective randomized clinical trial. J Thromb Haemost 2004;2:884-9.
- Falanga A. and Zacharski L. Deep vein thrombosis in cancer: the scale of the problem and approaches to management. Ann Oncol 2005;16:696-701.
- Levine MN, Hirsh J, et al. The thrombogenic effect of anticancer drug therapy in women with stage II breast cancer. N Engl J Med 1988;318:404-7.

6. Saphner T, Tormey DC, Gray R. Venous and arterial thrombosis in patients who receive adjuvant therapy for breast cancer. *J Clin Oncol* 1991;9:286-94.
7. Clagett GP, Reisch JS. Prevention of venous thromboembolism in general surgical patients. *Ann Surg* 1988;208:227-40.
8. Prandoni P. Antithrombotic strategies in patients with cancer. *Thromb Haemost* 1997;78:141-4.
9. Samama MM. An epidemiologic study of risk factors for deep vein thrombosis in medical outpatients: the Sirius study. *Arch Intern Med* 2000;160:3415-20.
10. Levitan N, Dowlati A, Remick SC, et al. Rates of initial and recurrent thromboembolic disease among patients with malignancy versus those without malignancy. Risk analysis using Medicare claims data. *Medicine (Baltimore)* 1999;78:285-91.
11. Levine M, Gent M, Hirsh J, et al. A comparison of low-molecular-weight heparin administered primarily at home with unfractionated heparin administered in the hospital for proximal deep-vein thrombosis. *N Engl J Med* 1996;334:677-81.
12. Prandoni P, Lensing AW, Cogo A, et al. The long-term clinical course of acute deep venous thrombosis. *Ann Intern Med* 1996;125:1-7.
13. Carson JL, Kelley MA, Duff A, et al. The clinical course of pulmonary embolism. *N Engl J Med* 1992;326:1240-5.
14. Ageno W, Becattini C, Brighton T, Selby R, Kamphuisen PW. Cardiovascular risk factors and venous thromboembolism: a meta-analysis. *Circulation* 2008;117:93-102.
15. Imberti D, Agnelli G, Ageno W, Moia M, Palareti G, Pistelli R, et al. Clinical characteristics and management of cancer-associated acute venous thromboembolism: findings from the MASTER Registry. *Haematologica* 2008;93:273-8.
16. Luzzato G, Schafer AI. The prethrombotic state in cancer. *Semin Oncol* 1990;17:147-58.
17. Aamer Aleem¹*, Abdul Rahman Al Diab¹, Khalid Alsaleh¹, et al. Frequency, clinical pattern and outcome of thrombosis in cancer patients in Saudi Arabia. *Asian Pacific J Cancer Prevent* 2012;13.

Topic review

การศึกษาข้อนหลัง เปรียบเทียบการติดเชื้อสเตรปโตโคคัส โนบิส ใบโอทัยพ์สอง: ความสัมพันธ์กับโรคตับหรือทางเดินน้ำดี (a retrospective, case control study of *Streptococcus bovis* biotype II infection: an association with hepatobiliary diseases)

โสภิตา งานวงศ์วาน*

รองพงศ์ โพลัง lokale**

สุมาลี นิลเกต***

ชนิยฐา พัตรสุวรรณ***

ชุยณา สวนกระต่าย**

บทคัดย่อ

ที่มาของปัญหาการวิจัย

เป็นที่ทราบกันดีว่าการติดเชื้อสเตรปโตโคคัส โนบิส สัมพันธ์กับการเกิดลิ้นหัวใจอักเสบและโรคมะเร็งลำไส้ใหญ่ แต่เรื่มนี การศึกษาภายหลังพบว่า โรคตับหรือทางเดินน้ำดีอาจเป็นปัจจัยเดี่ยวในการติดเชื้อสเตรปโตโคคัส โนบิส ใบโอทัยพ์สอง

วัตถุประสงค์

เพื่อศึกษาว่าโรคตับหรือทางเดินน้ำดีมีความสัมพันธ์กับการติดเชื้อสเตรปโตโคคัส โนบิส ใบโอทัยพ์สอง หรือไม่ เมื่อเทียบกับสเตรปโตโคคัส โนบิส ใบโอทัยพ์หนึ่ง

ผู้ป่วยและวิธีการวิจัย

เป็นการศึกษาเชิงเปรียบเทียบ (retrospective case control study) ในผู้ป่วยที่มีอายุมากกว่าหรือเท่ากับ 15 ปี ที่มีผลเพาะเชื้อเป็นสเตรปโตโคคัส โนบิส จากตำแหน่งสิ่งส่งตรวจที่ปลอดเชื้อในโรงพยาบาลจุฬาลงกรณ์ กรุงเทพมหานคร ประเทศไทย ช่วง พ.ศ. 2548-2552 โดยรายที่ติดเชื้อสเตรปโตโคคัส โนบิส ใบโอทัยพ์สองเป็นกลุ่มศึกษา และรายที่ติดเชื้อสเตรปโตโคคัส โนบิส ใบโอทัยพ์หนึ่ง เป็นกลุ่มควบคุม

ผลการศึกษา

จากการเก็บข้อมูลผู้ป่วยจำนวนทั้งหมด 140 ราย แบ่งเป็นเพศชาย 75 ราย เพศหญิง 65 ราย ค่าอายุมัธยฐาน 61.36 ปี ค่าพิสัยอินเตอร์ควอไทล์ 50 และ 74 ปี เป็นกลุ่มศึกษา (เชื้อสเตรปโต-

*แพทย์ประจำบ้าน

ภาควิชาอายุรศาสตร์ คณะแพทยศาสตร์ จุฬาลงกรณ์มหาวิทยาลัย

**หน่วยโรคติดเชื้อ สาขาวิชาอายุรศาสตร์ ภาควิชาอายุรศาสตร์ คณะแพทยศาสตร์ จุฬาลงกรณ์มหาวิทยาลัย

***ภาควิชาจุลทรรศวิทยา คณะแพทยศาสตร์ จุฬาลงกรณ์มหาวิทยาลัย

คงคัลส์ โนบิส ไบโอดี้พ์ส่อง) 127 ราย และเป็นกลุ่มควบคุม (เชื้อสเตรปโตคอกคัลส์ โนบิส ไบโอดี้พ์ หนึ่ง) 13 ราย ไม่มีความแตกต่างอย่างมีนัยสำคัญทางสถิติในข้อมูลพื้นฐานระหว่าง 2 กลุ่ม อาการที่นำมาของผู้ป่วยทั้งสองกลุ่มไม่ต่างกัน ยกเว้นในกลุ่มสเตรปโตคอกคัลส์ โนบิส ไบโอดี้พ์หนึ่ง ที่ไม่มีอาการปวดท้องเลย แต่กลุ่มสเตรปโตคอกคัลส์ โนบิส ไบโอดี้พ์ส่องมีผู้ป่วยปวดท้องมากถึง 42 ราย (ร้อยละ 33.1) ($p=0.01$) มีผู้ป่วยที่มีเสียงหัวใจผิดปกติ (heart murmur) 5 ราย (ร้อยละ 38.5) และ 22 ราย (ร้อยละ 17.3) ในกลุ่ม สเตรปโตคอกคัลส์ โนบิส ไบโอดี้พ์หนึ่งและสอง ตามลำดับ

จากผู้ป่วย 13 รายในกลุ่ม สเตรปโตคอกคัลส์ โนบิส ไบโอดี้พ์หนึ่ง มีผู้ป่วยวินิจฉัยเป็น การติดเชื้อปฐมภูมิ ติดเชื้อเฉพาะที่ ติดเชื้อที่ลิ้นหัวใจ และติดเชื้อจากการมีสายสวนหลอดเลือดดำใหญ่ (central venous catheter-related blood stream infection, CRBSI) 9 ราย (ร้อยละ 69.2), 2 ราย (ร้อยละ 15.4), 1 ราย (ร้อยละ 7.7) และ 1 ราย (ร้อยละ 7.7) ตามลำดับ ใกล้เคียงกับผู้ป่วยกลุ่มสเตรปโตคอกคัลส์ โนบิส ไบโอดี้พ์ส่อง วินิจฉัยเป็นการติดเชื้อปฐมภูมิ, ติดเชื้อเฉพาะที่, ติดเชื้อที่ลิ้นหัวใจ และติดเชื้อการมีสายสวนหลอดเลือดดำใหญ่ 76 ราย (ร้อยละ 59.8), 44 ราย (ร้อยละ 34.6), 7 ราย (ร้อยละ 5.5) และ 0 ราย (ร้อยละ 0) ตามลำดับ

ในผู้ป่วย 140 ราย มีโรคประจำตัวเป็นโรคตับ 3 ราย (ร้อยละ 23.1) และ 53 ราย (ร้อยละ 41.7) ในกลุ่มสเตรปโตคอกคัลส์ โนบิส ไบโอดี้พ์หนึ่งและสอง ตามลำดับ ($p=0.19$) ในกลุ่มสเตรปโตคอกคัลส์ โนบิส ไบโอดี้พ์ส่อง มี 6 ราย (ร้อยละ 4.7) ขณะที่ไม่มีคนมีโรคประจำตัวทางเดินน้ำดีเลยในกลุ่มสเตรปโตคอกคัลส์ โนบิส ไบโอดี้พ์หนึ่ง รวมแล้วมีผู้ป่วยเป็นโรคตับและทางเดินน้ำดีในกลุ่มสเตรปโตคอกคัลส์ โนบิส ไบโอดี้พ์หนึ่ง 3 ราย (ร้อยละ 23.1) และ 59 ราย (ร้อยละ 46.5) ในกลุ่มสเตรปโตคอกคัลส์ โนบิส ไบโอดี้พ์ส่อง ($p=0.12$) มีผู้ป่วยที่ได้ส่องกล้องทางเดินอาหารส่วนล่างในกลุ่มสเตรปโตคอกคัลส์ โนบิส ไบโอดี้พ์หนึ่ง 3 ราย พบมะเร็งลำไส้ใหญ่ 2 ราย (ร้อยละ 66.6) ขณะที่กลุ่มสเตรปโตคอกคัลส์ โนบิส ไบโอดี้พ์ส่อง ได้ส่องกล้องทางเดินอาหารส่วนล่าง 12 ราย พบมะเร็งลำไส้ใหญ่ 2 ราย (ร้อยละ 16.7) พบตั้งเนื้อที่เสียด้วยการเกิดมะเร็ง 3 ราย (ร้อยละ 25) ตั้งเนื้อที่ไม่เป็นมะเร็ง 3 ราย (ร้อยละ 25) ในกลุ่มสเตรปโตคอกคัลส์ โนบิส ไบโอดี้พ์ส่อง ไม่มีความแตกต่างอย่างมีนัยสำคัญทางสถิติในจำนวนผู้ป่วยที่วินิจฉัยเป็นลิ้นหัวใจ อักเสบในกลุ่มสเตรปโตคอกคัลส์ โนบิส ไบโอดี้พ์หนึ่งและสองเป็น 1 ราย (ร้อยละ 7.7) และ 7 ราย (ร้อยละ 5.5) ตามลำดับ โดยทุกรายในทั้ง 2 กลุ่ม ไม่คือญาเพนนิชลินแลย มีอัตราการตายไม่ต่างกันเป็น 3 ราย (ร้อยละ 23.1) และ 30 ราย (ร้อยละ 23.6) ในกลุ่มไบโอดี้พ์หนึ่งและสอง ตามลำดับ

สรุปผลการศึกษา

มีความสัมพันธ์ระหว่างสเตรปโตคอกคัลส์ โนบิส ไบโอดี้พ์ส่องกับโรคทางเดินน้ำดี ตรงข้ามกับสเตรปโตคอกคัลส์ โนบิส ไบโอดี้พ์หนึ่งซึ่งไม่มีผู้ป่วยเป็นโรคทางเดินน้ำดีเลย

ความสำคัญที่มาของปัญหาการวิจัยและทบทวนวรรณกรรมที่เกี่ยวข้อง

เชื้อสเตรปโตคอกคัลส์ โนบิส (*Streptococcus bovis*) เป็นสเตรปโตคอกคัลส์กรุ๊ปดี (*Strepto-*

coccus group D) ซึ่งเดิมสามารถแบ่งตามไบโอดี้พ์หนึ่ง (สเตรปโตคอกคัลส์ โนบิส ไบโอดี้พ์หนึ่ง) และไบโอดี้พ์สอง (สเตรปโตคอกคัลส์ โนบิส แวนเรียน)¹ แต่ปัจจุบันแบ่งตามพันธุกรรมพบว่าเป็นคนละสาย

พันธุ์ในกลุ่มสเตรปโตโคคัลส์ โนวิส แบ่งเป็นสเตรป-โทโคคัลส์ โนวิส (*S. bovis*) สเตรปໂടโคคัลส์ วี-ไควนัส (*S. equinus*) สเตรปໂടโคคัลส์ เจลโล-ໄලทิกัลส์ (*S. gallolyticus*) สเตรปໂടโคคัลส์ พาส-ตูริโอนัส (*S. pasteurianus*) สเตรปໂಟโคคัลส์ อินแฟนทาริ厄ส (*S. infantarius*) และสเตรปໂട-โคคัลส์ ลูตีเทียนชิส (*S. lutetiensis*)^{2,3,4} เชื้อสเตรปໂടโคคัลส์ โนวิสเป็นเชื้อประจำถิ่นในกระเพาะของวัว⁵ และเป็นเชื้อประจำถิ่นในลำไส้ของคน ทางเข้าหลักของการติดเชื้อสเตรปໂടโคคัลส์ โนวิส ในกระเพัสเลือดที่เป็นได้มากที่สุดคือ ทางเดินอาหาร⁶ คนที่เป็นโรคลำไส้ใหญ่ หรือโรคดับที่มีปัญหาในการหลั่งเกลื่อน้ำดี หรือภูมิคุ้มกัน อาจทำให้เชื้อสเตรปໂടโคคัลส์ โนวิส เจริญเติบโตมากขึ้น และเข้าสู่ระบบไอลเวียนเลือดพอร์ทัล (portal venous system)⁷

จากการศึกษาในช่วงหลายปีที่ผ่านมา พนวณการมีสเตรปໂടโคคัลส์ โนวิส ในกระเพัสเลือดหรือลิ้นหัวใจอักเสบ มีความสัมพันธ์กับมะเร็งลำไส้ใหญ่ โดยในผู้ป่วยที่มีสเตรปໂटโคคัลส์ โนวิส ในกระเพัสเลือดหรือลิ้นหัวใจอักเสบ ตรวจพบมะเร็งลำไส้ใหญ่ ร้อยละ 16-32 โดยส่วนใหญ่เป็นการตรวจเพิ่มเติมหลังจากตรวจพบการติดเชื้อสเตรปໂടโคคัลส์ โนวิส⁸⁻¹⁴

นอกจากนี้ มีการศึกษาพบความสัมพันธ์ของสเตรปໂടโคคัลส์ โนวิสกับโรคในทางเดินอาหารอื่นๆ นอกจากโรคมะเร็งลำไส้ใหญ่ โดยเฉพาะการติดเชื้อในตับและทางเดินน้ำดี ดังใน พ.ศ. 2547 จำนวน 62 ราย ที่มีสเตรปໂടโคคัลส์ โนวิสในกระเพัสเลือดที่ประเทศได้วันระหว่าง พ.ศ. 2535-2544¹⁵ พนวณในกลุ่มที่มีเชื้อในกระเพัสเลือด การติดเชื้อในตับและทางเดินน้ำดี และเยื่อหุ้มช่องท้องอักเสบแบบปฐมภูมิ เพาะเชื้อเป็นสเตรปໂടโคคัลส์ โนวิสไบโอด้วยพัสดุ กิตเป็นร้อยละ 92 และร้อยละ 100 ตามลำดับ ใน

ขณะที่กลุ่มลิ้นหัวใจอักเสบเป็นสเตรปໂടโคคัลส์ โนวิสไบโอด้วยพัสดุหนึ่ง ร้อยละ 67

พ.ศ. 2553 มีรายงานการศึกษาการมีเชื้อสเตรปໂടโคคัลส์ โนวิสในกระเพัสเลือดที่ประเทศเป็นระหว่าง พ.ศ. 2540-2551¹⁶ มี 59 รายโดย 20 ราย (ร้อยละ 33.9) มีโรคดับเรื้อรัง 16 ราย (ร้อยละ 27.1) เป็นลิ้นหัวใจอักเสบ และ 14 ราย (ร้อยละ 23.1) มีทางเดินน้ำดีเป็นจุดกำเนิดของการมีเชื้อแบคทีเรียในกระเพัสเลือด

การศึกษาส่วนใหญ่ ที่ทำในประเทศไทย ตะวันตก พนวณการมีสเตรปໂടโคคัลส์ โนวิสในกระเพัสเลือดมีความสัมพันธ์กับการเกิดลิ้นหัวใจอักเสบ และมะเร็งลำไส้ใหญ่ดังที่กล่าวมาแล้ว แต่จากการศึกษาในภูมิภาคอเมริกาพบว่าการมี สเตรปໂടโคคัลส์ โนวิสในกระเพัสเลือด มีความสัมพันธ์กับโรคทางเดินน้ำดี และทางเดินน้ำดีอักเสบและหรือถุงน้ำดีอักเสบ ดังรายงานเมื่อ พ.ศ. 2546 รอดูเนย์และคณะได้รายงานผลการศึกษาข้อนหลังในผู้ป่วย 37 ราย ที่ผลเพาะเชื้อในเลือดเป็นสเตรปໂടโคคัลส์ โนวิสที่ประเทศช่องกระหงระหว่าง พ.ศ. 2539-2544¹⁷ มีผู้ป่วยมีโรคประจำตัวเป็นโรคดับ 7 ราย (ร้อยละ 19) โรคทางเดินน้ำดี 14 ราย (ร้อยละ 38) มะเร็งลำไส้ใหญ่ 4 ราย (ร้อยละ 11) และโรคทางเดินอาหารส่วนล่างที่ไม่ใช้มะเร็ง 1 ราย (ร้อยละ 3) มีผู้ป่วยที่มีเชื้อแบคทีเรียในกระเพัสเลือดแบบปฐมภูมิ 15 ราย (ร้อยละ 41) มีทางเดินน้ำดีอักเสบหรือถุงน้ำดีอักเสบ 14 ราย (ร้อยละ 38) มีลิ้นหัวใจอักเสบเพียง 4 ราย (ร้อยละ 11) เป็นสเตรปໂടโคคัลส์ โนวิส ไบโอด้วยพัสดุหนึ่ง 2 ราย (ร้อยละ 5) สเตรปໂടโคคัลส์ โนวิสไบโอด้วยพัสดุสองหนึ่ง (*S. bovis* biotype II/1) 3 ราย (ร้อยละ 8) และสเตรปໂടโคคัลส์ โนวิสไบโอด้วยพัสดุสอง (*S. bovis* biotype II/2) 32 ราย (ร้อยละ 87)

ในประเทศไทยมีการรายงานเกี่ยวกับการ

เกิดเมื่อหุ้มช่องท้องอักเสบแบบปฐมภูมิ และสเตรปโตค็อกคัส โนบิส เมื่อ พ.ศ. 2544 รัฐกรและคณะ¹⁸ ได้รายงาน สเตรปโตค็อกคัส โนบิสเป็นสาเหตุของ การเกิดเมื่อหุ้มช่องท้องอักเสบแบบปฐมภูมิในผู้ป่วย โรคตับแข็งระยะท้าย (decompensated cirrhosis) 7 ราย ในโรงพยาบาลจุฬาลงกรณ์ แต่ก็ยังไม่เคลมว่า รายงานการศึกษาเกี่ยวกับความสัมพันธ์ของโรคตับ หรือทางเดินน้ำดีในผู้ป่วยที่ติดเชื้อสเตรปโตค็อกคัส โนบิส ในประเทศไทยเกิดขึ้น

ปัจจุบันการติดเชื้อสเตรปโตค็อกคัส โนบิส ในประเทศไทยสามารถพบได้เรื่อยๆ ขณะที่ข้อมูล เกี่ยวกับความสัมพันธ์ของโรคตับหรือทางเดินน้ำดี กับ เชื้อสเตรปโตค็อกคัส โนบิสยังมีน้อย การศึกษา ความสัมพันธ์ของโรคตับหรือทางเดินน้ำดีกับการติด เชื้อสเตรปโตค็อกคัส โนบิส ในโอห์พ์หนึ่งและสอง จึงเกิดขึ้น

วัตถุประสงค์ของการศึกษาและระเบียบวิธี การวิจัย

• คำถามการวิจัย

คำถามหลัก โรคตับหรือทางเดินน้ำดีมี ความสัมพันธ์กับการติดเชื้อสเตรปโตค็อกคัส โนบิส ในโอห์พ์สองหรือไม่ เมื่อเทียบกับสเตรปโตค็อกคัส โนบิส ในโอห์พ์หนึ่ง

คำถามรอง โรคตับหรือทางเดินน้ำดีมีความ สัมพันธ์กับการติดเชื้อสเตรปโตค็อกคัส โนบิส ในโ อห์พ์สองสับทัยพ์สองหรือไม่ เมื่อเทียบกับสเตรปโตค็อกคัส โนบิส ในโอห์พ์สองสับทัยพ์หนึ่ง

• รูปแบบการวิจัย

เป็นการศึกษาเชิงเปรียบเทียบ (retrospective case control study)

• ประชากรเป้าหมาย

ผู้ป่วยที่มีอายุมากกว่าหรือเท่ากับ 15 ปี ที่ มีผลเพาะเชื้อเป็นเชื้อสเตรปโตค็อกคัส โนบิส จาก

ตำแหน่งสิ่งส่งตรวจปลอดเชื้อ (sterile site) ใน โรงพยาบาลจุฬาลงกรณ์ ระหว่าง พ.ศ. 2548-2552

• คำนิยามเชิงปฏิบัติการ

การติดเชื้oSเตรปโตค็อกคัส โนบิสแบบ ปฐมภูมิ (*S. bovis* primary infection) หมายถึง การติดเชื้อจากโนบิสที่ไม่มีตำแหน่งทางเข้าของการติดเชื้อร่วมทั้งการติดเชื้อไม่ทราบสาเหตุในผู้ป่วยที่มี เม็ดเลือดขาวต่ำภายหลังได้ยาเคมีบำบัด (febrile neutropenia)

โรคตับหรือทางเดินน้ำดี หมายถึง โรคเรื้อรัง ที่เกี่ยวข้องกับตับหรือทางเดินน้ำดี เช่น โรคตับ อักเสบเรื้อรัง โรคตับแข็ง โรคไขมันในตับ โรคมะเร็งตับ โรคนิ่วในตับหรือทางเดินน้ำดี โรคมะเร็งทางเดินน้ำดี ไม่รวมถึงโรคมะเร็งอื่นๆ ที่กระายมาตับ

• การรวมรวมข้อมูล

สืบค้นจากห้องจุลชีววิทยาและเวชระเบียน ผู้ป่วยในโรงพยาบาลจุฬาลงกรณ์

• การคำนวณขนาดตัวอย่าง (sample size estimation)

$$N = [Z_{\alpha/2} \sqrt{2PQ + Z_p \sqrt{(P_1Q_1 + P_0Q_0)}}]^2 / (P_1 - P_0)^2$$

$$\text{กำหนด } \alpha = 0.05, Z_{\alpha/2} = 1.96$$

$$\text{Power การทดสอบ} = 90\%, \beta = 0.10,$$

$$Z_\beta = 1.28$$

$$P_1 = P_0R / (1 + P_0(R-1)),$$

$$P = (P_1 + P_0)/2, Q = 1 - P$$

จากการศึกษานำร่องโดยคณะผู้ศึกษา (pilot study) จำนวน 56 ราย ได้ R=odds ratio=2.8

P_0 อัตราการมีโรคตับหรือทางเดินน้ำดีใน กลุ่ม control (*S. bovis* typeI)=0.2

$$N = [1.96 \sqrt{2 \times 0.3 \times 0.7 + 1.28 \sqrt{(0.41 \times 0.59 + 0.2 \times 0.8)}}]^2 / (0.41 - 0.2)^2 = 97$$

• การวิเคราะห์ข้อมูลทางสถิติ

ข้อมูลพื้นฐานและตัวแปรที่เป็นข้อมูลเชิง คุณภาพ เช่น เพศ โรคประจำตัว อาการและอาการ

แสดง ผลการเพาะเชื้อ นำเสนอเป็นจำนวนร้อยละ
เปรียบเทียบข้อมูลโดยใช้การทดสอบไคสแควร์ (chi-square test) ข้อมูลเชิงปริมาณ เช่น อายุ ใช้การ
ทดสอบสถิติที่แบบตัวอย่างอิสระ (undependent T test)

ผลการวิจัย

จากการเก็บข้อมูลผู้ป่วยจำนวนทั้งหมด 140 ราย แบ่งเป็นเพศชาย 75 ราย เพศหญิง 65 ราย ค่า
อายุเฉลี่ย 61.36 ปี ค่าพิสัยอินเตอร์ควอไทล์ 50 และ 74 ปี เป็นกลุ่มศึกษา (เชื้อสเตรปโตโคคัล โนวิส ไบโอด้วยพื้นที่) 127 ราย และเป็นกลุ่มควบคุม
(เชื้อสเตรปโตโคคัล โนวิส ไบโอด้วยพื้นที่) 13 ราย

ไม่มีความแตกต่างอย่างมีนัยสำคัญทางสถิติในข้อมูล
พื้นฐานระหว่าง 2 กลุ่ม เป็นเพศชาย 5 ราย (ร้อยละ 8.5) เพศหญิง 8 ราย (ร้อยละ 61.5) ในกลุ่มสเตรป-
โตโคคัล โนวิส ไบโอด้วยพื้นที่ และเป็นเพศชาย 70 ราย (ร้อยละ 55.1) เพศหญิง 57 ราย (ร้อยละ 44.9)
ในกลุ่มสเตรปโตโคคัล โนวิส ไบโอด้วยพื้นที่ มีอายุ
เฉลี่ย 67 ค่าพิสัยอินเตอร์ควอไทล์ 49.5 และ 82.5
ปี และ 65 ปี ค่าพิสัยอินเตอร์ควอไทล์ 50 และ 74 ปี
ในกลุ่มสเตรปโตโคคัล โนวิส ไบโอด้วยพื้นที่และ
สองตามลำดับ โดยในกลุ่มสเตรปโตโคคัล โนวิส
ไบโอด้วยพื้นที่มากจากภาคกลาง 10 ราย (ร้อยละ
76.9) กลุ่มสเตรปโตโคคัล โนวิส ไบโอด้วยพื้นที่
113 ราย (ร้อยละ 89) ดังแสดงในตารางที่ 1

ตารางที่ 1. Characteristics of patients in both *S. bovis* biotype I, biotype II and biotype II/1 and biotype II/2

Characteristics	Species			P value
	<i>S. bovis</i> biotype I N (%)	<i>S. bovis</i> biotype II II/1 N (%)	<i>S. bovis</i> biotype II II/2 N (%)	
Sex				0.25/0.26
Male	5 (38.5)	2 (100)	51 (54.8)	70 (55.1)
Female	8 (61.5)	0 (0)	42 (45.2)	57 (44.9)
Median age (yr)	67	67	65	65
IQR age (yr)	49.5,82.5	NA	48.5,74	50,74
Region				0.30/0.32
Northern	1 (7.7)	0 (0)	2 (2.2)	2 (1.6)
Central	10 (76.9)	2 (100)	84 (90.3)	113 (89)
Northeastern	2 (15.4)	0 (0)	5 (5.4)	9 (7.1)
Southern	0 (0)	0 (0)	2 (2.2)	3 (2.1)
Occupation				0.06/0.06
Farmer	1 (7.7)	0 (0)	0 (0)	0 (0)
Employee	3 (23.1)	1 (50)	13 (14)	20 (15.7)
Officer	0 (0)	0 (0)	0 (0)	1 (0.7)
Merchant	0 (0)	0 (0)	2 (2.2)	2 (1.4)
Student	0 (0)	0 (0)	4 (4.3)	5 (3.9)
Own business	3 (23.1)	0 (0)	8 (8.6)	13 (10.2)
Government officer	1 (7.7)	0 (0)	16 (17.2)	17 (13.4)
Others	5 (38.5)	1 (50)	50 (53.8)	69 (54.3)

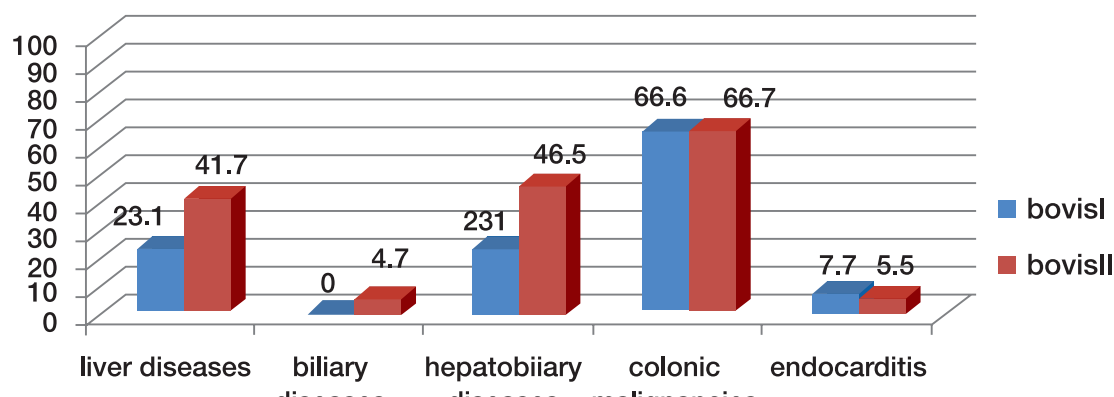
ตารางที่ 1 (ต่อ). Characteristics of patients in both *S. bovis* biotype I, biotype II and biotype II/1 and biotype II/2

Characteristics	Species				P value I vs II / I vs II/2	
	<i>S. bovis</i> biotype I N (%)	<i>S. bovis</i> biotype II				
		II/1 N (%)	II/2 N (%)	Total N (%)		
Liver disease	3 (23.1)	1 (50)	38 (40.9)	53 (41.7)	0.19/0.21	
Cirrhosis	3 (23.1)	1 (50)	36 (38.7)	51 (40.2)	0.23/0.27	
Child A	1 (7.7)	0 (0)	5 (5.4)	6 (4.7)	0.64/0.44	
Child B	1 (7.7)	0 (0)	14 (15.1)	20 (16.5)	0.44/0.48	
Child C	1 (7.7)	1 (50)	17 (18.3)	25 (19.7)	0.29/0.34	
Cause						
Alcohol	2 (15.4)	0 (0)	10 (10.8)	14 (11.0)	0.64/0.62	
HBV	2 (15.4)	0 (0)	8 (8.6)	10 (7.9)	0.36/0.43	
HCV	0 (0)	0 (0)	11 (11.8)	14 (11.0)	NA	
NASH	0 (0)	0 (0)	0 (0)	0 (0)	NA	
Cryptogenic	0 (0)	0 (0)	9 (9.7)	13 (10.2)	NA	
Others	0 (0)	1 (50)	2 (2.2)	3 (2.4)	0.44/0.43	
Hepatoma	0 (0)	0 (0)	5 (5.4)	8 (6.3)	NA	
Biliary tract disease	0 (0)	0 (0)	5 (5.4)	6 (4.7)	NA	
Gall stone	0 (0)	0 (0)	3 (3.2)	3 (2.4)		
CBD stone	0 (0)	0 (0)	2 (2.2)	3 (2.4)		
IHD stone	0 (0)	0 (0)	1 (1.1)	1 (0.8)		
Hepatobiliary tract	3 (23.1)	1 (50)	43 (46.2)	59 (46.5)	0.12/0.13	
Colonic disease*	2 (66.6)	0 (0)	6 (60.0)	8 (66.7)	0.41/0.40	
Cancer	2 (66.6)	0 (0)	2 (16.7)	2 (16.7)	0.08/NA	
Premalignant lesion	0 (0)	0 (0)	1 (10)	3 (25.0)	NA	
Others	0 (0)	0 (0)	3 (25.0)	3 (25.0)	NA	
N colonoscope	3	1	10	12		
Kidney disease	6 (46.2)	0 (0)	14 (15.1)	17 (13.4)	<0.05/<0.05	
CNS disease	1 (7.7)	0 (0)	6 (6.5)	9 (7.1)	0.936/0.86	
DM	4 (30.8)	0 (0)	25 (26.9)	37 (29.1)	0.90/0.76	
HIV	0 (0)	0 (0)	1 (1.1)	1 (0.8)	0.75/0.70	
Malignancy						
Hematologic	1 (7.7)	0 (0)	6 (6.5)	6 (4.7)	0.64/0.86	
Other solid tumors	1 (7.7)	0 (0)	9 (9.7)	13 (10.2)	0.77/0.81	
Autoimmune disease	0(0)	0 (0)	6 (6.5)	7 (5.5)	0.39/0.34	
Immunosuppressive agent	1 (7.7)	0 (0)	12 (12.9)	13 (10.2)	0.78/0.59	

% of patient who underwent colonoscopes

มีผู้ป่วยติดเชื้อสเตรปโตโคคัลส์ โนวิส ไบโอดีพ์หนึ่ง มีโรคประจำตัวเป็นโรคตับ 3 ราย (ร้อยละ 23.1) เป็นตับแข็งทั้งหมด 3 ราย (ร้อยละ 23.1) เป็นชายด์ เอ (child A) 1 ราย (ร้อยละ 7.7) ชายด์บี (child B) 1 ราย (ร้อยละ 7.7) ชายด์ซี (child C) 1 ราย (ร้อยละ 7.7) สาเหตุจากแอลกอฮอล์ 2 ราย (ร้อยละ 15.4) ติดเชื้อไวรัสตับบี 2 ราย (ร้อยละ 15.4) และไม่มีรายที่ไม่ทราบสาเหตุ ไม่มีใครเป็นโรคมะเร็งตับ ขณะที่ในกลุ่มสเตรปโตโคคัลส์ โนวิส ไบโอดีพ์สอง มีโรคประจำตัวเป็นโรคตับ 53 ราย (ร้อยละ 41.7) เป็นตับแข็งทั้งหมด 51 ราย เป็นชายด์ เอ (child A) 6 ราย (ร้อยละ 4.7) ชายด์บี (child B) 20 ราย (ร้อยละ 16.5) ชายด์ซี (child C) 25 ราย (ร้อยละ 19.7) สาเหตุจากแอลกอฮอล์ 14 ราย (ร้อยละ 11) ติดเชื้อไวรัสตับบี 10 ราย (ร้อยละ 7.9) เชื้อไวรัสตับซี 14 ราย (ร้อยละ 11) และไม่ทราบสาเหตุ 13 ราย (ร้อยละ 10.2) สาเหตุอื่นๆ 3 ราย (ร้อยละ 2.4) เช่น โรควิลสัน ตับอักเสบจากภูมิคุ้มกันตัวเอง และมีคนเป็นโรคมะเร็งตับ 8 ราย (ร้อยละ 6.3) มีผู้ป่วยที่มีโรคประจำตัวทางเดินน้ำดีในกลุ่มสเตรปโตโคคัลส์ โนวิส ไบโอดีพ์สอง 6 ราย (ร้อยละ 4.7) เป็นนิ่วในถุงน้ำดี 3 ราย (ร้อยละ 2.4) นิ่วในท่อทางเดิน

น้ำดีหลัก (common bile duct) 3 ราย (ร้อยละ 2.4) นิ่วในท่อทางเดินน้ำดีในตับ (intrahepatic bile duct) 1 ราย (ร้อยละ 0.8) ขณะที่ไม่มีคนมีโรคประจำตัวทางเดินน้ำดีเลย์ในกลุ่มสเตรปโตโคคัลส์ โนวิส ไบโอดีพ์หนึ่ง รวมแล้วมีผู้ป่วยเป็นโรคตับ และทางเดินน้ำดีในกลุ่มสเตรปโตโคคัลส์ โนวิส ไบโอดีพ์สอง 3 ราย (ร้อยละ 23.1) และ 59 ราย (ร้อยละ 46.5) ในกลุ่มสเตรปโตโคคัลส์ โนวิส ไบโอดีพ์สองโดยทั้งสองกลุ่มไม่แตกต่างกันทางสถิติ ดังรูปที่ 1 มีผู้ป่วยที่ได้ส่องกล้องทางเดินอาหารสำรวจล่างในกลุ่มสเตรปโตโคคัลส์ โนวิส ไบโอดีพ์หนึ่ง 3 ราย พบมะเร็งลำไส้ใหญ่ 2 ราย (ร้อยละ 66.7) ขณะที่กลุ่มสเตรปโตโคคัลส์ โนวิส ไบโอดีพ์สอง ได้ส่องกล้องทางเดินอาหารสำรวจล่าง 12 ราย พบมะเร็งลำไส้ใหญ่ 2 ราย (ร้อยละ 16.7) พบตั้งเนื้อที่เสื่อมต่อการเกิดมะเร็ง 3 ราย (ร้อยละ 25) ตั้งเนื้อที่ไม่เป็นมะเร็ง 3 ราย (ร้อยละ 25) ในกลุ่มสเตรปโตโคคัลส์ โนวิส ไบโอดีพ์สอง โรคประจำตัวที่พบได้บ่อย ได้แก่ โรคหัวใจ โรคตับ โรคเบาหวาน เป็น 6 ราย (ร้อยละ 46.2), 6 ราย (ร้อยละ 46.2), 4 ราย (ร้อยละ 30.8) ตามลำดับ ในกลุ่มสเตรปโตโคคัลส์ โนวิส ไบโอดีพ์หนึ่ง และคิดเป็น 31 ราย



รูปที่ 1. Percentage of underlying of patients compare in 2 groups

(ร้อยละ 24.4), 17 ราย (ร้อยละ 13.4) และ 37 ราย (ร้อยละ 29.1) ตามลำดับ ในกลุ่มสเตรปโตโคคัลส์ โนบิส ไบโอทัยพ์สอง

อาการที่นำมากองผู้ป่วยทั้งสองกลุ่มนี้ต่างกัน ยกเว้นในกลุ่มสเตรปโตโคคัลส์ โนบิส ไบโอทัยพ์หนึ่งที่ไม่มีอาการปวดท้องเลยแต่กลุ่มสเตรปโตโคคัลส์ โนบิส ไบโอทัยพ์สองมีผู้ป่วยปวดท้องมากถึง 42 ราย (ร้อยละ 33.1 p=0.01) ดังแสดงในตารางที่ 2 และถ้าเทียบในกลุ่มสเตรปโตโคคัลส์ โนบิส ไบโอทัยพ์สอง พบว่ามีอาการคลื่นไส้อาเจียน 0 ราย (ร้อยละ 0) และ 27 ราย (ร้อยละ 21.3) ตามลำดับ (p<0.05)

ผลตรวจร่างกายผู้ป่วยทั้ง 2 กลุ่ม ไม่มีความ

ต่างกันอย่างมีนัยสำคัญทางสถิติ โดยผู้ป่วยในกลุ่มสเตรปโตโคคัลส์ โนบิส ไบโอทัยพ์หนึ่ง มีอุณหภูมิเฉลี่ยที่ 37.8°ซีเซลจ 91 ครั้งต่อนาที หายใจ 19 ครั้งต่อนาที ความดันอยู่ที่ 112/63 มม.ปรอท ใกล้เคียงกับกลุ่มสเตรปโตโคคัลส์ โนบิส ไบโอทัยพ์สอง ดังตารางที่ 3 มีผู้ป่วยที่มีเสียงหัวใจผิดปกติ (heart murmur) และอาการแสดงของโรคตับเรื้อรัง (chronic liver stigmata) 5 ราย (ร้อยละ 38.5) และ 3 ราย (ร้อยละ 23.1) ตามลำดับ ในกลุ่มสเตรปโตโคคัลส์ โนบิส ไบโอทัยพ์หนึ่ง และ 22 ราย (ร้อยละ 17.3) และ 50 ราย (ร้อยละ 59.3) ตามลำดับ ในกลุ่มสเตรปโตโคคัลส์ โนบิส ไบโอทัยพ์สอง

ตารางที่ 2. Symptoms of patients at the time at presentation

Symptoms	Species				P value I vs II / I vs II/2
	<i>S. bovis</i> biotype I		<i>S. bovis</i> biotype II		
	N (%)	II/1 N (%)	II/2 N (%)	Total N (%)	
Fever	10 (76.9)	1 (50)	70 (75.3)	93 (73.2)	0.77/0.89
Chill	4 (30.8)	1 (50)	31 (33.3)	37 (29.1)	0.90/0.85
Jaundice	1 (7.7)	1 (50)	4 (4.3)	9 (7.1)	0.94/0.58
Abdominal pain	0 (0)	1 (50)	32 (34.4)	42 (33.1)	0.01/0.11
Abdominal discomfort	1 (7.7)	1 (50)	14 (15.1)	25 (19.7)	0.29/0.47
Diarrhea	1 (7.7)	2 (100)	26 (28)	38 (29.9)	0.09/0.11
Nausea/vomiting	0 (0)	0 (0)	23 (24.7)	27 (21.3)	0.06/<0.05
UGIB	1 (7.7)	0 (0)	8 (8.6)	9 (7.1)	0.94/0.91
LGIB	0 (0)	0 (0)	2 (2.2)	2 (1.6)	0.65/0.59
Change in mental status	5 (38.5)	0 (0)	17 (18.3)	26 (20.5)	0.14/0.09
Oliguria	1 (7.7)	1 (50)	8 (8.6)	15 (11.8)	0.66/0.91
Dysuria	1 (7.7)	0 (0)	1 (1.1)	3 (2.4)	0.27/0.10
Cough	0 (0)	0 (0)	7 (7.5)	10 (7.9)	??0/0.98
Dyspnea	2 (15.4)	1 (50)	23 (24.7)	33 (26.0)	0.40/0.25
Headache	0 (0)	0 (0)	1 (1.1)	1 (0.8)	0.75/0.70
Seizure	0 (0)	0 (0)	1 (1.1)	2 (1.6)	0.65/0.707
Rash	0 (0)	0 (0)	1 (1.1)	1 (0.8)	0.75/0.70

ตารางที่ 2 (ต่อ). Symptoms of patients at the time at presentation

Symptoms	Species				P value I vs II / I vs II/2	
	<i>S. bovis</i> biotype I N (%)	<i>S. bovis</i> biotype II				
		II/1 N (%)	II/2 N (%)	Total N (%)		
Arthalgia	1 (7.7)	0 (0)	4 (4.3)	5 (3.9)	0.52/0.58	
Back pain	2 (15.4)	0 (0)	3 (3.2)	5 (3.9)	0.07/0.05	
Weight loss	0 (0)	1 (50)	4 (4.3)	7 (5.0)	0.39/0.44	
Other symptoms	2 (15.4)	1 (50)	2 (2.2)	7 (5.5)	0.17/0.19	
Duration of illness					0.95/0.98	
<25 hr	3 (23.1)	0 (0)	23 (24.7)	33 (26.0)		
24-72 hr	4 (30.8)	1 (50)	27 (29.0)	34 (26.8)		
>72 hr	6 (46.2)	1 (50)	43 (46.2)	60 (47.2)		

ตารางที่ 3. Physical examination of patients at the time of presentation

Physical examination	Species				P value I vs II / I vs II/2	
	<i>S. bovis</i> biotype I N (%)	<i>S. bovis</i> biotype II				
		II/1 N (%)	II/2 N (%)	Total N (%)		
Body temperature (°c)	37.82+/-0.93	37.15+/- 1.63	37.77+/-1.03	37.81+/-0.9	0.60/0.81	
Pulse rate (bpm)	91.23+/-29.88	110+/- 14.14	92.87+/-22.27	91.23+/-29.8	0.65/0.49	
Systolic blood pressure (mmHg)	112.46+/-25.69	112.5+/-14.85	110.06+/-25.49	112.46+/-25.7	0.84/0.39	
Diastolic blood pressure (mmHg)	63.01+/-14.37	65.10+/-16.97	67.13+/-58.01	63.03+/-14.4	0.81/0.89	
Respiratory rate (per minute)	19.77+/-3.56	20.21+/-5.66	22.22+/-4.58	19.77+/-3.6	0.15/0.16	
Pale	6 (46.2)	1 (50)	50 (53.7)	71 (55.9)	0.50/0.60	
Icteric sclerae	2 (15.4)	1 (50)	31 (33.5)	42 (33.1)	0.19/0.19	
Heart murmur	5 (38.5)	1 (50)	15 (16.1)	22 (17.3)	0.07/0.05	
Lung adventitious sound	5 (38.5)	1 (50)	23 (24.7)	30 (23.6)	0.24/0.29	
Abdominal distension	2 (15.4)	2 (100)	36 (39.1)	54 (42.9)	0.06/0.09	
Bowel sound					0.650.39	
Normal	13 (100)	2 (100)	88 (94.6)	119 (93.7)		
Absent	0 (0)	0 (0)	0 (0)	2 (1.6)		
Hypoactive	0 (0)	0 (0)	5 (5.4)	6 (4.7)		
RUQ tenderness	0 (0)	1 (50)	7 (7.6)	11 (8.7)	0.27/0.30	

ตารางที่ 3 (ต่อ). Physical examination of patients at the time of presentation

Physical examination	Species				P value I vs II / I vs II/2	
	<i>S. bovis</i> biotype I		<i>S. bovis</i> biotype II			
	N (%)	II/1 N (%)	II/2 N (%)	Total N (%)		
Murphy's sign	0 (0)	0 (0)	1 (1.1)	1 (0.8)	0.75/0.70	
Generalized tenderness	0 (0)	0 (0)	12 (12.9)	17 (13.4)	0.16/0.16	
Rebound tenderness	0 (0)	0 (0)	8 (8.6)	10 (7.9)	0.29/0.27	
Guarding	0 (0)	0 (0)	4 (4.3)	5 (3.9)	0.46/0.44	
Hepatomegaly	2 (15.4)	2 (100)	17 (18.3)	22 (17.3)	0.86/0.79	
Chronic liver stigmata	3 (23.1)	2 (100)	34 (36.6)	50 (39.4)	0.25/0.33	
Portal HT sign	2 (15.4)	2 (100)	29 (31.2)	45 (35.4)	0.15/0.24	
Ascites	2 (15.4)	2 (100)	27 (29)	45 (33.9)	0.17/0.03	
Splenomegaly	1 (7.7)	1 (50)	20 (21.5)	29 (22.8)	0.21/0.24	
Caput medusa	0 (0)	0 (0)	3 (3.2)	3 (2.4)	0.58/0.51	
Gynecomastia	0 (0)	1 (50)	4 (4.3)	6 (4.8)	0.42/0.44	
Enlarged parotid glands	1 (7.7)	0 (0)	3 (3.3)	5 (4.0)	0.53/0.43	
Palmar erythema	2 (15.4)	2 (100)	17 (18.3)	23 (18.1)	0.80/0.79	
Spider nevi	1 (7.7)	2 (100)	18 (19.4)	24 (18.9)	0.32/0.30	
Embolic phenomenon	0 (0)	0 (0)	1 (1.1)	5 (3.9)	0.47/0.51	
Immunologic phenomenon	0 (0)	0 (0)	1 (1.1)	1 (0.8)	0.75/0.51	
Other signs	1 (7.7)	0 (0)	3 (3.2)	7 (5.5)	0.75/0.42	

ผู้ป่วยที่ดีดเชื้อสเตรปโตโคคัลส์ โนบิสทั้ง 2 กลุ่มมีผลตรวจเพิ่มเติมไม่แตกต่างกัน โดยเฉพาะเชื้อขึ้นในกระแสเลือด 13 ราย (ร้อยละ 100) ในกลุ่มสเตรปโตโคคัลส์ โนบิส ไบโอทัยพ์หนึ่ง และ 125 ราย (ร้อยละ 98.4) ในสเตรปโตโคคัลส์ โนบิส ไบโอทัยพ์สอง ดังตารางที่ 4 โดยทั้ง 2 กลุ่มไม่ได้อํอต่อเพนิซิลลิน มีค่าความเข้มข้นต่ำสุดของสารที่สามารถยับยั้งการเจริญของเชื้อ (minimum inhibitory concentration) 0.22 และ 0.11 ในสเตรปโตโคคัลส์ โนบิส

ไบโอทัยพ์หนึ่ง และสเตรปโตโคคัลส์ โนบิส ไบโอทัยพ์สองตามลำดับ ผล阳性เชื้อจากที่อื่นๆ พบร้อย 1 ราย (ร้อยละ 7.7) จากน้ำไขข้อในสเตรปโตโคคัลส์ โนบิส ไบโอทัยพ์หนึ่ง ขณะที่สเตรปโตโคคัลส์ โนบิส ไบโอทัยพ์สอง阳性เชื้อขึ้น 28 ราย (ร้อยละ 22.1) จากน้ำ关节液มากที่สุด 25 ราย (ร้อยละ 19.7) จากน้ำไขข้อสันหลัง 1 ราย (ร้อยละ 0.8) จากน้ำไขข้อ 1 ราย (ร้อยละ 0.8) และจากปัสสาวะ 1 ราย (ร้อยละ 0.8) โดยเชื้อทั้งหมดไม่ได้อํอต่อเพนิซิลลิน

ตารางที่ 4. Investigations during admission

Investigations	Species				P value I vs II / I vs II/2	
	<i>S. bovis</i> biotype I N (%)	<i>S. bovis</i> biotype II				
		II/1 N (%)	II/2 N (%)	Total N (%)		
White count (cell/mm ³)	10409.23+/-3750.5	12810.00+/-	14744.77+/-3750.5	13561.84+/-	0.46/0.37	
% Neutrophil		3408.2	88.74+/-85.7	15202.2		
% Lymphocyte	77.33+/-22.8	88.95+/-5.6	13.17+/-15.0	91.72+/-105.2	0.62/0.64	
	9.33+/-4.4	6.60+/-2.7	5.54+/-10.3	14.52+/-17.4	0.29/0.36	
Hemoglobin (g/dL)	10.65+/-0.8	9.25+/-1.8	11.94+/-9.4	11.51+/-8.2	0.70/0.62	
Platelet (count/mm³)	186707.69+/-	132000.00+/-	155056.38+/-	154934.20+/-	0.35/0.34	
	101485.7	24041.6	112517.2	117987.6		
Blood urea nitrogen (mg/dL)	39.84+/-37.5	38.5+/-6.3	42.04+/-102.9	39.48+/-88.8	0.99/0.94	
Creatinine (mg/dL)	2.54+/-2.3	1.27+/-0.2	1.81+/-1.5	1.72+/-1.5	0.78/0.73	
Total bilirubin (mg/dL)	4.70+/-8.1	5.91+/-4.7	6.54+/-21.00	6.23+/-18.2	0.49/0.59	
Direct bilirubin (mg/dL)	3.12+/-6.2	4.04+/-4.6	2.97+/-6.5	3.16+/-6.3	0.98/0.89	
Aspartate amino- trasferase (mg/dL)	56.08+/-51.11	255.00+/-203.6	101.46+/-165.4	103.82+/-171.9	0.34/0.56	
Alanine transaminase (mg/dL)	38.33+/-28.3	46.00+/-18.3	64.53+/-100.9	62.34+/-95.1	0.38/0.38	
Alkaline phosphatase	149.58+/-82.1	137.5+/-37.4	157.52+/-160.3	150.00+/-143.0	0.99/0.87	
Albumin (mg/dL)	2.76+/-7.6	2.40+/-0.3	2.80+/-0.7	2.76+/-0.7	0.36/0.37	
Globulin (mg/dL)	3.57+/-7.6	3.3+/-0.0	4.34+/-2.8	4.15+/-2.5	0.57/0.50	
Prothrombin time (secs)	29.6+/-43.6	29.15+/-15.8	18.6+/-14.3	18.81+/-12.7	0.06/0.10	
International Normalized Ratio (INR)	1.32+/-0.4	2.25+/-1.2	1.41+/-0.5	1.46+/-0.5	0.42/0.55	
Partial thromboplastin time (secs)	31.58+/-6.9	39.75+/-2.5	30.67+/-10.4	31.34+/-11.1	0.95/0.79	
Blood Culture N(%)	13 (100)	2 (100)	93 (100)	125 (98.43)	0.33/0.20	
Blood MIC penicillin	0.22+/-0.4	0.05+/-0.2	0.11+/-0.2	0.11+/-0.2	0.05/0.55	
Blood MIC vancomycin	0.32+/-0.1	0.32+/-0.1	0.43+/-0.1	0.42+/-0.1	<0.05/<0.05	

ตารางที่ 4 (ต่อ). Investigations during admission

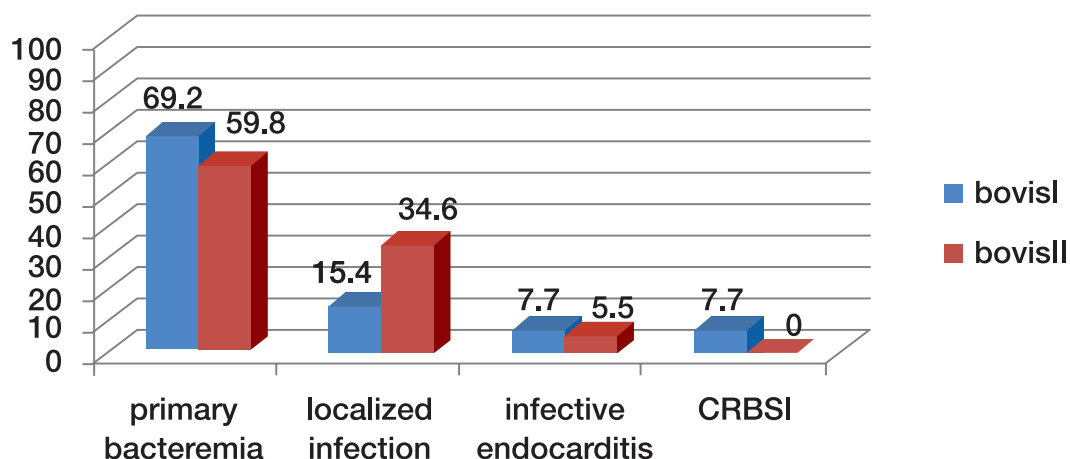
Investigations	Species				P value I vs II / I vs II/2	
	<i>S. bovis</i> biotype I N (%)	<i>S. bovis</i> biotype II				
		II/1 N (%)	II/2 N (%)	Total N (%)		
Blood MIC cefotaxime	0.06+-0.0	0.56+-0.0	0.57+-3.5	0.48+-3.0	0.07/0.13	
Blood MIC meropenem	0.11+-0.3	0.02+-0.0	0.07+-0.3	0.07+-0.3	0.62/0.69	
Other culture N(%)	1 (7.7)	0 (0)	21 (22.5)	28 (22.1)	0.14/0.22	
Ascetic fluid	0 (0)	0 (0)	18 (19.4)	25 (19.7)		
CSF	0 (0)	0 (0)	1 (1.1)	1 (0.8)		
Synovial fluid	1 (100)	0 (0)	1 (1.1)	1 (0.8)		
Urine	0 (0)	0 (0)	1 (1.1)	1 (0.8)		
Other MIC penicillin	NA	NA	0.09+-0.0	0.09+-0.0	NA/NA	
Other MIC vancomycin	NA	NA	0.41+-0.2	0.44+-0.2	NA/NA	
Other MIC cefotaxime	NA	NA	0.24+-0.1	0.23+-0.1	NA/NA	
Other MIC meropenem	NA	NA	0.03+-0.0	0.46+-0.1	NA/NA	
Ultrasound N(%)	0 (0)	2 (100)	16(17.2)	23 (18.1)	0.09/0.11	
ERCP N(%)	0 (0)	0 (0)	3 (3.2)	4 (3.1)	0.52/0.51	
Computer scan N(%)	1 (7.7)	1 (50)	17 (18.3)	24 (18.9)	0.32/0.34	
Echocardiogram N(%)	6 (46.2)	1 (50)	36 (38.7)	47 (37.0)	0.52/0.60	
Colonoscope N(%)	3 (23.1)	1 (50)	10 (10.8)	12 (9.4)	0.13/0.20	

ระหว่างนอนโรงพยาบาล มีการตรวจคืนเสียงหัวใจ (echocardiogram) ทั้งหมด 6 ราย (ร้อยละ 46.2) และมีการติดเชื้อที่ลินหัวใจ 1 ราย (ร้อยละ 7.7) ในกลุ่มสเตรปโตโคคัส โนวิส ไบโอด้วยพัฟฟ์สอง มากกว่ากลุ่มสเตรปโตโคคัส โนวิส ไบ-ไบโอด้วยพัฟฟ์สองที่มีการตรวจคืนเสียงหัวใจทั้งหมด 47 ราย (ร้อยละ 37) และมีการติดเชื้อที่ลินหัวใจ 7 ราย (ร้อยละ 5.5) แต่ไม่ได้ต่างกันมีความนัยสำคัญทางสถิติ

จากผู้ป่วย 13 รายในกลุ่มสเตรปโตโคคัส โนวิส ไบโอด้วยพัฟฟ์หนึ่ง มีผู้ป่วยวินิจฉัยเป็นการติดเชื้อปฐมภูมิ, ติดเชื้อเฉพาะที่, ติดเชื้อที่ลินหัวใจ และติดเชื้อจากการมีสายสวนหลอดเลือดดำในทั้ง 2 กลุ่ม รอดชีวิต

CRBSI) 9 ราย (ร้อยละ 69.2) 2 ราย (ร้อยละ 15.4) 1 ราย (ร้อยละ 7.7) และ 1 ราย (ร้อยละ 7.7) ตามลำดับ ใกล้เคียงกับผู้ป่วยกลุ่มสเตรปโตโคคัส โนวิส ไบโอด้วยพัฟฟ์สอง วินิจฉัยเป็นการติดเชื้อปฐมภูมิ, ติดเชื้อเฉพาะที่, ติดเชื้อที่ลินหัวใจ และติดเชื้อการมีสายสวนหลอดเลือดดำในทั้ง 76 ราย (ร้อยละ 59.8) 44 ราย (ร้อยละ 34.6) 7 ราย (ร้อยละ 5.5) และ 0 ราย (ร้อยละ 0) ตามลำดับ ดังรูปที่ 2

โดยผู้ป่วยส่วนใหญ่ในทั้ง 2 กลุ่ม รอดชีวิต มีอัตราการเสียชีวิตในกลุ่มสเตรปโตโคคัส โนวิส ไบโอด้วยพัฟฟ์หนึ่ง 3 ราย (ร้อยละ 23.1) ใกล้เคียงกับ 30 ราย (ร้อยละ 23.6) ในกลุ่มสเตรปโตโคคัส โนวิส ไบโอด้วยพัฟฟ์สอง ดังตารางที่ 5



รูปที่ 2. Percentage of diagnosis compare in 2 groups

ตารางที่ 5. Diagnosis treatment and outcome

Investigations	Species				P value I vs II / I vs II/2	
	<i>S. bovis</i> biotype I		<i>S. bovis</i> biotype II			
	N (%)	II/1 N (%)	II/2 N (%)	Total N (%)		
Diagnosis N(%)						
Primary bacteremia	9 (69.2)	2 (100)	55 (59.1)	76 (59.8)	0.41/0.40	
Localized infection*	2 (15.4)	0 (0)	32 (34.4)	44 (34.6)	0.21/0.16	
Hepatobiliary tract infection	0 (0)	0 (0)	5 (5.4)	7 (5.5)	NA	
SBP	0 (0)	0 (0)	19 (20.4)	26 (20.5)	NA	
SSI	1 (7.7)	0 (0)	1 (1.1)	3 (2.4)	0.27/0.10	
Bone & joint infection	1 (7.7)	0 (0)	2 (2.2)	2 (1.6)	0.15/0.26	
Infected CAPD	0 (0)	0 (0)	2 (2.2)	2 (1.6)	NA	
UTI	0 (0)	0 (0)	1 (1.1)	1 (0.8)	NA	
Enterocolitis	0 (0)	0 (0)	1 (1.1)	2 (1.6)	NA	
Meningitis	0 (0)	0 (0)	1 (1.1)	1 (0.8)	NA	
Infective endocarditis	1 (7.7)	0 (0)	6 (6.5)	7 (5.5)	0.75/0.87	
CRBSI	1 (7.7)	0 (0)	0 (0)	0 (0.0)	NA	
Outcome						
Improved	10 (76.9)	0	74 (79.6)	97 (76.4)	0.98/0.75	
Death	3 (23.1)	2 (100)	19 (20.4)	30 (23.6)	0.96/0.82	
Length of stay	24.39+/-20.0	12.00+/-8.5	21.63+/-23.8	22.87+/-24.8	0.83/0.69	

บทวิจารณ์

ผลการศึกษานี้พบว่ามีผู้ป่วยติดเชื้อสเตรปโตค็อกคัส โนบิส ไบโอทัยพ์หนึ่ง มีโรคประจำตัวเป็นโรคดับ 3 ราย (ร้อยละ 23.1) เป็นตับแข็งทั้งหมด 3 ราย (ร้อยละ 23.1) เป็นชายด์ เอ (child A) 1 ราย (ร้อยละ 7.7) ชายด์บี (child B) 1 ราย (ร้อยละ 7.7) ชายด์ซี (child C) 1 ราย (ร้อยละ 7.7) สาเหตุจากแอลกอฮอล์ 2 ราย (ร้อยละ 15.4) ติดเชื้อไวรัสตับบี 2 ราย (ร้อยละ 15.4) และไม่มีทราบที่ไม่ทราบสาเหตุ ไม่มีใครเป็นโรคจะเรืองตับ ขณะที่ในกลุ่มสเตรปโตค็อกคัส โนบิส ไบโอทัยพ์สอง มีโรคประจำตัวเป็นโรคดับ 53 ราย (ร้อยละ 41.7) เป็นตับแข็งทั้งหมด 51 ราย เป็นชายด์ เอ (child A) 6 ราย (ร้อยละ 4.7) ชายด์บี (child B) 20 ราย (ร้อยละ 16.5) ชายด์ซี (child C) 25 ราย (ร้อยละ 19.7) สาเหตุจากแอลกอฮอล์ 14 ราย (ร้อยละ 11) ติดเชื้อไวรัสตับบี 10 ราย (ร้อยละ 7.9) เชื้อไวรัสตับซี 14 ราย (ร้อยละ 11) และไม่ทราบสาเหตุ 13 ราย (ร้อยละ 10.2) สาเหตุอื่นๆ 3 ราย (ร้อยละ 2.4) และมีคนเป็นโรคจะเรืองตับ 8 ราย (ร้อยละ 6.3) มีผู้ป่วยที่มีโรคประจำตัวทางเดินน้ำดีในกลุ่มสเตรปโตค็อกคัส โนบิส ไบโอทัยพ์สอง 6 ราย (ร้อยละ 4.7) เป็นนิ่วในถุงน้ำดี 3 ราย (ร้อยละ 2.4) นิ่วในท่อทางเดินน้ำดีในตับ (intrahepatic bile duct) 3 ราย (ร้อยละ 2.4) นิ่วในท่อทางเดินน้ำดีในตับ (intrahepatic bile duct) 1 ราย (ร้อยละ 0.8) ขณะที่ไม่มีคนมีโรคประจำตัวทางเดินน้ำดีเลยในกลุ่มสเตรปโตค็อกคัส โนบิส ไบโอทัยพ์หนึ่ง รวมแล้วมีผู้ป่วยเป็นโรคดับและทางเดินน้ำดีในกลุ่มสเตรปโตค็อกคัส โนบิส ไบโอทัยพ์หนึ่ง 3 ราย (ร้อยละ 23.1) และ 59 ราย (ร้อยละ 46.5) ในกลุ่มสเตรปโตค็อกคัส โนบิส ไบโอทัยพ์สองโดยทั้งสองกลุ่มไม่แตกต่างกันทางสถิติ มีผู้ป่วยที่ได้ส่องกล้องทางเดินอาหารส่วนล่างในกลุ่มสเตรปโตค็อกคัส โนบิส ไบโอทัยพ์หนึ่ง 3 ราย พม

มะเร็งลำไส้ใหญ่ 2 ราย (ร้อยละ 66.6) ขณะที่กลุ่มสเตรปโตค็อกคัส โนบิส ไบโอทัยพ์สอง ได้ส่องกล้องทางเดินอาหารส่วนล่าง 12 ราย พมมะเร็งลำไส้ใหญ่ 2 ราย (ร้อยละ 16.7) พบดิ่งเนื้อที่เสียงต่อการเกิดมะเร็ง 3 ราย (ร้อยละ 25) ติ่งเนื้อที่ไม่เป็นมะเร็ง 3 ราย (ร้อยละ 25) โรคประจำตัวที่พบได้น้อย ได้แก่ โรคหัวใจ โรคดับ โรคเบาหวาน เป็น 6 ราย (ร้อยละ 46.2), 6 ราย (ร้อยละ 46.2), 4 ราย (ร้อยละ 30.8) ตามลำดับ ในกลุ่มสเตรปโตค็อกคัส โนบิส ไบโอทัยพ์หนึ่ง และคิดเป็น 31 ราย (ร้อยละ 24.4), 17 ราย (ร้อยละ 13.4) และ 37 ราย (ร้อยละ 29.1) ตามลำดับ ในกลุ่มสเตรปโตค็อกคัส โนบิส ไบโอทัยพ์สอง ผู้ป่วยที่ติดเชื้อสเตรปโตค็อกคัส โนบิสทั้ง 2 กลุ่มนี้มีผลตรวจเพิ่มเติมไม่แตกต่างกัน โดยเพาะเชื้อขึ้นในกระเพาะเลือด 13 ราย (ร้อยละ 100) ในกลุ่มสเตรปโตค็อกคัส โนบิส ไบโอทัยพ์หนึ่ง และ 125 ราย (ร้อยละ 98.4) ในสเตรปโตค็อกคัส โนบิส ไบโอทัยพ์สอง โดยทั้ง 2 กลุ่มไม่ได้อด้วยเพนิซิลลิน มีค่าความเข้มข้นต่ำสุดของสารที่สามารถยับยั้งการเจริญของเชื้อ (minimum inhibitory concentration) 0.22 และ 0.11 ㎎/ml. ในสเตรปโตค็อกคัส โนบิส ไบโอทัยพ์หนึ่งและสเตรปโตค็อกคัส โนบิส ไบโอทัยพ์สอง ตามลำดับ ผลเพาะเชื้อจากท่อน้ำพุเพียง 1 ราย (ร้อยละ 7.7) จากน้ำไขข้อในสเตรปโตค็อกคัส โนบิส ไบโอทัยพ์หนึ่ง ขณะที่สเตรปโตค็อกคัส โนบิส ไบโอทัยพ์สองเพาะเชื้อขึ้น 28 ราย (ร้อยละ 22.1) จากน้ำเจาะห้องมากที่สุด 25 ราย (ร้อยละ 19.7) จากน้ำไขสันหลัง 1 ราย (ร้อยละ 0.8) จากน้ำไขข้อ 1 ราย (ร้อยละ 0.8) และ จำกับสภาวะ 1 ราย (ร้อยละ 0.8) โดยเชื้อทั้งหมดไม่ได้อด้วยเพนิซิลลิน ระหว่างนอนโรงพยาบาลมีการตรวจคลื่นเสียงหัวใจ (echocardiogram) ทั้งหมด 6 ราย (ร้อยละ 46.2) และมีการติดเชื้อที่ลิ้นหัวใจ 1 ราย (ร้อยละ 7.7) ในกลุ่มสเตรปโตค็อกคัส โนบิส ไบโอทัยพ์หนึ่ง มาก

กว่ากอกลุ่มสเตรปโตโคคัลส์ โนวิส ใบโถทัยพ์สองที่มีการตรวจคลื่นเสียงหัวใจทั้งหมด 47 ราย (ร้อยละ 37) และมีการติดเชื้อที่ลินหัวใจ 7 ราย (ร้อยละ 5.5) แต่ไม่ได้ต่างกันอย่างมีนัยสำคัญทางสถิติ โดยผู้ป่วย 13 รายในกลุ่มสเตรปโตโคคัลส์ โนวิส ใบโถทัยพ์หนึ่ง มีผู้ป่วยวินิจฉัยเป็นการติดเชื้อปฐมภูมิ ติดเชื้อเฉพาะที่ ติดเชื้อที่ลินหัวใจ และติดเชื้อจากการมีสายสวนหลอดเลือดดำใหญ่ (central venous catheter-related blood stream infection, CRBSI) 9 ราย (ร้อยละ 69.2) 2 ราย (ร้อยละ 15.4) 1 ราย (ร้อยละ 7.7) และ 1 ราย (ร้อยละ 7.7) ตามลำดับ ใกล้เคียงกับผู้ป่วยกลุ่มสเตรปโตโคคัลส์ โนวิส ใบโถทัยพ์สอง ที่วินิจฉัยเป็นการติดเชื้อปฐมภูมิ ติดเชื้อเฉพาะที่ ติดเชื้อที่ลินหัวใจ และติดเชื้อจากการมีสายสวนหลอดเลือดดำใหญ่ 76 ราย (ร้อยละ 59.8) 44 ราย (ร้อยละ 34.6) 7 ราย (ร้อยละ 5.5) และ 0 ราย (ร้อยละ 0) ตามลำดับ ผู้ป่วยส่วนใหญ่ในทั้ง 2 กลุ่มรอดชีวิต มีอัตราการเสียชีวิตในกลุ่มสเตรปโตโคคัลส์ โนวิส ใบโถทัยพ์หนึ่ง 3 ราย (ร้อยละ 23.1) ใกล้เคียงกับ 30 ราย (ร้อยละ 23.6) ในกลุ่มสเตรปโตโคคัลส์ โนวิส ใบโถทัยพ์สอง

เมื่อเปรียบเทียบกับการศึกษาของรอดเนย์ และคณะ¹⁴ ในผู้ป่วย 37 ราย มีผู้ป่วยที่มีเชื้อแบคทีเรียในกระแสเลือดแบบปฐมภูมิ 15 ราย (ร้อยละ 41) มีทางเดินน้ำดีอักเสบหรืออุดน้ำดีอักเสบ 14 ราย (ร้อยละ 38) มีลินหัวใจอักเสบเพียง 4 ราย (ร้อยละ 11) เป็นสเตรปโตโคคัลส์ โนวิส ใบโถทัยพ์หนึ่ง 2 ราย (ร้อยละ 5) สเตรปโตโคคัลส์ โนวิส ใบโถทัยพ์สองหนึ่ง 3 ราย (ร้อยละ 8) และสเตรปโตโคคัลส์ โนวิส ใบโถทัยพ์สองสองของ 32 ราย (ร้อยละ 87) ใกล้เคียงกัน คือ ติดเชื้อในกระแสเลือดแบบปฐมภูมิมากที่สุด และเชื้อเป็นสเตรปโตโคคัลส์ โนวิส ใบโถทัยพ์สองสองมากที่สุด โดยผู้ป่วยส่วนใหญ่ในทั้ง 2 กลุ่ม รอดชีวิต มีอัตราการเสียชีวิตในกลุ่มสเตรปโตโคค-

คัลส์ โนวิส ใบโถทัยพ์หนึ่ง 3 ราย (ร้อยละ 23.1) ใกล้เคียงกับ 30 ราย (ร้อยละ 23.6) ในกลุ่มสเตรปโตโคคัลส์ โนวิส ใบโถทัยพ์สอง เมื่อเปรียบเทียบกับการศึกษา ก่อนหน้านี้พบว่าผู้ป่วยที่ติดเชื้อสเตรปโตโคคัลส์ โนวิสในกระแสเลือด ร้อยละ 28 มีลินหัวใจอักเสบ มีโรคความเร็งลำไส้ใหญ่ ประมาณร้อยละ 7-11^{14,19} โดยหลักเป็นสเตรปโตโคคัลส์ โนวิส ใบโถทัยพ์หนึ่งพบว่ามีความสัมพันธ์กับลินหัวใจอักเสบอย่างชัดเจน มากกว่าร้อยละ 90^{20,21} และมีความสัมพันธ์กับโรคประจำตัวมะเร็งลำไส้มากถึงร้อยละ 50-70^{20,21} แต่ในการศึกษานี้ผู้ป่วยลินหัวใจอักเสบเพียง 1 ราย (ร้อยละ 7.7) ในกลุ่มสเตรปโตโคคัลส์ โนวิส ใบโถทัยพ์หนึ่ง และ 7 ราย (ร้อยละ 5.5) ในสเตรปโตโคคัลส์ โนวิส ใบโถทัยพ์สองเท่านั้น และพบมะเร็งลำไส้ใหญ่ 2 ราย (ร้อยละ 66.6) ในสเตรปโตโคคัลส์ โนวิส ใบโถทัยพ์หนึ่ง มากกว่า 2 ราย (ร้อยละ 16) ในสเตรปโตโคคัลส์ โนวิส ใบโถทัยพ์สองในแง่ของโรคดับสเตรปโตโคคัลส์ โนวิส ใบโถทัยพ์หนึ่ง มีโรคประจำตัวเป็นโรคดับ 3 ราย (ร้อยละ 23.1) สเตรปโตโคคัลส์ โนวิส ใบโถทัยพ์สอง มีโรคประจำตัวเป็นโรคดับ 57 ราย (ร้อยละ 44.9) ใกล้เคียงกับข้อมูลก่อนหน้านี้ที่มีโรคดับร้อยละ 34-37 มีโรคถุงน้ำดีร้อยละ 23-28^{13,19} แต่น่าแปลกใจที่ไม่มีคนมีโรคประจำตัวทางเดินน้ำดีเลยในกลุ่มสเตรปโตโคคัลส์ โนวิส ใบโถทัยพ์หนึ่งและมีเพียง 6 ราย (ร้อยละ 4.7) ในกลุ่มสเตรปโตโคคัลส์ โนวิส ใบโถทัยพ์สอง แม้เทียบกับการศึกษาในประเทศไทยก่อนหน้านี้ พุทธเจริญและคณะ²¹ ศึกษาผู้ป่วยในโรงพยาบาลจุฬาฯ พ.ศ. 2545-2548 ที่เพาะเชื้อในกระแสเลือดขึ้นสเตรปโตโคคัลส์ โนวิส 88 ราย เป็นสเตรปโตโคคัลส์ โนวิส ใบโถทัยพ์หนึ่ง 8 ราย (ร้อยละ 8.9) สเตรปโตโคคัลส์ โนวิส ใบโถทัยพ์สองหนึ่ง 1 ราย (ร้อยละ 1.1) สเตรปโตโคคัลส์ โนวิส ใบโถทัยพ์สองสอง 79 ราย (ร้อยละ 90) ประชากรใกล้

เคียงกับการศึกษานี้ มีผู้ป่วยเป็นลินหัวใจอักเสบ 35 ราย (ร้อยละ 4) และมีโรคตับและทางเดินน้ำดี 28 ราย (ร้อยละ 53) ใกล้เคียงกับการศึกษานี้

จะเห็นว่าสเตรปโตโคคัส โนวิส เป็นเชื้อที่พบได้เรื่อยๆ แต่ไม่ได้น้อยมาก ทำให้จำนวนผู้ป่วยในการศึกษาก่อนหน้านี้ ไม่มาก ส่วนใหญ่ไม่ถึง 100 ราย^{12,13,14,19,20,21,22} ซึ่งการศึกษานี้ ได้จำนวนผู้ป่วยทั้งหมด 140 รายมากกว่าการศึกษาที่ผ่านมา รวมทั้งได้แยกเชื้อสเตรปโตโคคัส โนวิส ออกตามใบโอทัยพ์ และชน์ใบโอทัยพ์เป็นสเตรปโตโคคัส โนวิส ใบโอทัยพ์สอง 127 ราย สเตรปโตโคคัส โนวิส ใบโอทัยพ์หนึ่ง 13 ราย ทำให้ได้ข้อมูลมากขึ้น แต่เนื่องจากข้อมูลเป็นการศึกษาขอนหลังทำให้ข้อมูลบางส่วนไม่ครบถ้วน ดังจะเห็นว่าจำนวนผู้ป่วยในกลุ่มสเตรปโตโคคัส โนวิส ใบโอทัยพ์สองหนึ่งรวมกับ สองสองมี 93 รายน้อยกว่าจำนวนผู้ป่วยในกลุ่มสเตรปโตโคคัส โนวิส ใบโอทัยพ์สอง 127 ราย เนื่องจากเวชระเบียนไม่ได้ระบุชน์ใบโอทัยพ์ไว้ และสเตรปโตโคคัส โนวิส ใบโอทัยพ์สองหนึ่งมีจำนวนน้อยมากเพียง 2 รายเท่านั้น ในการศึกษานี้จึงคำนวณสถิติเทียบเฉพาะสเตรปโตโคคัส โนวิส ใบโอทัยพ์หนึ่งกับสเตรปโตโคคัส โนวิส ใบโอทัยพ์สอง และสเตรปโตโคคัส โนวิส ใบโอทัยพ์สองไม่สามารถเทียบกันในชน์ใบโอทัยพ์ได้ จึงไม่สามารถตอบคำถามรองได้ และไม่ได้มีการตรวจลืนเสียงหัวใจทุกรายทำให้ข้อมูลไม่สมบูรณ์ โดยเฉพาะผู้ป่วยที่ได้ส่องกล้องทางเดินอาหารมีเพียง 12 รายในกลุ่มสเตรปโตโคคัส โนวิส ใบโอทัยพ์สอง และ 3 รายเท่านั้นในกลุ่มสเตรปโตโคคัส โนวิส ใบโอทัยพ์หนึ่ง

การศึกษานี้กำหนดจำนวนการทดสอบที่ร้อยละ 90 โดยต้องมีจำนวนผู้ป่วยในแต่ละกลุ่ม 97 ราย แม้ว่าการศึกษาจะได้จำนวนผู้ป่วยมากขึ้นเป็น 140 ราย แต่ก็ยังไม่พอที่จะทำเป็นการศึกษาเบรี่ยน

เทียบ เนื่องจากจำนวนผู้ป่วยแต่ละใบโอทัยพ์ต่างกันมากเกิน 10 เท่า ซึ่งสเตรปโตโคคัส โนวิส ใบโอทัยพ์หนึ่งมีเพียง 13 รายเท่านั้น ทำให้ไม่สามารถแสดงความแตกต่างอย่างมีนัยสำคัญทางสถิติได้

ในอนาคตต้องอาศัยข้อมูลที่เพิ่มขึ้น โดยอาจทำเป็นการศึกษาหลายสถาบัน หรือเก็บข้อมูลให้นานยิ่งขึ้น เพื่อให้ได้จำนวนผู้ป่วยที่มากกว่านี้

เอกสารอ้างอิง

- Ruoff KL, Miller SI, Garner CV, Ferraro MJ, Calderwood SB. Bacteremia with *Streptococcus bovis* and *Streptococcus salivarius*: clinical correlates of more accurate identification of isolates. *J Clin Microbiol* 1989;27:305-8.
- Schlegel L, Grimont F, Ageron E, et al. Reappraisal of the taxonomy of the *Streptococcus bovis/Streptococcus equines* complex and related species: description of *Streptococcus gallopticus* subsp. *gallopticus* subsp nov. and *S. gallopticus* subsp. *macedonicus* subsp. nov. and *S. gallopticus* subsp. *pasteurianus* subsp. nov. *Int J Syst Evol Microbiol* 2003;53:631-45.
- Poyart C, Quesne G, and Trieu-Cuot P. Taxonomy dissection of the *Streptococcus bovis* group by analysis of manganese-dependent superoxide dismutase gene (sodA) sequences; reclassification of "*Streptococcus infantarius* subsp. *coli*" as *Streptococcus lutetiensis* sp. nov. and of *Streptococcus bovis* biotype 11.2 as *Streptococcus pasteurianus* sp. nov. *Int J Syst Evol Microbiol* 2008; 52:1247-55
- Facklam et al. What happened to the streptococci: overview of taxonomic and nomenclature changes. *Clin Microbiol Rev* 2002;15:613.
- ศุภลรัตน์ บุณยยาตรา, จุพามลี ถานุญเป็ง, ขวัญชาบ เครือสุคนธ์, วิทยา สุริยาสสถาพร. การฉีดยาด้านจุลทรรศ ของเชื้อแบคทีเรียที่เรียกที่สัมพันธ์กับเด็กน้อยอักเสบในแม่โคริด นมในเขตจังหวัดเชียงใหม่. เชียงใหม่สัตวแพทยสาร 2550; 5:135-45.
- Murray HW, Roberts RB. *Streptococcus bovis* bacteremia and underlying gastrointestinal disease. *Arch Intern Med* 1978;138:1097-9.
- Zarkin BA, Lillemoe KD, Cameron JL, Effron PN,

- Magnuson TH, Pitt HA. The triad of *Streptococcus bovis* bacteremia, colonic pathology, and liver disease. Ann Surg 1990;211:786-92.
8. Waisberg J, Matheus Cde O, Pimenta J. Infectious endocarditis from *Streptococcus bovis* associated with colonic carcinoma: case report and literature review. Arq Gastroenterol 2002;39:177-80.
 9. Ballet M, Gevigney G, Gare JP, Delahaye F, Etienne J, Delahaye JP. Infective endocarditis due to *Streptococcus bovis* A report of 53 cases. Eur Heart J 1995;16:1975-80.
 10. Zarkin BA, Lillemoe KD, Cameron JL, Effron PN, Magnuson TH, Pitt HA. The triad of *Streptococcus bovis* bacteremia, colonic pathology, and liver disease. Ann Surg 1990;211:786-91.
 11. Klein RS, Recco RA, Catalano MT, Edberg SC, Casey JI, Steigbigel NH. Association of *Streptococcus bovis* with carcinoma of the colon. N Engl J Med 1977;297: 800-2.
 12. Klein RS, Catalano MT, Edberg SC, Casey JI, Steigbigel NH. *Streptococcus bovis* septicemia and carcinoma of the colon. Ann Intern Med 1979;91:560-2.
 13. Leport, C, Bure A, Leport J, et al. Incidence of colonic lesions in *Streptococcus bovis* and enterococcal endocarditis. Lancet 1987;1:748
 14. Alazmi W, Bustamante M, O’loughlin C, Gonzalez J, Raskin JB. The association of *Streptococcus bovis* bacteremia and gastrointestinal diseases: a retrospective analysis. Dig Dis Sci 2006;51:732-6.
 15. Corredoira JC, Alonso MP, Garcá JF, et al. Clinical characteristics and significance of *Streptococcus salivarius* bacteremia and *Streptococcus bovis* bacteremia. J Clin Microbiol 2005;24:250-5.
 16. Fernández-Ruiz M, Villar-Silva J, Llenas-Garcá J, et al. *Streptococcus bovis* bacteraemia revisited: Clinical and microbiological correlates in a contemporary series of 59 patients. J Infect 2010;24:1-7
 17. Rodney A. Lee, Patrick C.Y. Woo, Amanda P.C, et al. Geographic difference of disease association in *Streptococcus bovis* bacteraemia. J Med Microbiol 2003;52: 903-8.
 18. Vilaichone RK, Mahachai V, Kullavanijaya P, Nunthapisud P. Spontaneous bacterial peritonitis caused by *Streptococcus bovis*: case series and review of the literature. Am J Gastroenterol 2002;97:1476-9.
 19. Beck M, Frodl E, R, Funke G. Comprehensive study of strains previously designated *Streptococcus bovis* consecutively isolated from human blood cultures and emended description of *Streptococcus gallolyticus* and *Streptococcus infantarius* subsp *coli*. J Clin Microbiol 2008;46:2966-72.
 20. Ruoff K L, Miller S I, Garner C V, et al. Bacteremia with *Streptococcus bovis* and *Streptococcus salivarius*: clinical correlates of more accurate identification. of isolates. J Clin Microbiol 1989;27:305.
 21. Corredoira J, Alndo MP, Coira A, et al. Characteristics of *Streptococcus bovis* endocarditis and its difference with *Streptococcus viridians* endocarditis. Eur J Clin Microbiol Infect Dis 2008;27:285-91.
 22. Putcharoen O, Supanwimolkul G, Pongkumpai M, et al. Significant of *Streptococcus bovis* biotype II/2 bacteraemia in patients with chronic liver diseases. 17th European Congress of Clinical Microbiology and Infectious Disease & 25th International Congress of Chemotherapy 03.04.2007.

Journal club

Prednisolone or Pentoxifylline for Alcoholic Hepatitis

Mark R. Thursz, M.D., Paul Richardson, M.D., Michael Allison, Ph.D., Andrew Austin, M.D., Megan Bowers, M.Sc., Christopher P. Day, M.D., Ph.D., Nichola Downs, P.G. Cert., Dermot Gleeson, M.D., Alastair MacGilchrist, M.D., Allister Grant, Ph.D., Steven Hood, M.D., Steven Masson, M.A., Anne McCune, M.D., Jane Mellor, M.Sc., John O'Grady, M.D., David Patch, M.D., Ian Ratcliffe, M.Sc., Paul Roderick, Ph.D., Louise Stanton, M.Sc., Nikhil Vergis, M.B., B.S., Mark Wright, Ph.D., Stephen Ryder, D.M., and Ewan H. Forrest, M.D., for the STOPAH Trial*

BACKGROUND

Alcoholic hepatitis is a clinical syndrome characterized by jaundice and liver impairment that occurs in patients with a history of heavy and prolonged alcohol use. The short-term mortality among patients with severe disease exceeds 30%. Prednisolone and pentoxifylline are both recommended for the treatment of severe alcoholic hepatitis, but uncertainty about their benefit persists.

METHODS

We conducted a multicenter, double-blind, randomized trial with a 2-by-2 factorial design to evaluate the effect of treatment with prednisolone or pentoxifylline. The primary end point was mortality at 28 days. Secondary end points included death or liver transplantation at 90 days and at 1 year. Patients with a clinical diagnosis of alcoholic hepatitis and severe disease were randomly assigned to one of four groups: a group that received a pentoxifylline-matched placebo and a prednisolone-matched placebo, a group that received prednisolone and a pentoxifylline-matched placebo, a group that received pentoxifylline and a prednisolone-matched placebo, or a group that received both prednisolone and pentoxifylline.

RESULTS

A total of 1103 patients underwent randomization, and data from 1053 were available for the primary end-point analysis. Mortality at 28 days was 17% (45 of 269 patients) in the placebo-placebo group, 14% (38 of 266 patients) in the prednisolone-placebo group, 19% (50 of 258 patients) in the pentoxifylline-placebo group, and 13% (35 of 260 patients) in the prednisolone-pentoxifylline group. The odds ratio for 28-day mortality with pentoxifylline was 1.07 (95% confidence interval [CI], 0.77 to 1.49; $P = 0.69$), and that with prednisolone was 0.72 (95% CI, 0.52 to 1.01; $P = 0.06$). At 90 days and at 1 year, there were no significant between-group differences. Serious infections occurred in 13% of the patients treated with prednisolone versus 7% of those who did not receive prednisolone ($P = 0.002$).

CONCLUSIONS

Pentoxifylline did not improve survival in patients with alcoholic hepatitis. Prednisolone was associated with a reduction in 28-day mortality that did not reach significance and with no improvement in outcomes at 90 days or 1 year. (Funded by the National Institute for Health Research Health Technology Assessment program; STOPAH EudraCT number, 2009-013897-42, and Current Controlled Trials number, ISRCTN88782125.)

**วิจารณ์การศึกษาและประเมินบิวชิวิจัยโดย นายแพทย์จิตรา สิงหอมร
ภาควิชาอายุรศาสตร์ คณะแพทยศาสตร์ จุฬาลงกรณ์มหาวิทยาลัย**

Alcoholic hepatitis เป็นกลุ่มอาการทางคลินิกที่พบในผู้ป่วยดื่มแอลกอฮอล์มานาน ผู้ป่วยอาการเหลือง และตัวขาว ผู้ที่มีโรครุนแรงมีอัตราตายสูงเกินร้อยละ 30 มักแนะนำให้ใช้ prednisolone และ/หรือ pentoxifylline ในผู้ป่วยที่มีโรครุนแรง แต่ผลการรักษายังสรุปได้ไม่ชัดเจน ดังนั้น Thursz และคณะ ได้รายงานผลการศึกษาผู้ป่วย alcoholic hepatitis ที่มีอาการรุนแรง 1,103 รายโดยวิธี randomized double blind, 2x2 factorial design เพื่อประเมินอัตราตายที่ 28 วัน (primary end point) และอัตราตายหรือการเปลี่ยนตัวเมื่อวันที่ 90 หรือ 1 ปีหลังรักษาด้วย prednisolone หรือ pentoxifylline เนื่องจากเป็น factorial design จึงมีผู้ป่วยสี่กลุ่มที่เปรียบเทียบกันได้ คือ 1) กลุ่ม placebo อายุเฉลี่ย 272 ราย 2) กลุ่ม prednisolone อายุเฉลี่ย 274 ราย 3) กลุ่ม pentoxifylline อายุเฉลี่ย 273 ราย และ 4) กลุ่มที่ได้รับ pentoxifylline ร่วมกับ prednisolone 273 ราย¹

พบว่าอัตราตายที่ 28 วันในกลุ่ม placebo อายุเฉลี่ย = ร้อยละ 17 (ตาย 45 ราย ในผู้ป่วย 269 ราย) อัตราตายในกลุ่ม prednisolone อายุเฉลี่ย = ร้อยละ 14 (ตาย 38 รายในผู้ป่วย 266 ราย) อัตราตายในกลุ่ม pentoxifylline อายุเฉลี่ย = ร้อยละ 19 (ตาย 50 รายในผู้ป่วย 258 ราย) และอัตราตายในกลุ่มผู้ป่วยที่ได้รับ prednisolone ร่วมกับ pentoxifylline = ร้อยละ 13 (ตาย 35 รายจากผู้ป่วย 260 ราย) เมื่อเปรียบเทียบ odds ratio ของอัตราตายเมื่อเทียบกับกลุ่ม placebo ที่ 28 วัน พบว่ากลุ่มที่ได้รับ pentoxifylline มีอัตราตายเป็น 1.07 เท่าของ placebo (95% CI = 0.77 to 1.49, p=0.69) และพบว่า prednisolone มีอัตราตายเป็น 0.72 เท่า

ของ placebo (95% CI 0.52 to 1.01, p=0.06) อัตราตายที่ 90 วันและที่ 1 ปีของการรักษาก็ไม่ต่างกันไม่ว่าจะได้รับยาใด ผู้ป่วยที่ได้รับ prednisolone เกิดการติดเชื้อร้อยละ 13 เมื่อเทียบกับการติดเชื้อในผู้ป่วยที่ไม่ได้รับ prednisolone¹

ได้มีความพยายามที่จะตอบคำถามเรื่องบทบาทของ prednisolone และ/หรือ pentoxifylline มาแล้วโดยใช้ 2x2 factorial design² แต่ยังไม่ทราบผลการทำ 2x2 factorial design ทำให้เราใช้ผู้ป่วยศึกษาสามคำตามอย่างมีประสิทธิภาพ³ คือ ก) ให้ pentoxifylline ต่างจากไม่ให้ยาในผู้ป่วย severe alcoholic hepatitis หรือไม่ ข) ให้ prednisolone ต่างจากไม่ให้ยาหรือไม่ และ ค) ให้ prednisolone + pentoxifylline ร่วมกันต่างจากไม่ให้ยาหรือไม่ นั้น เป็นการออกแบบที่มีประสิทธิภาพ ใช้จำนวนตัวอย่างน้อย ที่ต้องระวังคือการทดสอบว่า prednisolone และ pentoxifylline มีปฏิกิริยาเสริมหรือค้านกัน (interaction) แบบ synergistic หรือ antagonistic หรือไม่ ถ้ามีจะทำให้โอกาสพนความแตกต่างน้อยลง ในการศึกษาระงี้ไม่เห็นว่ามีการระบุการทดสอบ interaction ที่ดัดเจน แต่ดูจากผลที่แตกต่างกันไม่มากระหว่างยาที่ใช้เดี่ยวและใช้ร่วมกัน น่าจะอนุญาณได้ว่า ไม่พบปฏิกิริยาเสริมหรือค้านกัน ระหว่าง prednisolone และ pentoxifylline

ผู้ป่วยได้รับการวินิจฉัยว่าเป็น severe alcoholic hepatitis โดยเกณฑ์การวินิจฉัยทางคลินิก เป็นหลัก ไม่ได้มีการตัดชิ้นเนื้อตับไปตรวจ เนื่องจาก การวินิจฉัยโดยตัดชิ้นเนื้อไปตรวจเป็นสิ่งที่ไม่ทำกันนักในการรักษากลุ่มอาการ severe alcoholic hepatitis ยกเว้นกรณีที่การวินิจฉัยไม่ชัดเจน^{4,5} จึงเป็นไปได้ว่า ผู้ป่วยจำนวนหนึ่งอาจวินิจฉัยไม่ถูกต้อง

ซึ่งจำนวนไม่น่าจะมาก เพราะเกณฑ์การวินิจฉัยค่อนข้างจำเพาะ¹

การรักษาร่วม หรือ co-intervention ได้แก่ พวก supportive treatment ซึ่งแพทย์ที่ดูแลผู้ป่วย มีหน้าที่ดัดสิน เช่น การให้ terlipressin ในผู้ป่วยที่เริ่มเกิด hepatorenal failure การให้ยาแก้เลือดออกในทางเดินอาหาร การให้ยาปฏิชีวนะและกระบวนการรักษาการติดเชื้อ การรักษาผู้ที่มีไตวายรุ่มด้วย เหล่านี้ อาจจะกระแทบอัตรตายได้ แต่ก็ได้มีการประเมินสัดส่วนของผู้ป่วยที่มีภาวะแทรกซ้อนซึ่งก็ไม่ต่างกันมาก แสดงว่า แม้จะไม่ได้ระบุเกณฑ์ที่ชัดเจนให้แพทย์ผู้รักษา การวินิจฉัยและรักษาภาวะแทรกซ้อนของแพทย์คงไม่ต่างกันมาก

เนื่องจาก end point ที่ใช้ระบุผลลัพธ์ว่าชัดเจน ก็คือ อัตรตายหรืออัตราการเปลี่ยนตัว จึงน่าจะเป็นสิ่งที่เชื่อถือได้

ผลสรุปว่า การให้ prednisolone, pentoxifylline หรือ prednisolone + pentoxifylline ในผู้ป่วย severe alcoholic hepatitis ที่วินิจฉัยโดยใช้ clinical criteria ไม่ต่างกันในเรื่อง อัตรตายที่ 28 วัน อัตราการเปลี่ยนตัว หรือตาย ใน 90 วันและใน 1 ปี โดยการศึกษาที่น่าเชื่อถือ เป็นข้อมูลที่ดีที่สุด

ในปัจจุบันที่ให้ข้อสรุปสอดคล้องกับการรายงานในอดีตที่ไม่มีกุญแจ placebo มาเปรียบเทียบ⁶ จึงถือได้ว่าเป็นหลักฐานที่สำคัญอีกขั้นหนึ่ง

เอกสารอ้างอิง

- Thursz MR, Richardson P, Allison M, Austin A, Bowers M, Day CP, Downs N, Gleeson D, MacGilchrist A, Grant A, et al. Prednisolone or Pentoxifylline for Alcoholic Hepatitis. *N Engl J Med* 2015; 372(17):1619-28.
- Forrest E1, Mellor J, Stanton L, et al. Steroids or pentoxifylline for alcoholic hepatitis (STOPAH): study protocol for a randomised controlled trial. *Trials* 2013; 19:14:262. doi: 10.1186/1745-6215-14-262.
- Stampfer MJ, Buring JE, Willett W, Rosner B, Eberlein K, Hennekens CH. The 2 x 2 factorial design: its application to a randomized trial of aspirin and carotene in U.S. physicians. *Stat Med* 1985 ;4(2):111-6.
- Potts JR, Gouget S, Heneghan MA, Verma S. Determinants of long-term outcome in severe alcoholic hepatitis. *Aliment Pharmacol Ther* 2013;38:584-95.
- Forrest EH, Gleeson D. Is a liver biopsy necessary in alcoholic hepatitis? *J Hepatol* 2012;56:1427-8.
- Mathurin P1, Louvet A, Duhamel A, et al. Prednisolone with vs without pentoxifylline and survival of patients with severe alcoholic hepatitis: a randomized clinical trial. *JAMA* 2013 Sep 11;310(10):1033-41. doi: 10.1001/jama.2013.276300.

วิจารณ์การศึกษาและประเมินบิวตี้จัจย์โดย พญ.ประพิมพรรณ อําพันทร์พัชร์, รศ.ดร.นพ.สมนติ ตรีประเสริฐสุข
สาขาวิชาโรคระบบทางเดินอาหาร ภาควิชาอายุรศาสตร์ คณะแพทยศาสตร์ จุฬาลงกรณ์มหาวิทยาลัย

ภาวะตับอักเสบจากแอลกอฮอล์เป็นภาวะแทรกซ้อนที่สำคัญของโรคตับเรื้อรังจากการดื่มแอลกอฮอล์ ทำให้มีอัตราการตายระดับสูงถึงร้อยละ 30-50 ที่ 3 เดือน² ผู้ป่วยร้อยละ 40 ของภาวะตับอักเสบจากแอลกอฮอล์ชนิดรุนแรงที่จะไม่ได้ประโยชน์จากการรักษาที่มีในปัจจุบัน³ ภาวะนี้พบได้ในประเทศไทยร้อยละเมริคตามการลงทะเบียน ICD-9 ร้อยละ 0.83 ของการนอนโรงพยาบาลทั้งหมดใน ก.ศ. 2010 และพบว่าอัตราการตายมีแนวโน้มลดลงจากร้อยละ 10.1 เป็น 5.8 ใน ก.ศ. 2002-2010 ตามลำดับ⁴

ปัจจุบันยังมีความสนใจทางการรักษาใหม่ๆ โดยจำเป็นต้องค้นหาหากกลุ่มผู้ป่วยตับอักเสบจากแอลกอฮอล์ชนิดรุนแรง ซึ่งมีการนำรูปแบบคะแนนต่างๆ มาประเมินความรุนแรงโรค ได้แก่ Maddrey Discriminant Function (DF), Glasgow Alcoholic Hepatitis Score (GAHS), Mayo End-stage Liver Disease (MELD) หรือ UK End-stage Liver Disease (UKELD) ซึ่งไม่ว่าจะใช้อันใดก็ไม่พบร่วมกันในคราวเดียวกันได้⁵ ส่วนการศึกษาที่ใช้รักษาที่สำคัญมี 2 ชนิด ได้แก่ prednisolone และ pentoxifylline จัดเป็นการรักษามาตรฐานที่มีในปัจจุบัน⁶ ส่วนการใช้ยารูปแบบอื่น เช่น การศึกษาเบรียบเทียบกลุ่มที่ได้รับ prednisolone อย่างเดียวกับกลุ่มที่ได้รับ prednisolone ร่วมกับ pentoxifylline นั้นพบว่า การได้รับยาสองชนิดร่วมกันไม่ได้เพิ่มอัตราการลดชีวิตให้สูงขึ้น⁷ และมีการศึกษาล่าสุดของ Thursz และคณะ¹ ซึ่งเป็นการศึกษาที่เป็น randomized control ขนาดใหญ่ในผู้ป่วยที่มีภาวะตับอักเสบจากแอลกอฮอล์ชนิดรุนแรงโดยดูอัตราการลดชีวิตที่ 28 วันในผู้ป่วย 4 กลุ่มเมื่อให้ prednisolone,

pentoxifylline, prednisolone ร่วมกับ pentoxifylline หรือยาหลอกที่จะวิจารณ์ต่อไป โดยมีประเด็นที่น่าสนใจดังนี้

อภิปราย

1. ความแตกต่างของผลการศึกษาที่เป็น primary outcome พบว่าจากข้อมูลการศึกษา ก่อนหน้านี้ผู้ป่วยตับอักเสบจากแอลกอฮอล์ชนิดรุนแรงที่รักษาด้วย pentoxifylline หรือ prednisolone หรือยาหลอก มีอัตราตายที่ร้อยละ 35, 20 และ 34 ตามลำดับ ดังแสดงในตารางที่ 1 ซึ่งต่างจากผลในการศึกษานี้ที่พบว่ามีอัตราตายน้อยกว่าโดยพนพเพียงร้อยละ 14-18¹ เท่านั้นจึงต้องหาคำอธิบายต่อไป

2. ด้านรูปแบบงานวิจัย ผู้ทำวิจัยได้กำหนดเกณฑ์การเลือกผู้ป่วยที่น่าสังเกตคือมีเกณฑ์แยกผู้ป่วยออกจากผู้ที่ไม่ป่วยที่สำคัญและอาจล่วงผลถึง primary outcome คือ ผู้ป่วยที่มีภาวะไตวาย (ครีอตินินมากกว่า 5.7 mg./dl.) ผู้ที่มีภาวะติดเชื้อ (sepsis) และยังไม่ได้รับการรักษา ผู้ที่มีระดับค่า AST >500 IU/l. หรือ ALT >300 IU/l. ซึ่งอาจทำให้การศึกษานี้มีอัตราตายที่ต่ำกว่าการศึกษา ก่อนหน้านี้ที่มีอัตราตายที่ 28 วันเมื่อได้รับยาหลอกเท่ากับร้อยละ 30 ถึงแม้ว่าผู้ทำวิจัยจะรายงานว่าได้ใช้เกณฑ์วัดระดับความรุนแรงโรคของผู้ป่วยที่เข้าร่วมการศึกษาเท่าเดิมคือ Maddrey DF มากกว่าหรือเท่ากับ 32 รวมทั้งการให้การรักษาประคับประคองที่ดีขึ้นเมื่อเทียบกับการศึกษา ก่อนหน้าที่ทำเมื่อ 10-30 ปีก่อน แต่การกำหนดเกณฑ์การคัดเลือกผู้ป่วยและความรุนแรงของโรคที่ยังมีผลสำคัญต่อ primary outcome ในผลการศึกษานี้ได้

ตารางที่ 1. แสดงการศึกษาที่สำคัญในการรักษาผู้ป่วยตับอักเสบจากแอลกอฮอล์ด้วย pentoxifylline, prednisolone หรือยาหลอก placebo

การศึกษา ปี ก.ศ. ประเทศ จำนวนผู้ป่วย	De และคณะ ⁹ 2009 อินเดีย 68	Park และคณะ ¹⁰ 2014 เกาหลี 121	Mathurin และคณะ ⁷ 2013 ฝรั่งเศส 270
กลุ่ม	กลุ่ม 1: prednisolone (N=34) กลุ่ม 2: pentoxifylline (N=34)	กลุ่ม 1: prednisolone (N=58) กลุ่ม 2: pentoxifylline (N=59)	กลุ่ม 1: pentoxifylline+prednisolone (N=133) กลุ่ม 2: placebo-prednisolone (N=137)
อัตราตาย (ร้อยละ)	ที่ 3 เดือน Prednisolone: 39.3 Pentoxifylline: 14.7 (p=0.04)	ที่ 1 เดือน Prednisolone: 11.9 Pentoxifylline: 22.4 (p=0.08) ที่ 6 เดือน Prednisolone: 27.5 Pentoxifylline: 35.5 (p=0.23)	ที่ 6 เดือน Pentoxifylline+prednisolone: 30 Prednisolone: 30.6 (p=0.91)
ผู้ป่วยที่มีภาวะแทรกซ้อนทางไต	Hepatorenal syndrome 6 ราย (ร้อยละ 17.6) ในกลุ่ม prednisolone และร้อยละ 0 ในกลุ่ม pentoxifylline	Hepatorenal syndrome พบร้อยละ 13.1-13.6 ในแต่ละกลุ่ม	พบภาวะไตวายเฉียบพลันร้อยละ 1-3 ในแต่ละกลุ่มการศึกษา
สรุป	Pentoxifylline ดีกว่า	Prednisolone ดีกว่า	ไม่มีความแตกต่างระหว่าง 2 กลุ่ม

3. สัดส่วนของผู้ป่วยที่เกิดภาวะแทรกซ้อนทางไต สืบเนื่องจากเกณฑ์แยกผู้ป่วยออกโดยเฉพาะภาวะไตวายเฉียบพลันซึ่งทำให้พบภาวะไตวายเฉียบพลันในการศึกษานี้เพียงร้อยละ 1-3 ซึ่งแตกต่างจากการศึกษาก่อนหน้านี้ที่พบภาวะไตวายเฉียบพลันมากถึงร้อยละ 13-17 อดีตที่เกิดจากการเลือกผู้ป่วยซึ่งอาจส่งผลต่อประสิทธิภาพของ pentoxifylline ซึ่งจะเห็นได้จากรายงานการทบทวนวรรณกรรมที่พบว่า pentoxifylline ได้ประโยชน์ในการป้องกันการ

เกิดกลุ่มอาการโรคไตในผู้ป่วยตับอักเสบจากแอลกอฮอล์ชนิดรุนแรงเนื่องจาก hepatorenal syndrome โดยมี relative risk เท่ากับ 0.47 (95% CI 0.26-0.86), p=0.018

4. จุดอ่อนสำคัญของการศึกษา คือการคัดเลือกผู้ป่วยที่อาจได้รับประโยชน์ในการใช้ pentoxifylline ออกไปจากการศึกษา ในขณะที่จุดแข็งของการศึกษานี้ คือ วิธีการทำวิจัยที่ทำในหลายโรงพยาบาลหรือทำเป็น randomized control ขนาด

ให้กลับมา แบบ double-blind และมีผู้ป่วยตับอักเสบจากแอลกอฮอล์จำนวนมากถึง 1,103 ราย

5. ประเด็นที่น่าสนใจ จากการศึกษาผลลัพธ์รอง (secondary end points) คือ อัตราการเสียชีวิตและการได้รับการเปลี่ยนตับที่ 3 เดือนและ 1 ปี พบว่าไม่แตกต่างกันในผู้ป่วยที่ได้รับ prednisolone, pentoxifylline, prednisolone ร่วมกับ pentoxifylline และกลุ่มที่ได้รับยาหลอก

6. ข้อสรุป จากผลของการศึกษานี้คงยังไม่สามารถสรุปได้ว่า pentoxifylline นั้นไม่ช่วยในเรื่องการลดชีวิตเมื่อนำมารักษาผู้ป่วยตับอักเสบชนิดรุนแรงจากแอลกอฮอล์ได้ และในแง่ของจริยธรรมที่ควรพิจารณาคือมีผู้ป่วยกลุ่มนหนึ่งได้รับยาหลอก ซึ่งจะทำให้ไม่ได้รับการรักษาโดยยาตราชูราณที่มีอยู่โดยเป็นผู้ป่วยที่มีภาวะตับอักเสบจากแอลกอฮอล์ชนิดรุนแรง จึงไม่เหมาะสม อย่างไรก็ตามภาวะตับอักเสบจากแอลกอฮอล์มีอัตราการเสียชีวิตที่สูงดังนั้นการรักษาประคับประคองอื่นๆ การให้การรักษาด้วยการให้ภาวะโภชนาการที่เหมาะสม การหยุดดื่มแอลกอฮอล์ ยังคงเป็นปัจจัยสำคัญที่จะเพิ่มอัตราการรอดชีวิตในผู้ป่วยกลุ่มนี้

เอกสารอ้างอิง

- Thursz MR, Richardson P, Allison M, et al. Prednisolone or pentoxifylline for alcoholic hepatitis. *N Engl J Med* 2015;372(17):1619-28.
- Mathurin P, Bataller R. Trends in the management and burden of alcoholic liver disease. *J Hepatol* 2015;62(1S): S38-46.
- Louvet A, Mathurin P. Alcoholic liver disease: mechanisms of injury and targeted treatment. *Nature Rev Gastroenterol Hepatol* 2015;12(4):231-42.
- Jinjuvadia R, Liangpunsakul S. Trends in alcoholic hepatitis-related hospitalizations, financial burden, and mortality in the United States. *J Clin Gastroenterol* 2014;25.
- Papastergiou V, Tsochatzis EA, Pieri G, et al. Nine scoring models for short-term mortality in alcoholic hepatitis: cross-validation in a biopsy-proven cohort. *Aliment Pharmacol Ther* 2014;39(7):721-32.
- Mathurin P, O'Grady J, Carithers RL, et al. Corticosteroids improve short-term survival in patients with severe alcoholic hepatitis: meta-analysis of individual patient data. *Gut* 2011;60(2):255-60.
- Mathurin P, Louvet A, Duhamel A, et al. Prednisolone with vs without pentoxifylline and survival of patients with severe alcoholic hepatitis: a randomized clinical trial. *JAMA* 2013;310(10):1033-41.
- Parker R, Armstrong MJ, Corbett C, Rowe IA, Houlihan DD. Systematic review: pentoxifylline for the treatment of severe alcoholic hepatitis. *Aliment Pharmacol Ther* 2013;37(9):845-54.
- De BK, Gangopadhyay S, Dutta D, Baksi SD, Pani A, Ghosh P. Pentoxifylline versus prednisolone for severe alcoholic hepatitis: a randomized controlled trial. *World J Gastroenterol* 2009;15(13):1613-9.
- Park SH, Kim DJ, Kim YS, et al. Pentoxifylline vs. corticosteroid to treat severe alcoholic hepatitis: a randomised, non-inferiority, open trial. *J Hepatol* 2014;61(4):792-8.

Clinicopathological conference

พัชญา บุญชยาอนันต์*
ธิติ สนับบุญ*
จตุพร ชัยฤทธิ์**
ธรรมชร อาคนະเสน***

ผู้ป่วยหญิงไทยหน้ายา อายุ 78 ปี ไม่ได้ประกอบอาชีพ เชื้อชาดิจีน สัญชาติไทย ศาสนาพุทธ ภูมิลำเนาและที่อยู่ปัจจุบันจังหวัดพิจิตร ประวัติได้จากผู้ป่วย ญาติ และเวชระเบียน เชื่อดีอีก รับไว้ในโรงพยาบาลเป็นครั้งที่ 1

Chief complaint: ไข้ ไอ หอบ 10 days PTA

Present illness: เดินผู้ป่วยช่วยเหลือตนเองได้ ทำงานบ้านได้ NYHA FC I

8 months ผู้ป่วยมีก้อนที่คอโตขึ้น เหนื่อยง่าย ใจสั่น น้ำหนักลด 4 กก. (จาก 62 กก. เป็น 58 กก.) ใน 1 เดือน ผู้ป่วยจึงไปพบแพทย์ที่โรงพยาบาลรัฐบาลแห่งหนึ่ง

PE: thyroid enlargement with multiple nodules

Laboratory investigations: FT3 9.3 pg/mL (2.1-3.8)
FT4 3.39 µg/dL (0.93-1.70) TSH < 0.01 µIU/mL (0.27-4.20)

Ultrasound of thyroid:

Multiple hypervascularity iso-slightly hyperechoic nodules at both lobes thyroid (more prominent on right side) variable in size 0.5-1.4 cm.

Cystic lesion with internal septation and nodule at right lateral isthmus lobe, size about 1.9x1.3 cm.

ได้รับการวินิจฉัยเป็น toxic multinodular goiter ได้รับการรักษาเป็น PTU (50 มก.) วันละ 4 เม็ด หลังจากรับประทานยาอาการดีขึ้นบ้าง แต่ยังรู้สึกอ่อนเพลีย น้ำหนักขึ้นมาเป็นปกติ TFT (2 เดือนหลังรักษา) FT3 3.8 pg/mL (2.1-3.8) FT4 1.1 µg/dL (0.93-1.70) TSH 0.05 µIU/mL (0.27-4.20) TSH ไม่เคยปกติ

3 weeks PTA ผู้ป่วยมีไข้ต่ำๆ ไม่ได้วัดไข้ ไม่หน้าสั่น ไข้มักเป็นช่วงกลางคืน รู้สึกตึงก้อนที่ต่อมไทรอยด์ แต่ไม่ปวด บวม หรืออักเสบ มีผลที่ฝ่าเท้าขาวขนาดครึ่งเซนติเมตร มีหนองสีเขียวไหล เป็นหลังจากเหยียบก้อนกรวด ไปซื้อยาจากเชื้อมารับประทานเองอาการไม่ดีขึ้น ยังเดินได้ตามปกติ แต่รู้สึกอ่อนเพลีย เหนื่อยง่ายขึ้น ทำงานบ้านได้ไม่นานเท่าเดิม จึงเดินทางมาหาลูกสาวที่จังหวัดสมุทรปราการ

*สาขาวิชาดื่มน้ำรักษา
ภาควิชาอายุรศาสตร์
คณะแพทยศาสตร์
จุฬาลงกรณ์มหาวิทยาลัย
**ภาควิชารังสีวิทยา
คณะแพทยศาสตร์
จุฬาลงกรณ์มหาวิทยาลัย
***ภาควิชาพยาธิวิทยา
คณะแพทยศาสตร์
จุฬาลงกรณ์มหาวิทยาลัย

10 days PTA ผู้ป่วยยังมีไข้สูงและเริ่มไอมีเสมหะสีขาวขุ่น ไม่มีเจ็บหน้าอကเวลาหายใจ ผลที่เท้ายังไม่ดีขึ้น ลูกสาวจึงพาไปพบแพทย์ที่โรงพยาบาลเอกชน ตรวจเอ็กซ์ปอด พบว่ามี right lower lung infiltration ไม่ได้เจาะเลือด วินิจฉัยเป็น pneumonia with infected wound ได้รับการรักษาเป็น ceftriaxone 2 g./วัน นาน 3 วัน โดยให้ยาเป็นผู้ป่วยนอก หลังจากได้ยาอาการไม่ดีขึ้น

7 days PTA ผู้ป่วยจึงกลับไปพบแพทย์ที่โรงพยาบาลเอกชนแห่งเดิม และได้รับตัวไว้นอนในโรงพยาบาล

PE: VS BT 38.1°C BP 127/81 mmHg PR 92/min RR 23/min

HEENT: enlarged thyroid 45 g, no exophthalmos, no tremor

Lung: crepitation at left right lower lung zone

Extremities: wound 0.5 cm with 2 cm overlying skin necrosis at plantar side of right foot with pus discharge

Laboratory investigations

Hb 7.4 g/dL, Hct 22.6%, MCV 86.9 fL, RDW 23.7% WBC 1,400/ μ L (N 75% L 22% M 2% Eo 0% B 1%), platelet 104,000/ μ L, PT 14.9/11.3, INR 1.3, PTT 30.2/28.9

TFT: FT3 1.27 pg/mL (2.0-4.4), TSH < 0.005 μ IU/mL (0.27-4.20)

Hemoculture: no growth

ได้รับการวินิจฉัยว่าเป็น pneumonia with sepsis with neutropenia from antithyroid drug ได้รับการรักษาเป็น imipenem/cilastatin 500 mg. ทุก 6 ชั่วโมง และ G-CSF 300 mg. ได้พิวหนังวันละครึ่ง ร่วมกับหยุด PTU และเปลี่ยนเป็น MMI (5 mg.) วันละ 1 เม็ด และ debridement right

foot ได้หานอง 3 mL. ไม่ได้ส่งเพาะเชื้อ และให้ PRC 1 unit

CBC on admission day 3 Hb 8.3 g/dL, Hct 24.8%, MCV 86.9 fL, RDW 21.3% WBC 3,000/ μ L (N 87% L 11% M 2% Eo 0% B 1%), platelet 118,000/ μ L

ระหว่างนอนอยู่ที่โรงพยาบาลผู้ป่วยไข้ลดลง อาการไอดีขึ้น แต่อารมณ์ยังไม่ดี ตรวจพบว่ามีน้ำตาลในเลือดต่ำ 48 mg./dl. แต่ผู้ป่วยรู้ตัวตลอด ไม่ชื่น ผู้ป่วยจึงได้รับน้ำเกลือเป็น 10% DNSS/2 60 mL./ชั่วโมง หลังจากนั้นเจ้าหน้าตาลปลายนิ้ว ได้ออยู่ระหว่าง 60-70 mg./dl. ผู้ป่วยเหนื่อยหอบมากขึ้นร่วมกับมีปัญหารื่องค่ารักษาพยาบาลที่โรงพยาบาลเอกชนหลังอยู่โรงพยาบาลได้ 7 วัน ญาติจึงขอมารักษาต่อที่โรงพยาบาลจุฬาลงกรณ์ หลังจากออกจากโรงพยาบาลผู้ป่วยมาที่โรงพยาบาลจุฬาลงกรณ์ทันที

แรกรับที่ห้องฉุกเฉินผู้ป่วยรู้ตัวรู้เรื่องดี เจ้าหน้าตาลปลายนิ้วได้ 40 mg./dl. ไม่มีเหงื่ออออก ไม่ไข้ สั่น

ระหว่างไม่สบาย 3 ลักษณะที่ผ่านมา ไม่มีน้ำหนักลดเพิ่ม

Past history

30 years PTA ผู้ป่วยมีอาการหัวบ่อบอย ใจสั่น น้ำหนักลด มีก้อนที่คอโต จึงมาพบแพทย์ที่โรงพยาบาลจุฬาลงกรณ์ ก่อนกว่าเป็นคอดหอยพอกเป็นพิษ ได้รับการรักษาโดยการกลืนแร่ หลังจากนั้นอาการปกติ ไม่มีรายละเอียดเนื่องจากเวชระเบียนถูกทำลาย

ไม่เคยใช้ยาต้ม ยาหม่อง ยาลูกคลอน ยาสมุนไพร

Obstetrics and gynecologic history

PARA 5-0-0-5 last 44

Social history

ไม่ดื่มสุรา ไม่สูบบุหรี่
ไม่เคยใช้สารเสพติด

Physical examination

An elderly Asian female, alert, well co-operative

Vital signs: BT 38°C RR 24/min BP 118/59 mmHg PR 110/min regular

HEENT: mildly pale conjunctivae, anicteric sclerae, no exophthalmos, no lid lag, no staring thyroid 45 g with multiple thyroid nodule, firm consistency, no bruit, no thrill, no cervical lymphadenopathy

RS: equal chest expansion, decrease breath sound with coarse crepitation at right lower lung zone, increased vocal and tactile fremitus, egophony positive

CVS: neck vein not engorged, PMI at 5th ICS, MCL, no heaves, no thrills, normal S1, S2 no murmurs

Abdomen: no distension, active bowel sound, soft not tender, liver and spleen can't be palpated, liver span 10 cm, splenic dullness negative

Extremities: no pitting edema, well granulated ulcer at plantar side of right foot, no discharge

Lymph node: no lymphadenopathy

Neurological examination:

Fully conscious, well co-operative

Cranial nerves

- CN II: pupil 3 mm RTLBE, RAPD-negative, normal VF

- Eye ground: no papilledema, sharp disc, normal venous pulsation

- CN III/IV/VI: full EOM

- CN V: normal facial sensation, normal motor power of muscle of mastication, corneal reflex positive

- CN VII: no facial weakness

- CNVIII: no nystagmus, normal auditory sense

- CN IX, X: normal gag reflex, uvula in midline

- CN XI, XII: normal

Motor: no fasciculation, normal muscle tone, normal muscle mass

Motor power: grade V all

BBK plantar flexion both, clonus negative both

Reflex: Deep tendon reflex 2 + all except 0 at both ankle reflexes

Sensory: normal pinprick sensation

Meningeal irritation signs: no stiff neck, negative Kernig's sign

Cerebellar signs: normal FTN, no dysdiadokokinesia, Romberg's sign negative, tandem gait negative

Laboratory investigations

Hb 9.8 g/dL, Hct 30.6% (MCV 92.8 fL, RDW 19.4%), WBC 2,270/ μ L (N 64.8% L 30.7% M 0.9% Eo 0% B 0.2%), platelet 200,000/ μ L, PT 14.0/11.3 วินาที, INR 1.3, PTT 30/28.9 วินาที

UA: sp.gr.1.015 pH 6, protein 1+, RBC 5-10/HPF, WBC 0-1/HPF

BUN/Cr: 9/0.4 mg/dL

Electrolytes: Na 134 mmol/L, K 2.9 mmol/L, Cl 101 mmol/L, HCO₃ 11 mmol/L, Ca 9.7 mg/dL, phosphate 3.7 mg/dL, Mg 0.76 mmol/L, Uric acid 6.6 mg/dL, LDH 155 U/L (125-220)

TP 7.9 g/dL, alb 2.5 g/dL, Glo 5.4 g/dL, TB/DB 0.66/0.34 mg/dL, SGOT/SGPT 31/12 U/L, ALP 141 U/L

RPG 48 mg/dL, cortisol 16.6 mg/dL insulin <2 μU/mL, C-peptide 0.1 nmol/L

ABG (room air): pH 7.304, pO₂ 101.7 mmHg, pCO₂ 26.8 mmHg, HCO₃ 13.4 mmol/L, O₂sat 97.7%, lactate 12.5 mmol/L

TFT: FT4 1.04 μg/dL (0.8-1.8), FT3 3.14 pg/mL (1.6-4.0), TSH 0.01 μIU/mL (0.3-4.1)

Anti-HIV negative, HBsAg negative anti-HBs negative, anti-HBc positive anti-HCV negative

การอภิปราย พัชญา บุญชยาอนันท์

8 เดือนก่อน ผู้ป่วยมีน้ำหนักลดและมีก้อนที่ thyroid gland ultrasonography พบว่าเป็น multinodular thyroid enlargement ซึ่งไม่มีลักษณะที่สงสัยว่าเป็นมะเร็ง (microcalcification, hypoechoic, increase nodular vascularity, infiltrative margins, taller than wide on transverse view) ร่วมกับ thyroid function test เป็น hyperthyroidism เข้าได้กับ toxic multinodular goiter หรือ Graves' disease with cold nodule ซึ่งสามารถวินิจฉัยแยกโรคกันได้โดยใช้ thyroid scan แต่ผู้ป่วยรายนี้ไม่ได้ทำ ซึ่งหลังจากผู้ป่วยได้

PTU ผู้ป่วยอาการดีขึ้น

3 สัปดาห์ก่อน ผู้ป่วยมีไข้ ไปตรวจที่โรงพยาบาลเอกชนพบว่ามีปอดติดเชื้อ และพบว่ามี pancytopenia ซึ่งแพทย์เจ้าของไข้คิดว่าเป็นจาก PTU ซึ่งเมื่อลองค้นหาข้อมูลพบว่า PTU ทำให้เกิด pancytopenia ได้น้อย (1: 10,000) แต่สามารถทำให้เกิด agranulocytosis ได้ร้อยละ 0.1-0.5 และ onset ของ pancytopenia ในผู้ป่วยรายนี้เกิดที่ 7 เดือนหลังจากได้รับการรักษา ซึ่งส่วนใหญ่ระยะเวลาที่เกิด pancytopenia อยู่ที่ 41 วัน เพราะฉะนั้น ผู้ป่วยรายนี้จึงไม่น่าเกิด pancytopenia จาก PTU และแพทย์เจ้าของไข้ได้เปลี่ยนจาก PTU เป็น MMI ซึ่งสามารถมี cross reaction กันได้น้อย คิดว่า pancytopenia ในผู้ป่วยรายนี้เกิดจาก bone marrow disease มากกว่า ต่อมาผู้ป่วยตรวจพบว่ามีน้ำตาลในเลือดต่ำ FPG 48 มก./ดล. แต่ผู้ป่วยไม่มีอาการของ hypoglycemia รู้ตัวดีตลอด ร่วมกับมี widened anion gap metabolic acidosis ขณะนั้นได้ตรวจเพิ่มเติม พบว่า insulin และ C-peptide ต่ำ และมี cortisol อยู่เกณฑ์ปกติ และพบภาวะ lactic acidosis สาเหตุของ hypoglycemia ในผู้ป่วยรายนี้ น่าจะมีสาเหตุจาก IGF-mediated hypoglycemia หรือ overutilization ส่วน lactic acidosis ในผู้ป่วยรายนี้น่าจะเป็น lactic acidosis type B มากกว่า เนื่องจากไม่มีประวัติของ hypoxemia/hypo-perfusion แต่ก็ไม่มีประวัติการได้รับยาที่ทำให้เกิด lactic acidosis โดยภาพรวมเมื่อนำปัญหาของผู้ป่วยรายนี้มารวมกันคือ prolonged fever, pancytopenia, hypoglycemia, lactic acidosis และนำไปสืบค้นข้อมูลเพิ่มเติม คิดว่าผู้ป่วยรายนี้เข้าได้กับ hyperwarburgism ซึ่งพบได้ใน lymphoma ที่มี tumor burden เยอะ ซึ่งผู้ป่วยรายนี้มี pancytopenia การทำ bone marrow biopsy น่าจะนำไปสู่การวินิจฉัยได้ และควรทำ CT whole body for

staging

Diagnosis: aggressive lymphoma with hyperwarburgism

Differential diagnosis: IGF-2 producing tumor

จตุพร ชัยฤทธิ์

Chest X-ray: patchy infiltration at RLL, normal mediastinum and heart ร่วมกับ clinical คิดว่าเป็น pneumonia หลังการรักษาพบว่า RLL infiltration ดีขึ้น

Right foot: mild soft tissue swelling, no bone erosion

Thyroid scan: diffuse increase iodine uptake in thyroid gland, with cold nodules น่าจะเป็น Graves' disease with cold nodules

ธรรมธร อากะนะเสน

Bone marrow biopsy

Hypercellular bone marrow

Tumor cells infiltration, loose nuclear chromatin and increased N: C ratio compatible with blast cells

Other hematopoietic cells was decreased

Immunohistochemistry:

- Tdt+, CD34+ compatible with blast cells

- PAX5+, CD20+ compatible with B cell lineage

- CD3-, MPO-, CD117-excluded T cell lineage and Myeloid lineage

Diagnosis: B cell lymphoblastic lymphoma/leukemia

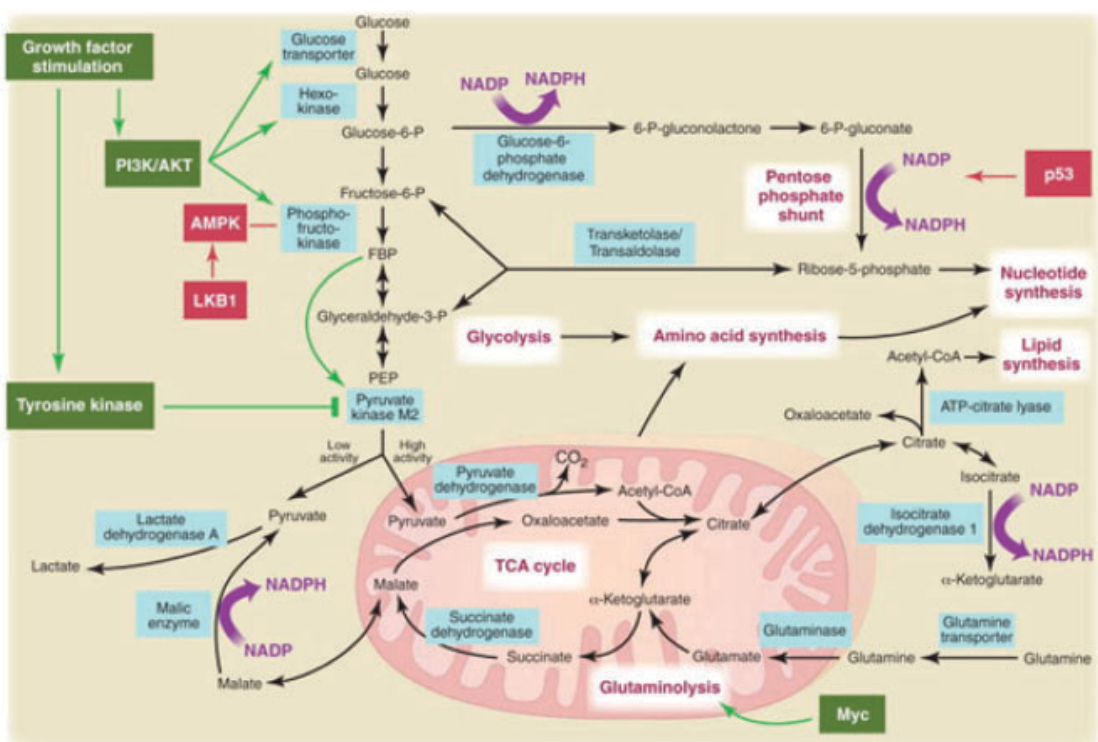
ธิติ สันนบุญ

Warburg effect ถูกค้นพบตั้งแต่ ค.ศ. 1931 โดย นายแพทย์ Otto Heinrich Warburg คือ ภาวะที่ cells ใช้ anaerobic glycolysis เพื่อการเจริญเติบโต ซึ่งก็มีผู้พยายามอธิบายกลไกไว้หลายอย่าง เช่น hexokinase overexpression, thiamine deficiency เป็นต้น (ดังรูปที่ 1)

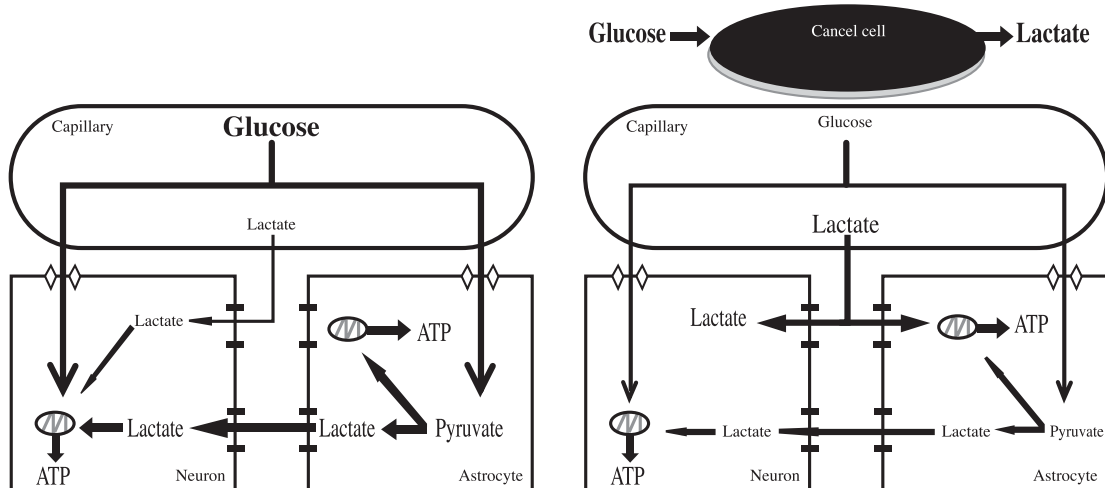
ผู้ป่วยรายนี้ขยะได้ glucose ทางหลอดเลือดดำก็พบว่ามี lactate ที่มากขึ้นก็เป็นการยืนยันว่า ผู้ป่วยรายนี้มี hyperwarburgism ส่วนที่ผู้ป่วยรายนี้ไม่มี neuroglycopenic symptom เนื่องจากสมองสามารถใช้ lactate เป็นพลังงานได้ (ดังรูปที่ 2)

ผู้ป่วยรายนี้ปฏิเสธการให้ยาเคมีบำบัดและเสียชีวิตลง

Final diagnosis: B cell lymphoblastic lymphoma/leukemia with hyperwarburgism



រូបភាព 1.



រូបភាព 2.

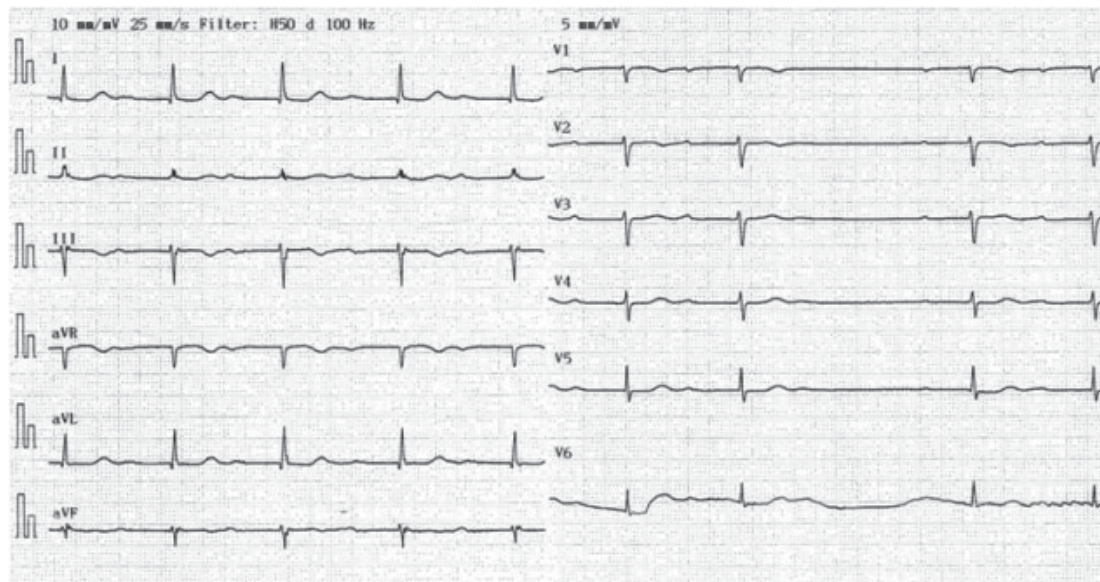
เอกสารอ้างอิง

1. Benjamin Kloesel,†Rakhee Vaidya, Matthew T. Howard‡and Carrie A. Thompson, A unifying diagnosis for pancytopenia, fever, hypoglycemia, and lactic acidosis, *Am J Hematol* 2013;88 (1):78-81.
2. Berend K, de Vries AP, Gans RO. Physiological approach to assessment of acid-base disturbances, *N Engl J Med* 2014;371(15):1434-45.
3. Elhomsy GC, Eranki V, Albert SG, Fesler MJ, Parker SM, Michael AG, Griffing GT, "Hyper-warburgism," a cause of asymptomatic hypoglycemia with lactic acidosis in a patient with non-Hodgkin's lymphoma. *J Clin Endocrinol Metab* 2012;97(12):4311-6.
4. Watanabe N, Narimatsu H, Noh JY, Yamaguchi T, Kobayashi K, Kami M, Kunii Y, Mukasa K, Ito K, Ito K., Antithyroid drug-induced hematopoietic damage: a retrospective cohort study of agranulocytosis and pancytopenia involving 50,385 patients with Graves' disease. *J Clin Endocrinol Metab* 2012;97(1):E49-53.
5. Philip E. Cryer, Lloyd Axelrod, Ashley B. Grossman, Simon R. Heller, Victor M. Montori, Elizabeth R. Seaquist, and F. John Service, Evaluation and management of adult hypoglycemic disorders: an endocrine society clinical practice guideline, *J Clin Endocrinol Metab* 2009;94(3): 709-28.
6. Vander Heiden MG, Cantley LC, Thompson CB. Understanding the warburg effect: the metabolic requirements of cell proliferation, *Science* 2009;324(5930):1029-33.
7. Yevgeniya Dynkevich, Kristina I. Rother, Ian Whitford, Sana Qureshi, Sneha Galiveeti, Alessandra L. Szulc, et al. Tumors, IGF-2, and hypoglycemia: insights from the clinic, the laboratory, and the historical archive. *Endocr Rev* 2013; 34(6):798-826.

EKG quiz

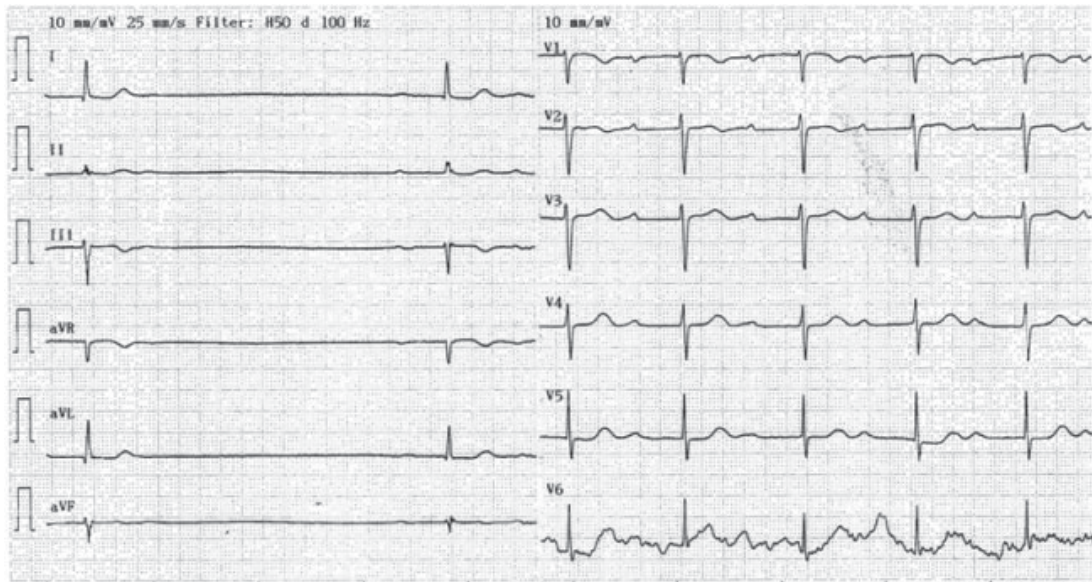
สรา Vuadit ศิวะโนกยธรรม*

ผู้ป่วยชายไทย อายุ 90 ปี มาด้วยอาการหน้ามืด เหนื่องจะวูบ แต่ยังไม่หมดสติ แพทย์ตรวจร่างกายพบหัวใจเต้นผิดจังหวะจึงทำ EKG และงดังรูปที่ 1 ต่อมาผู้ป่วยบ่นอาการเดิมอีก จึงตรวจ EKG ซ้ำแสดงดังรูปที่ 2



รูปที่ 1 แรกรับ

*ภาควิชาอายุรศาสตร์ คณะแพทยศาสตร์ จุฬาลงกรณ์มหาวิทยาลัย



รูปที่ 2 ติดตามต่อมา

คําถาม

1. จงอ่าน EKG รายนี้
2. ท่านคิดว่าพยาธิสภาพอยู่ในระดับใด
3. แนวทางการรักษา

Spot diagnosis

มงคลธิดา อัมพลดีเยร*

ชิติ สนับนุญ**

ผู้ป่วยชายไทยคู่ อายุ 43 ปี ปรึกษาเรื่องเต้านมโต ประมาณ 1 เดือน ไม่เจ็บหรือมีเลือดออก สังเกตว่ามีตุ่นหนองกล้ายสิวขึ้นตามตัวและใบหน้าร่วมกับความต้องการทางเพศลดลง (loss of libido) โรคประจำตัวได้แก่ เบาหวาน และความดันโลหิตสูง วินิจฉัยเมื่อ 6 เดือนก่อนควบคุมด้วย glipizide และ amlodipine ตรวจร่างกายพบความดันโลหิตปกติ (130/80 mmHg) ร่วมกับ cushingoid appearance (facial plethora, moon face, buffalo hump, truncal obesity และ purplish striae), bilateral gynecomastia ขนาดประมาณ 3 ซม. ไม่เจ็บหรือมี discharge, proximal muscle weakness ทั้งแขนและขา ร่วมกับ muscle atrophy และผื่นชนิด acneiform eruptions กระจายตามตัวและใบหน้า (รูปที่ 1) ผลตรวจทางห้องปฏิบัติการ พบ hyperglycemia (PG 180 mg/dL, HbA1c 8.5%) ร่วมกับภาวะ hypokalemia (K^+ 2.9 mEq/L) และ metabolic alkalosis (HCO_3^- 30 mEq/L)



รูปที่ 1

จงให้การวินิจฉัย

คุณลักษณะ 116

*แพทย์ประจำบ้านต่อยอด สาขาวิชาต่อมีร้อก กากวิชาอาชญาศาสตร์ คณะแพทยศาสตร์ จุฬาลงกรณ์มหาวิทยาลัย

**สาขาวิชาต่อมีร้อก กากวิชาอาชญาศาสตร์ คณะแพทยศาสตร์ จุฬาลงกรณ์มหาวิทยาลัย

เฉลย EKG quiz

จากรูปที่ 1 เมื่อพิจารณาจะเห็นว่า จังหวะการเต้นของหัวใจโดยรวมเต้นช้ากว่าปกติ (brady-arrhythmia) คือน้อยกว่า 60 ครั้งต่อนาที โดยพบจังหวะการเต้นของหัวใจ慢ๆ เสมอในช่วงแรก สัดส่วนของ P wave ต่อ QRS complex เท่ากับ 1 ต่อ 1 เห็น P wave นำ QRS ทุกตัว โดย positive P wave ใน lead II, III, aVF และ biphasic P wave ใน lead V1 เข้าได้กับ sinus bradycardia นอกจากนี้ ยังพบมี prolongation ของ PR interval (มากกว่า 200 มิลลิวินาที หรือ 5 ช่องเล็ก) ในรายนี้พบระยะ PR interval ถึง 480 มิลลิวินาที ซึ่งเป็นระยะที่ยาวมาก โดยทั่วไประยะ PR interval ใน first degree atrioventricular (AV) block จะอยู่ระหว่าง 200-400 มิลลิวินาที แต่มีรายงานว่าใน first degree AV block สามารถพบ PR interval ยาวได้สูงสุดถึง 600 มิลลิวินาที ได้¹ ในกรณี first degree AV block ที่พบ PR interval ยาวมากกว่า 300 มิลลิวินาที ร่วมกับ QRS complex ตัวแคน (น้อยกว่า 120 มิลลิวินาที) อย่างเช่นในผู้ป่วยรายนี้ บ่งชี้ว่า first degree block ที่พบนี้ มีพยาธิสภาพอยู่ที่ระดับ AV node (intranodal) มากกว่าที่ระดับ infranodal² และการพบ PR interval ที่ยาวมากเช่นนี้ทำให้ P wave เข้าไปอยู่ใกล้กับ T wave ของตัวก่อนหน้านี้ ทำให้เวลาดูเพิ่นๆ คล้ายกับเป็น U wave ได้

ต่อมาเมื่อพิจารณา tracing ในช่วงท้ายพบว่ามีการยืดออกของช่วงจังหวะการเต้นของหัวใจไปช้าลง (ระยะ RR interval ของ QRS complex ตัวที่ 7 และ 8 ห่างออก) เมื่อเห็นลักษณะเช่นนี้เรา มีวินิจฉัยแยกโรคดังนี้

- (1) Second degree sinoatrial (SA) block mobitz type I
- (2) Second degree SA block mobitz

type II

(3) Second degree AV block mobitz

type I

(4) Second degree AV block mobitz

type II

(5) Sinus pause/sinus arrest

(6) Sinus arrhythmia

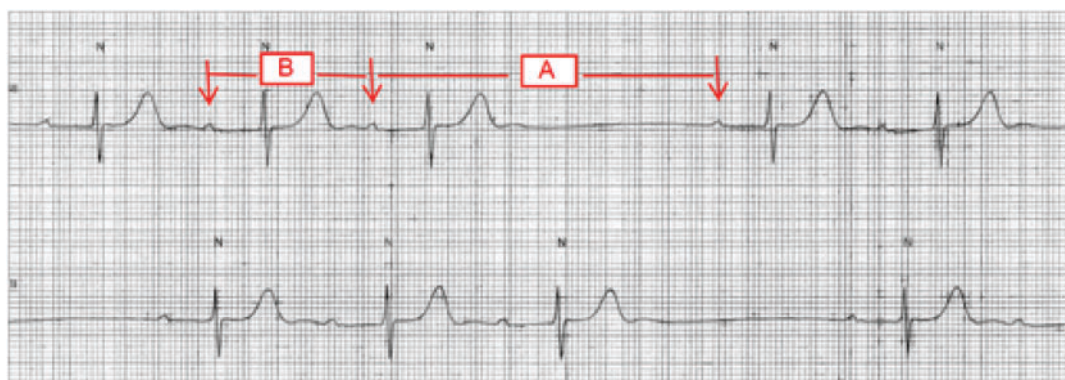
โดยวิธีแยก (1) และ (2) ออกจาก (3) และ (4) โดยการสังเกตช่วงบริเวณที่ยืดออกว่ามี P wave ปรากฏหรือไม่ ถ้าพบ P wave แต่ไม่มี QRS complex ที่ conduct ตามมา บ่งถึง second degree AV block [ข้อ (3) หรือ (4)] ถ้าไม่พบ P wave ในช่วงที่ยืดออกอย่างเช่นในผู้ป่วยรายนี้เข้าได้กับ second degree SA block [ข้อ (1) หรือ (2)] บ่งถึงพยาธิสภาพที่ระดับ SA node ซึ่งความผิดปกติอาจเป็นได้ทั้งจากการผลิตกระแสไฟฟ้า (pulse generation) จากตันกำนิดไฟฟ้า SA node หรือการนำไฟฟ้า (electrical conduction) ที่ผิดปกติในหัวใจห้องบน ส่วน sinus arrhythmia สามารถตัดออกได้ในรายนี้เนื่องจากไม่มีลักษณะการเปลี่ยนแปลงที่ค่อยเป็นค่อยไปเป็นช่วงๆ ในรายนี้ PP interval สม่ำเสมอตามลดลงแต่เมื่อยืดออกทันทีก็กลับไป

วิธีแยกระหว่าง second degree SA exit block mobitz type I กับ mobitz type II ให้สังเกตว่ามี shortening ของ PP interval ก่อนที่จะยืดออกหรือไม่ ถ้าพบแสดงว่าเป็น second degree SA block mobitz type I ถ้าไม่มี shortening ของ PP interval นำมา ก่อนอย่างเช่นในผู้ป่วยรายนี้ จะคิดถึง second degree SA block mobitz type II มากกว่า ขั้นตอนต่อมาเมื่อเห็น pause ต้องวิเคราะห์ระดับความรุนแรงต่อไปว่าเป็น second degree SA block หรือ high grade SA block

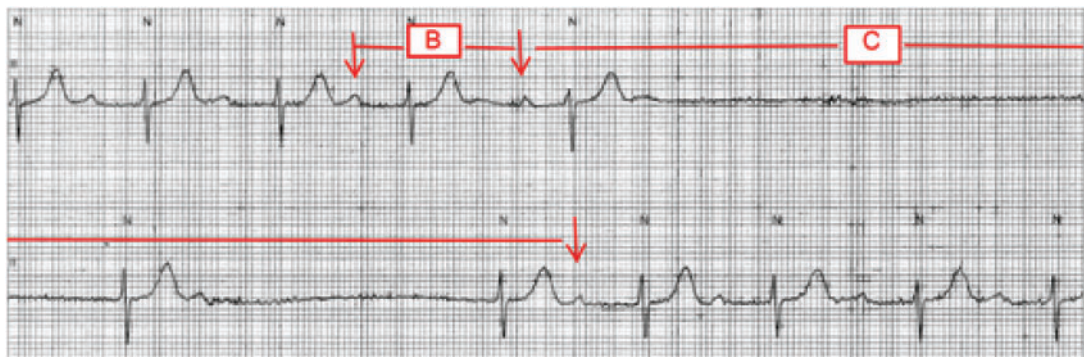
หรือ sinus pause โดยการดู ระยะที่ pause ว่าเป็นจำนวนเท่าของ PP interval ขณะปกติหรือไม่ โดยใน second degree SA block รวมถึง high grade SA block จะพบว่าระยะที่ pause มีระยะเป็นเท่าๆตัว 2 เท่าขึ้นไป เช่น 2 เท่า 3 เท่า หรือมากกว่า เป็นต้น³ ดังรูปที่ 3 แสดงระยะของ pause ระยะ A ซึ่งมีระยะเป็น 2 เท่าของ B (PP interval ช่วงปกติ) ใน second degree SA block หากระยะที่คัดออกไม่เป็นสัดส่วนเท่ากับจำนวนเท่าของ PP interval ขณะปกติ จะเรียกว่า sinus pause แทน และหากระยะ pause ยาวนานกว่า 2-3 วินาที (10-15 ช่องใหญ่) จะเรียก sinus arrest ซึ่งมักจะส่งผลต่อ hemodynamic ของผู้ป่วย

ข้อสรุปจากรูปที่ 1 ดังนี้ ผู้ป่วยรายนี้มีพยาธิ-สภานั้นที่ SA และ AV node (binodal disease) โดยมีความรุนแรงขั้น second degree block mobitz type II ที่ระดับ SA node และความรุนแรงขั้น first degree block ที่ระดับ AV node

รูป EKG ที่ 2 เป็นการติดตาม EKG ผู้ป่วย ในเวลาต่อมา พบร่วงที่ pause มีการคัดออกนานเพิ่มขึ้นกว่าเดิมและไม่เป็นจำนวนเท่าของ PP interval ขณะปกติ แสดงดังรูปที่ 4 ระยะของ C ซึ่งมีระยะที่ไม่เป็นจำนวนเท่าของระยะ B นอกจากนี้ C ยังมีระยะที่นานกว่า 3 วินาที เท่าไก่กับ sinus arrest โดยมี junctional escape beat ออกมาให้เห็นในระหว่าง pause ดังกล่าว



รูปที่ 3. แสดง second degree SA block ระยะ A เป็น 2 เท่าของระยะ B



รูปที่ 4. แสดง sinus arrest และมี junctional escape rhythm หลุดออกมานะ

การเปลี่ยนแปลงจากรูปที่ 1 ไปเป็นรูปที่ 2 บ่งบอกว่าระดับความรุนแรงของพยาธิสภาพเพิ่มระดับมากขึ้นกว่าเดิมจาก second degree SA block ไปเป็น sinus arrest ซึ่งสามารถอธิบายอาการของผู้ป่วยรายนี้ได้ การรักษาต้องหาสาเหตุภายในหรือภายนอกที่มีผลก่อการทำงานของ SA และ AV node ถ้าไม่พบสาเหตุที่แก้ไขได้ประกอบกับอายุที่มาก น่าจะเป็นจากสาเหตุ degenerative disease การพบ inappropriate sinus bradycardia และ sinus arrest โดยไม่มีสาเหตุจากภายนอก ร่วมกับพบอาการของ low cerebral perfusion เช้า ได้กับภาวะ sick sinus syndrome จึงเป็นข้อบ่งชี้ในการใส่ permanent pacemaker (PPM) ต่อไปในรายที่มีพยาธิสภาพทั้งที่ SA และ AV node จึง

เหมาะสมสำหรับ PPM ชนิด dual chambers pacemaker

เอกสารอ้างอิง

1. Borys S, Timothy KK. Atrioventricular block; concealed conduction; gap phenomenon. In: Borys S, Timothy KK, eds. Chou's Electrocardiography in Clinical Practice. Pennsylvania: Saunders Elsevier, 2008: 456-80.
2. Josephson ME. Atrioventricular conduction. In: Josephson ME, editor. Clinical Cardiac Electrophysiology: Techniques and Interpretations, 4th ed, Philadelphia: Lippincott Williams & Wilkins, 2008.
3. Borys S, Timothy KK. Sinus rhythms: electrocardiographic patterns. In: Borys S, Timothy KK, eds. Chou's Electrocardiography in Clinical Practice. Pennsylvania: W.B. Saunders, 2001: 310-28.

เฉลย spot diagnosis

ลักษณะของผู้ป่วยเจ้ากับภาวะ hypercortisolism หรือ Cushing syndrome (CS) ซึ่งโดยทั่วไปอาจพบภาวะ gynecomastia ร่วมด้วยได้ แต่ถ้าภาวะ gynecomastia นั้นเกิดจากระดับฮอร์โมน estrogen ที่สูงผิดปกติ (hyperestrogenism) จากโรค adrenal CS แล้วจะเป็นตัวบ่งชี้ว่าเนื้องอกต่อมหมวกไตนั้นเป็นชนิด malignancy หรือ adrenocortical carcinoma (ACC) ซึ่งภายในเนื้องอกจะมีเอนไซม์ aromatase เปลี่ยนฮอร์โมน androgens ที่ได้จากการสร้างฮอร์โมน steroids ปริมาณมากเป็นฮอร์โมน estrogen

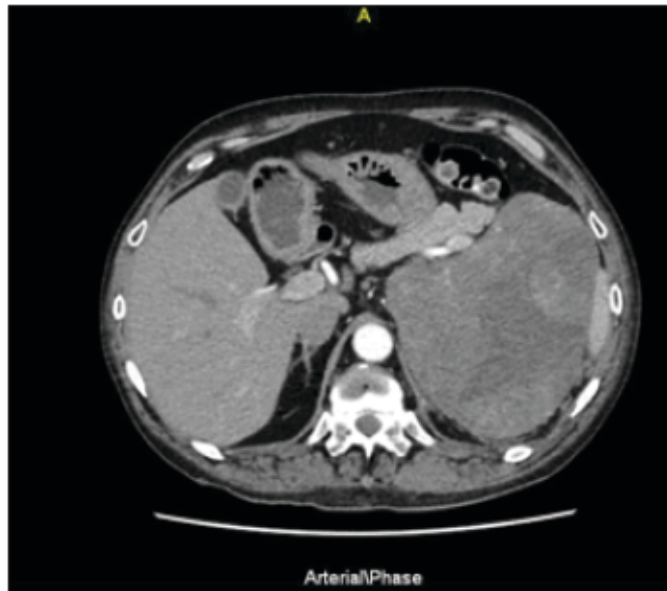
ผลทางห้องปฏิบัติการของผู้ป่วย

Urinary free cortisol (UFC) 610 มคก./วัน (ค่าปกติ 21-143), ACTH <10 พิโคก./มล. (ค่าปกติ 10-75), DHEAS 1,115 มคก./ดล. (ค่าปกติ 80-560)

FSH <0.1 IU/l. (1.0-8.4), LH <0.1 IU/l. (ค่าปกติ 1.0-10.5), testosterone 17.5 นาโนโมล/l. (ค่าปกติ 5.9-24.7), estrogen 1,221 พิโคโมล/l. (ค่าปกติ 0-130), SHBG 16.1 นาโนโมล/l. (ค่าปกติ 14.5-48.4)

CT adrenal gland พบ heterogenous enhancing mass lesion ที่บริเวณ left suprarenal mass with calcifications and necrosis ขนาด 10x12x13 ซม. (รูปที่ 2)

ผลพยาธิ เข้าได้กับ adrenocortical carcinoma



รูปที่ 2

Feminizing ACC

ACC เป็นมะเร็งที่พบไม่บ่อย อุบัติการณ์ประมาณ 1 ต่อประชากรถ้านรายต่อปีแต่มีความรุนแรงและตอบสนองต่อการรักษาไม่ดี พบรากในสองช่วงอายุ (bimodal distribution) คือ ช่วงเด็ก (5-10 ปี) และช่วงผู้ใหญ่ (40-50 ปี) ความผิดปกติทางคลินิกที่พบ คือ เนื้องอก (adrenal tumor) ขนาดใหญ่ (มากกว่า 4 ซม.) กดหรือกระเจาสู่อวัยวะข้างเคียง เช่น ปอด ตับ และหลอดเลือดดำใหญ่ (inferior vena cava, IVC) เป็นต้น นอกจากนี้เนื้องอกประมาณร้อยละ 60 สามารถหลังซอร์บิโนน (functioning) ทำให้เกิดกลุ่มอาการ CS, hirsutism หรือ virilization ในเพศหญิง และ feminization ในเพศชาย ซึ่งในกรณีหลังนี้พบได้น้อยมากหรือประมาณร้อยละ 2 ของเนื้องอกชนิด ACC โดยผู้ป่วยเพศชายจะพบปัญหา gynecomastia ร่วมกับ loss of libido และ testicular atrophy การรักษาคือ การผ่าตัด แต่ผู้ป่วยถึงร้อยละ 5 ที่ไม่สามารถทำการรักษาได้ (unresectable tumor) ดังนั้นการวินิจฉัยโรคช่วงระยะเริ่มต้นมีความสำคัญในการกำหนดพยากรณ์โรคของผู้ป่วย

เอกสารอ้างอิง

- Allolio B, Fassnacht M. Clinical review: adrenocortical carcinoma: clinical update. J Clin Endocrinol Metab 2006;91:2027-37.

CME credit

การอ่านวารสารจุฬาอัयรศาสตร์ สามารถขอ CME credit ได้ฉบับละ 3 เครดิตชั่วโมง เป็นสื่อการศึกษาต่อเนื่อง สำหรับแพทย์ กิจกรรมกลุ่มที่ 3 ประเภทที่ 23 (ศึกษาด้วยตนเอง) โดยโครงการการศึกษาต่อเนื่อง คณะแพทยศาสตร์ จุฬาลงกรณ์มหาวิทยาลัย ตามเกณฑ์ของศูนย์การศึกษาต่อเนื่องของแพทย์แผนไทยสากล โดยตอบคำถามข้างล่างนี้ส่งมาบัง

นายแพทย์ชุมณาน สวนกระต่าย

วารสารจุฬาอัยรศาสตร์ ภาควิชาอัยรศาสตร์

คณะแพทยศาสตร์ จุฬาลงกรณ์มหาวิทยาลัย

กรุงเทพฯ 10330

โดยกรอกชื่อที่อยู่ และเลขที่ใบประกันวิชาชีพเวชกรรม ภาควิชาอัยรศาสตร์ จะได้บันทึกเครดิตให้ท่านโดยสามารถตรวจสอบข้อมูลข่าวสารจากศูนย์การศึกษาต่อเนื่อง <http://www.ccme.or.th> หรือ (02) 9386794 ต่อ 13

คำถาม

1. จากการศึกษาลักษณะคลินิกของ VTE ในผู้ป่วยมะเร็ง ข้อใดถูกต้อง?
 - ก. พบ DVT 101 ราย PE 42 ราย และทึ้งคู่ 12 ราย
 - ข. เป็นเพศชายร้อยละ 65.2
 - ค. อายุเฉลี่ย 16.3 ปี
 - ง. มีมะเร็งร่วมร้อยละ 74.1
2. จากการศึกษาลักษณะคลินิกของ VTE ในผู้ป่วยมะเร็ง พบร่วมกับน้ำเหลืองที่สุด
 - ก. ลำไส้ใหญ่และทวารหนัก
 - ข. นดูกล
 - ค. รังไข่
 - ง. โอลิทวิทยา
 - จ. ท่อน้ำดี
3. จากการศึกษาความสัมพันธ์ระหว่าง *S. bovis* และโรคตับหรือทางเดินน้ำดี ข้อใดถูกต้อง?
 - ก. มีผู้ป่วยทั้งหมด 140 ราย เป็นชาย 65 ราย
 - ข. มีค่าอายุเฉลี่ย 16.36 ปี
 - ค. มี *S. bovis* biotype 2 = 13 ราย biotype 1 = 127 ราย
 - ง. มีความแตกต่างในจำนวนผู้ป่วยที่มีพนแพททีด้วยอาการปวดท้อง
 - จ. พบ heart murmur 5 ราย ใน *S. bovis* biotype 2

4. จากการศึกษาความสัมพันธ์ระหว่าง *S. bovis* biotype ข้อใดถูกต้อง?
 - ก. Biotype 1 มีโรคตับร้อยละ 41.7
 - ข. Biotype 1 มีโรคทางเดินน้ำดีร้อยละ 4.7
 - ค. Biotype 2 มีโรคตับและทางเดินน้ำดีร้อยละ 46.5
 - ง. Biotype 2 มีลิ้นหัวใจอักเสบร้อยละ 7.7
 - จ. Biotype 2 มีอัตราตายร้อยละ 23.1
5. จาก Journal club ที่เกี่ยวกับการศึกษาการให้ prednisolone และ/หรือ pentoxifylline ในผู้ป่วย alcoholic hepatitis เป็นการศึกษาแบบใด
 - ก. randomized, double-blind
 - ข. multicenter, randomized, double-blind
 - ค. multicenter, randomized, double-blind 1x2 factorial
 - ง. multicenter, randomized, double-blind 2x2 factorial
6. ข้อใดไม่ถูกต้องเกี่ยวกับ agranulocytosis จาก antithyroid drug
 - ก. พนอบดีการณ์ร้อยละ 0.1-0.5 จาก PTU
 - ข. เกิด pancytopenia จาก PTU 1:10,000
 - ค. Pancytopenia จาก PTU ส่วนใหญ่เกิดที่ 14 วัน
 - ง. Agranulocytosis จาก PTU ไม่สามารถให้ MMI แทนได้
7. ลักษณะใดบ่งชี้ว่า first-degree AV block น่าจะอยู่ที่ AV node?
 - ก. PR interval อよดูระหว่าง 200-400 มิลลิวินาที
 - ข. PR interval ยาวมากกว่า 300 มิลลิวินาที
 - ค. PR interval ยาวมากกว่า 400 มิลลิวินาที
 - ง. PR interval ยาวมากกว่า 300 มิลลิวินาที ร่วมกับ QRS กว้างน้อยกว่า 120 มิลลิวินาที
 - จ. PR interval ยาวมากกว่า 400 มิลลิวินาที ร่วมกับ QRS กว้างน้อยกว่า 120 มิลลิวินาที
8. ลักษณะใดบ่งชี้ว่าเป็น sinus arrest
 - ก. ระยะเวลาที่มี sinus pause เป็น 2 เท่าของ PP interval ปกติ
 - ข. ระยะเวลาที่มี sinus pause เป็น 3 เท่าของ PP interval ปกติ
 - ค. ระยะเวลาที่มี sinus pause ไม่เป็นสัดส่วนของจำนวนเท่าของ PP interval ปกติ
 - ง. ระยะเวลาที่มี sinus pause นานกว่า 2-3 วินาที
 - จ. ระยะเวลาที่มี sinus pause นานกว่า 2-3 นาที

9. ข้อใดถูกต้องเกี่ยวกับ Warburg effect
- เป็นภาวะ lactic acidosis จาก anaerobic glycolysis จากยา
 - เป็นภาวะ lactic acidosis จาก anaerobic glycolysis จาก tumor cells
 - เป็นภาวะ lactic acidosis จาก anaerobic glycolysis จาก low tissue perfusion
 - เป็นภาวะ acidosis จาก endogenous acid ที่สร้างโดย tumor cells
 - เป็นภาวะ acidosis จาก exogenous acid
10. ข้อใดไม่ถูกต้องเกี่ยวกับ Cushing syndrome (CS)
- อาจพบ gynecomastia ร่วมด้วยได้
 - ถ้าพิสูจน์ได้ว่า gynecomastia เกิดจาก estrogen สูงจาก adrenal CS จะบ่งชี้ที่เนื้องอกต่อมหมวกไตเป็นชนิด benign
 - Estrogen สูงจาก adrenal CS เนื่องจากเนื้องอกมีเอนไซม์ aromatase
 - Adrenocortical carcinoma (ACC) พบอุบัติการณ์ 1 ต่อประชากร 1 ล้านราย
 - ACC พบมากใน 2 ช่วงอายุ

ตอบคำถามวารสารวุฒิพยาบาลศาสตร์ ปีที่ 28 ฉบับที่ 1 ม.ค.-มี.ค. 2558 (CME credit 3 เครดิต)

คำตอบ	1.	ก.	ข.	ค.	ง.	จ.
2.	ก.	ข.	ค.	ง.	จ.	
3.	ก.	ข.	ค.	ง.	จ.	
4.	ก.	ข.	ค.	ง.	จ.	
5.	ก.	ข.	ค.	ง.	จ.	(เขียนเครื่องหมาย X ในคำตอบที่ถูกต้อง)
6.	ก.	ข.	ค.	ง.	จ.	
7.	ก.	ข.	ค.	ง.	จ.	
8.	ก.	ข.	ค.	ง.	จ.	
9.	ก.	ข.	ค.	ง.	จ.	
10.	ก.	ข.	ค.	ง.	จ.	

ชื่อผู้ขอ CME credit.....

ใบประกอบวิชาชีพเวชกรรมเลขที่.....

ที่อยู่.....

.....

ใบสั่งชื่อตำราโภคภารต์สำหรับพิมพ์

Clinical Practice Guideline 2011

พิมพ์ครั้งที่ 1 ตุลาคม 2554

ราคา 300 บาท จำนวน.....เล่ม ราคา.....บาท

ตำราอายุรศาสตร์สำหรับพิมพ์

พิมพ์ครั้งที่ 1 มีนาคม 2552

ราคา 350 บาท จำนวน.....เล่ม ราคา.....บาท

Innovation and Implementation in Medicine

พิมพ์ครั้งที่ 1 ตุลาคม 2550

ราคา 150 บาท จำนวน.....เล่ม ราคา.....บาท

Clinical Practice Guideline 2010 (หมวด)

พิมพ์ครั้งที่ 1 กุมภาพันธ์ 2553

ราคา 300 บาท จำนวน.....เล่ม ราคา.....บาท

การสังกัดภาระดูแลและตรวจร่างกาย (หมวด)

พิมพ์ครั้งที่ 12 ธันวาคม 2551

ราคา 350 บาท จำนวน.....เล่ม ราคา.....บาท

Manual of Medical Investigations

พิมพ์ครั้งที่ 1 มิถุนายน 2555

ราคา 300 บาท จำนวน.....เล่ม ราคา.....บาท

Update in Problem-Based Medical Practices

พิมพ์ครั้งที่ 1 ตุลาคม 2548

ราคา 300 บาท จำนวน.....เล่ม ราคา.....บาท

Maximizing Medical-Care Efficiency

พิมพ์ครั้งที่ 1 สิงหาคม 2553

ราคา 300 บาท จำนวน.....เล่ม ราคา.....บาท

A Practical Approach in Internal Medicine

พิมพ์ครั้งที่ 1 สิงหาคม 2550

ราคา 300 บาท จำนวน.....เล่ม ราคา.....บาท

Rational Management in Medical Practice

พิมพ์ครั้งที่ 1 มิถุนายน 2549

ราคา 250 บาท จำนวน.....เล่ม ราคา.....บาท

ตำราอายุรศาสตร์ 1 (หมวด)

พิมพ์ครั้งที่ 5 มกราคม 2550

ราคา 300 บาท จำนวน.....เล่ม ราคา.....บาท

ตำราอายุรศาสตร์ 2 (หมวด)

พิมพ์ครั้งที่ 5 มกราคม 2550

ราคา 300 บาท จำนวน.....เล่ม ราคา.....บาท

ตำราอายุรศาสตร์ 3 (หมวด)

พิมพ์ครั้งที่ 5 เมษายน 2550

ราคา 350 บาท จำนวน.....เล่ม ราคา.....บาท

ตำราอายุรศาสตร์ 4 (หมวด)

พิมพ์ครั้งที่ 3 มิถุนายน 2550

ราคา 350 บาท จำนวน.....เล่ม ราคา.....บาท

Manual of Medical Diagnosis

พิมพ์ครั้งที่ 1 มิถุนายน 2552

ราคา 150 บาท จำนวน.....เล่ม ราคา.....บาท

Manual of Medical Therapeutics

พิมพ์ครั้งที่ 1 พฤษภาคม 2553

ราคา 200 บาท จำนวน.....เล่ม ราคา.....บาท

ทั้งหมด จำนวน.....เล่ม ราคา.....บาท

กรุณานำจ่ายเป็นเช็คส่วนตัวในนาม วารสารจุฬาฯ อายุรศาสตร์ (เช็คต่างจังหวัด บวกเพิ่มอีก 10 บาท ต่อ 1 เช็ค)

ส่งมาที่

วารสารจุฬาฯ อายุรศาสตร์

ภาควิชาอายุรศาสตร์ คณะแพทยศาสตร์โรงพยาบาลจุฬาลงกรณ์

1873 ถนนพระราม 4 เขตปทุมวัน กรุงเทพฯ 10330

สถานที่ให้จัดส่ง (โปรดเบียนตัวบรรจงให้ชัดเจน)

ชื่อ

ที่อยู่

.....

.....